

# Pièges et vieillissement pour les marches aléatoires en milieux aléatoires

Phénoménologie et étude de cas

*Élise Davignon*

le 25 mars 2024

---

### The Problem of the Random Walk.

CAN any of your readers refer me to a work wherein I should find a solution of the following problem, or failing the knowledge of any existing solution provide me with an original one? I should be extremely grateful for aid in the matter.

A man starts from a point O and walks  $l$  yards in a straight line; he then turns through any angle whatever and walks another  $l$  yards in a second straight line. He repeats this process  $n$  times. I require the probability that after these  $n$  stretches he is at a distance between  $r$  and  $r + \delta r$  from his starting point, O.

The problem is one of considerable interest, but I have only succeeded in obtaining an integrated solution for two stretches. I think, however, that a solution ought to be found, if only in the form of a series in powers of  $1/n$ , when  $n$  is large.

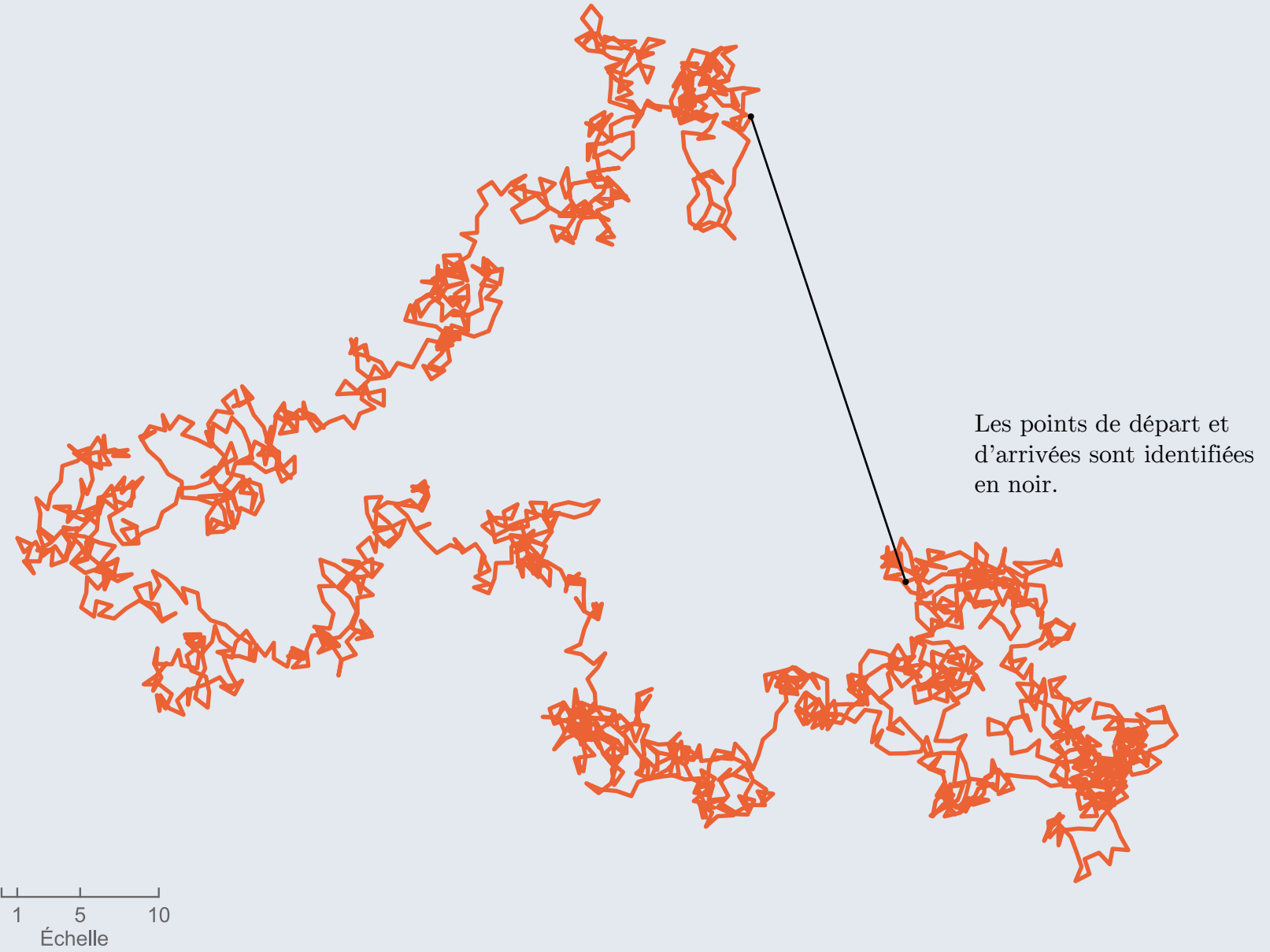
KARL PEARSON.

The Gables, East Ilsley, Berks.

---

Karl PEARSON  
The Problem of the Random Walk,  
*Nature*, 1905

Une réalisation de  
la marche aléatoire  
décrise par Pearson,  
avec  $n = 2\,000$



## Physical ageing

---

In contrast to degradation involving chemical reactions as in corrosion, physical ageing involves changes of material properties that are caused exclusively by molecular rearrangements<sup>8,9,10,11,12,13,14,15,16</sup>. Non-crystalline materials such as ordinary glass<sup>6,9</sup>, polymers<sup>10,13,17</sup> and metallic glasses<sup>14,18,19</sup> are all subject to physical ageing because the glassy state relaxes continuously towards a state of metastable equilibrium<sup>20</sup>. In the vast majority of cases this is too slow to be observed, but in certain cases physical ageing results in undesirable property changes. The study of physical ageing is important for applications of glassy materials, as well as for optimization of their production. For this reason—and because what controls the rate of physical ageing remains disputed—this old research field continues to attract attention<sup>21,22,23,24,25,26,27</sup>.

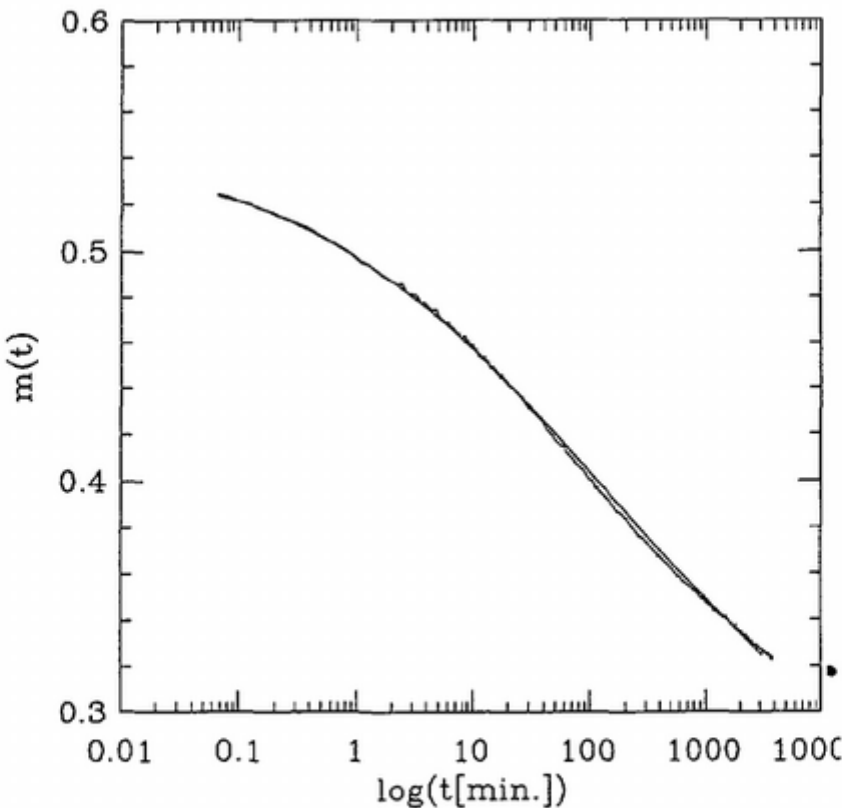


Fig. 2. — Fit of one of the aging experiment on  $\text{CdCr}_{1.7}\text{In}_{0.3}\text{S}_4$  spin glass [6]. The waiting time is 31.3 min under 15 Gauss, and the temperature is  $10 \text{ K} = 0.6 T_g$ . The set of parameters used was  $m_0 = 0.567$  (in units of the field cooled magnetization),  $x = 0.76$  and  $\gamma = 0.0645$ .

M. ALBA, M. OCIO, M. HAMMANN.

(*Europhysics Letters* vol. 2, no. 45 1986);

*Lettres du journal de Physique* vol. 46, L-1101, 1985

via : Jean-Philippe BOUCHAUD : Weak Ergodicity Breaking and aging in disordered systems, *Journal de Physique I*, 1992

# 1. Exemple de MAMA sur $\mathbb{Z}$

On commence avec la marche aléatoire biaisée sur  $\mathbb{Z}$ .



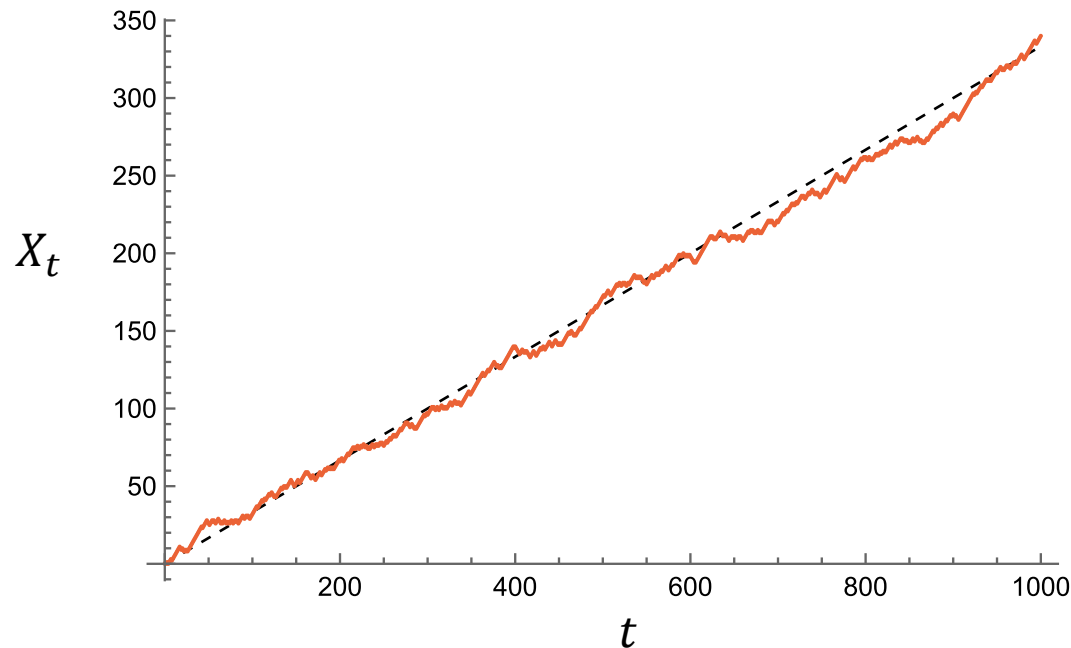
$$p(x, x+1) = p = \frac{2}{3}; \quad p(x, x-1) = q = \frac{1}{3}$$

probabilités de transition

$$\rho = \frac{q}{p} = 1/2$$

ratio de biais à gauche

Résultats classiques



Une réalisation de la marche aléatoire biaisée sur  $\mathbb{Z}$  avec  $\rho = 1/2$ .

$$\lim_{t \rightarrow 0} X_t = \pm\infty \text{ si } \pm(p - q) > 0$$

Transience directionnelle

$$\lim_{t \rightarrow \infty} \frac{X_t}{t} = v = \frac{1 - \rho}{1 + \rho} = \frac{1}{3}$$

Vitesse asymptotique  
positive

$$\frac{X_t - v t}{\sqrt{4 p q t}} \rightarrow \mathcal{N}$$

Fluctuations normales

$$\left( \frac{X_{[Nt]} - v N t}{\sqrt{N}} \right)_{0 \leq t \leq T} \rightarrow (\mathcal{W}_t)_{0 \leq t \leq T}$$

Limite d'échelle brownienne

Pour chaque sommet, on le désigne comme un goulot d'étranglement (\*) avec probabilité  $g = 1/100$ .



Les goulets d'étranglement renvoient le marcheur vers la gauche avec probabilité  $q^* = 100/101$  et le laissent passer avec probabilité  $p^* = 1/101$ .

$$\rho^* = \frac{q^*}{p^*} = 100.$$

*L'environnement de la marche est donc aléatoire.*

**P**

Mesure de probabilités  
*pour l'environnement*

**ω**

Environnement aléatoire

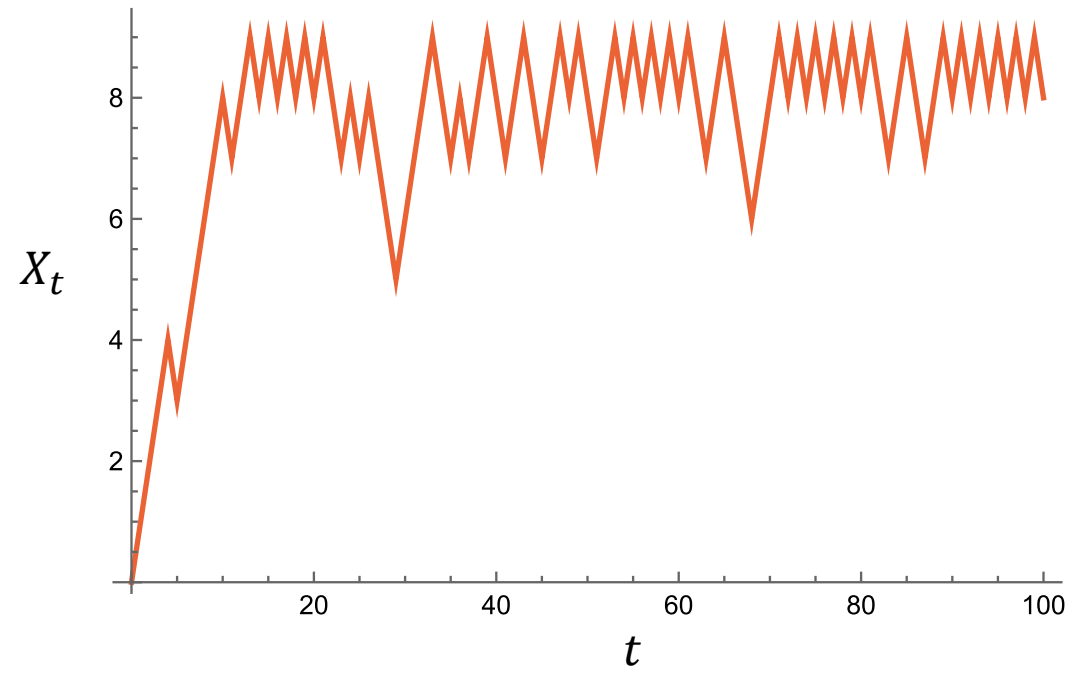


Les probabilités de transition sont des variables  
aléatoires mesurables sous **P**.

$$p_x^\omega = p^\omega(x, x+1); \quad q_x^\omega = 1 - p_x^\omega \quad \rho_x^\omega = \frac{q_x^\omega}{p_x^\omega}$$

$$\mathbf{P}\left\{\rho_x^\omega = \rho = \frac{1}{2}\right\} = \frac{99}{100} = 1 - g \quad \mathbf{P}\{\rho_x^\omega = \rho^* = 100\} = \frac{1}{100} = g$$

La marche aléatoire sur l'environnement  $\omega$  est une chaîne de Markov qui suit les probabilités de transitions données.



$X_t$  Position du marcheur au temps  $t$

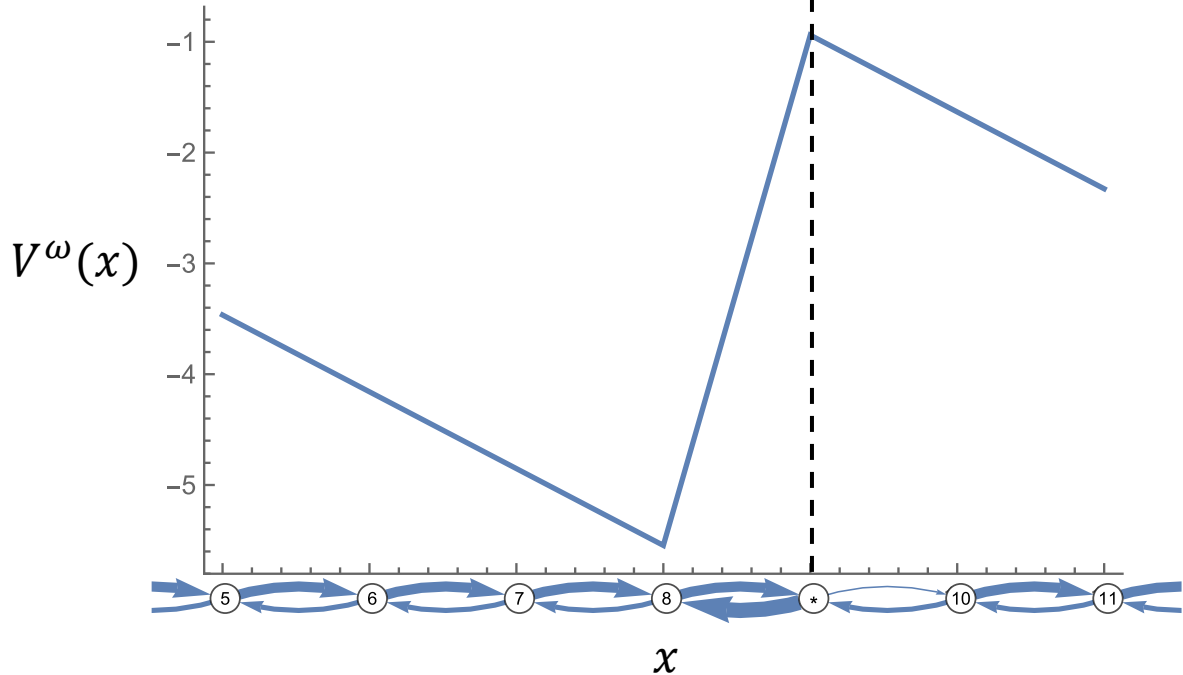
$P^\omega$  Mesure de probabilités *trempée* pour la marche aléatoire

$$P^\omega\{X_{t+1} = y \mid X_t = x\} = p^\omega(x, y)$$

$\mathbb{P}$  Mesure de probabilités *recuite* pour la marche aléatoire

$$\mathbb{P}\{\cdot\} = \mathbf{E}[P^\omega\{\cdot\}]$$

Le potentiel



Si  $\Delta V(x) > 0$ ,  $p_x^\omega < q_x^\omega$



Si  $\Delta V(x) < 0$ ,  $p_x^\omega > q_x^\omega$

$$\begin{aligned}\Delta V(x) &= V^\omega(x) - V^\omega(x-1) \\ &= \log \rho_x^\omega \\ V^\omega(0) &= 0\end{aligned}$$

Le *potentiel* permet de décrire l'environnement.

$$p_x^\omega = \frac{1}{1 + e^{\Delta V(x)}}$$

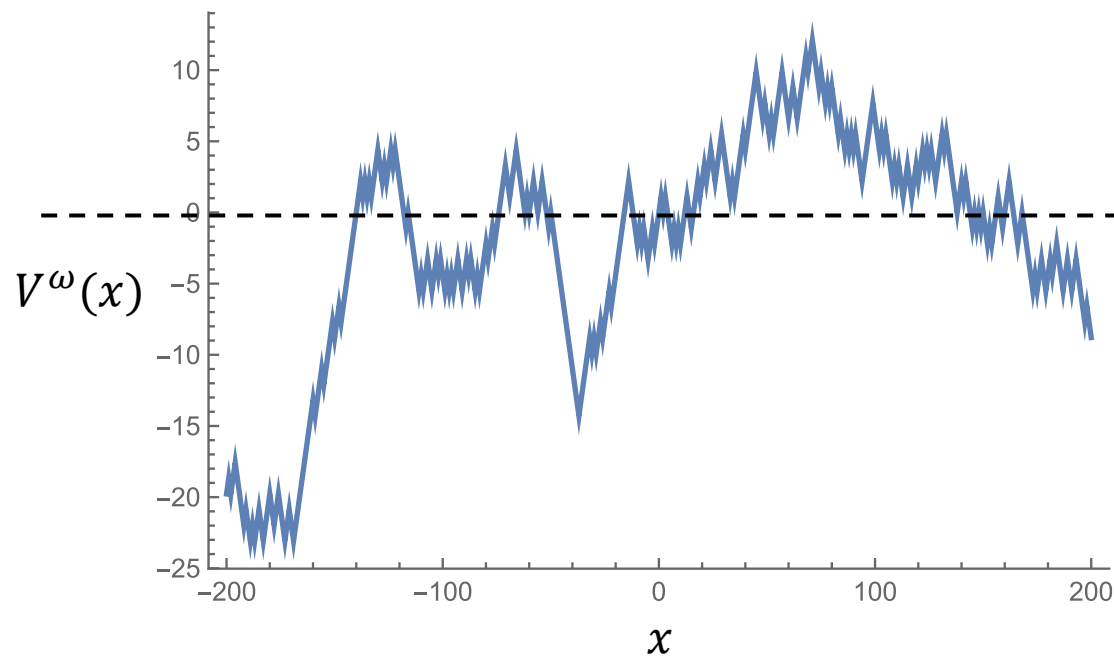
La marche est attirée vers les potentiels faibles

Transience/récurrence

**Thm.** (Solomon, 1975)

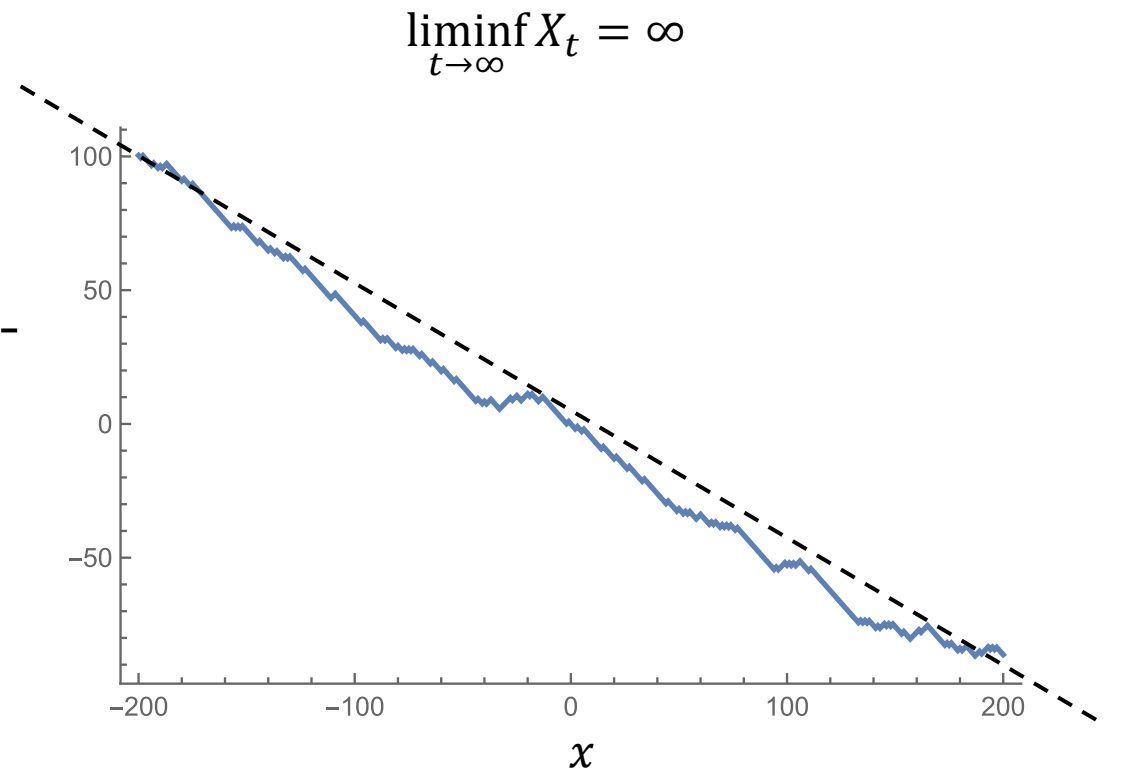
Si  $\mathbf{E}[\log \rho^\omega] = 0$ , le processus est récurrent.

$$\limsup_{t \rightarrow \infty} X_t = -\liminf_{t \rightarrow \infty} X_t = \infty$$



Si  $\mathbf{E}[\log \rho^\omega] < 0$ , le processus est transiente vers la droite

$$\liminf_{t \rightarrow \infty} X_t = \infty$$

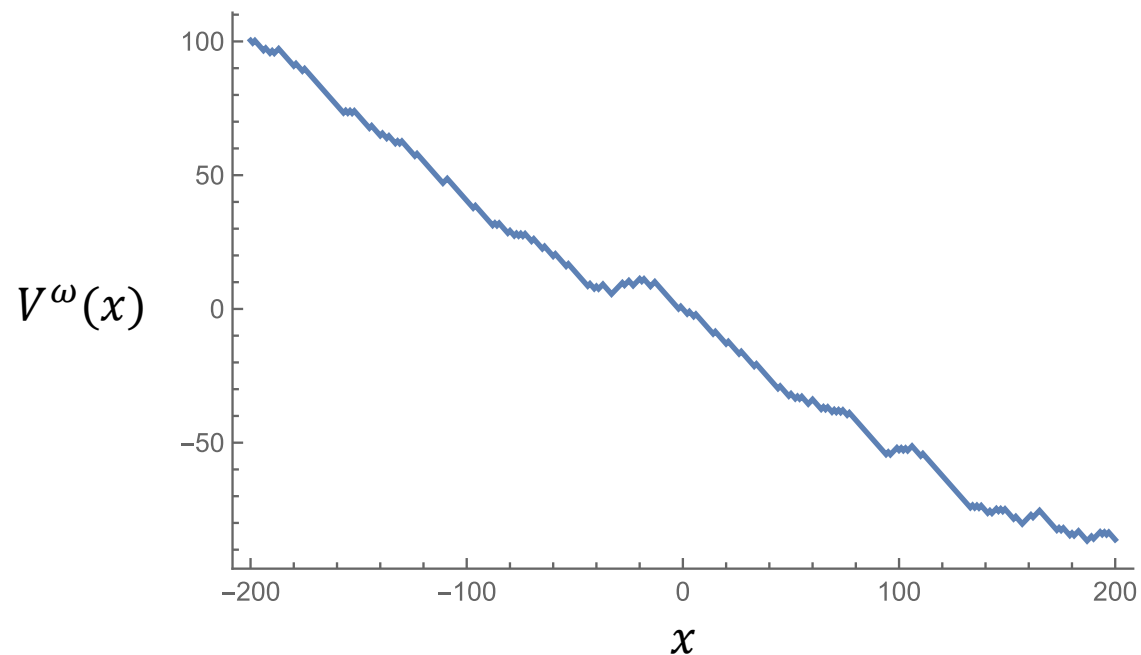


Vitesse asymptotique

**Thm.** (Solomon, 1975). Si  $\mathbf{E}[\log \rho^\omega] < 0$ ,

Si  $\mathbf{E}[\rho^\omega] < 1$ , la vitesse est non-nulle

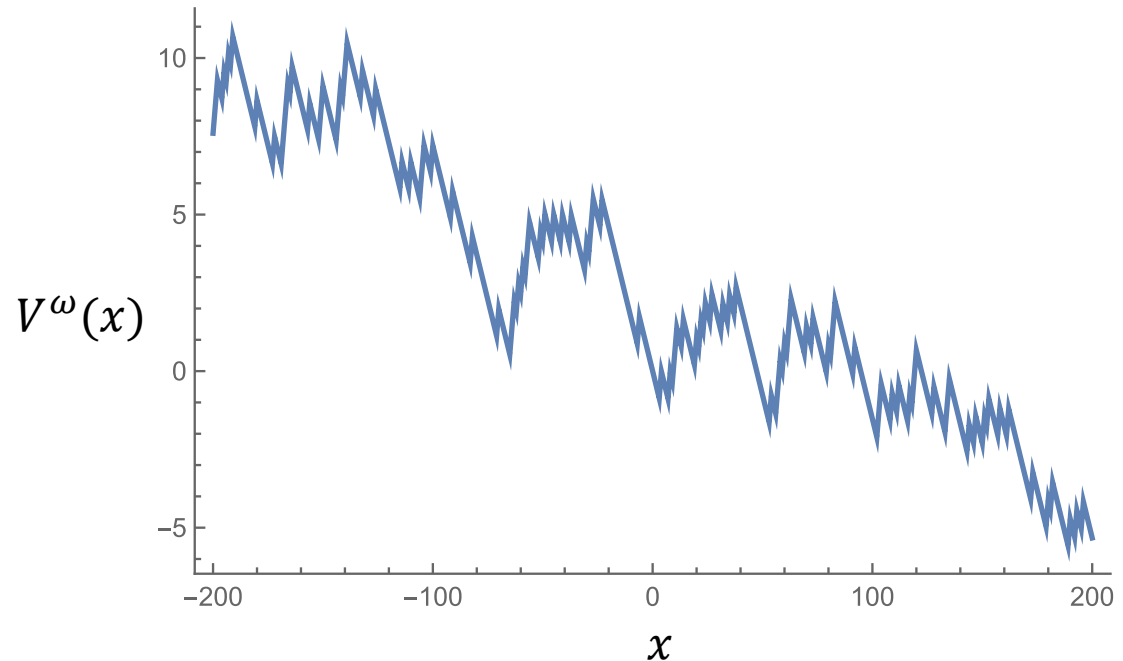
$$\lim_{t \rightarrow \infty} \frac{X_t}{t} = \frac{1 - \mathbf{E}[\rho^\omega]}{1 + \mathbf{E}[\rho^\omega]}$$



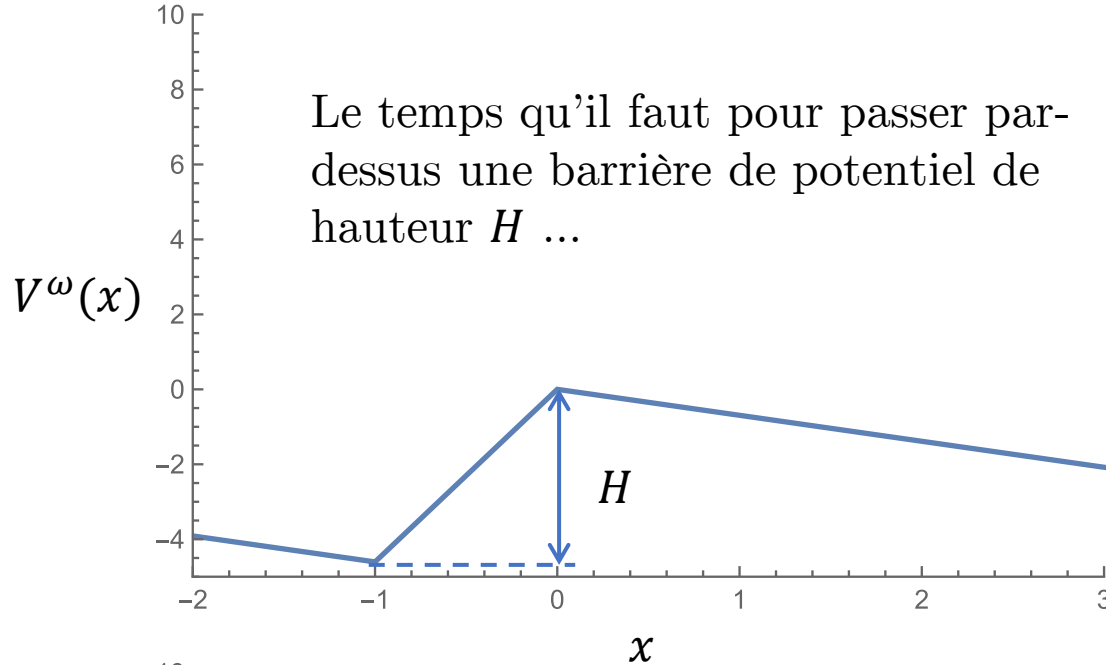
Régime balistique

Si  $\mathbf{E}[\rho^\omega] \geq 1$ , la vitesse est nulle

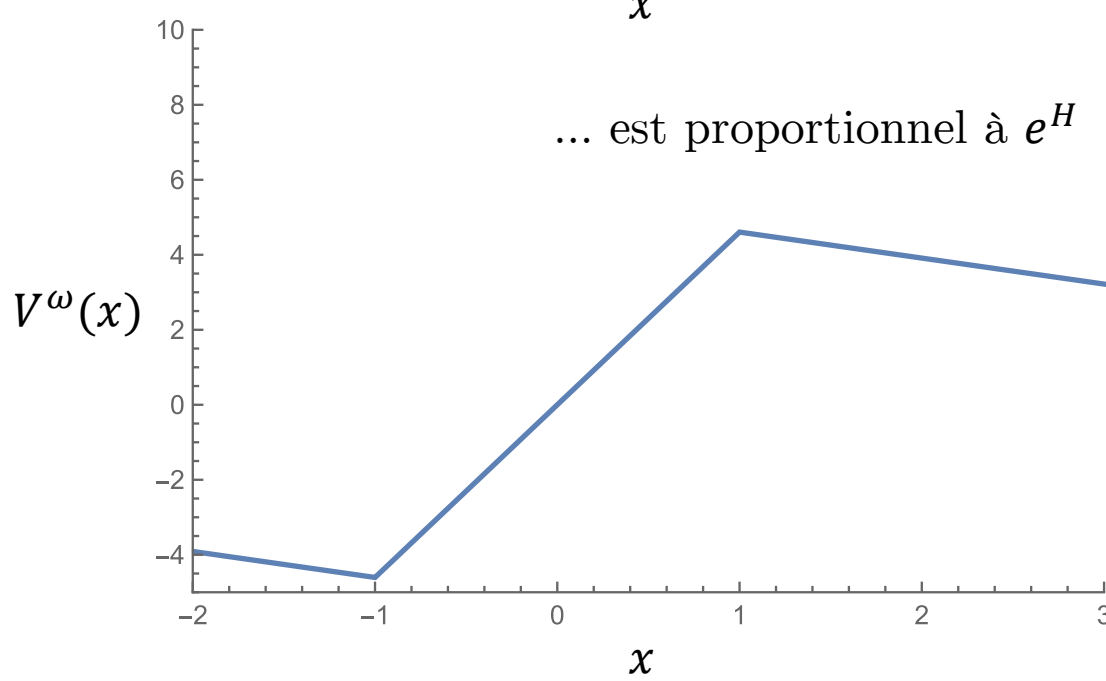
$$\lim_{t \rightarrow \infty} \frac{X_t}{t} = 0$$



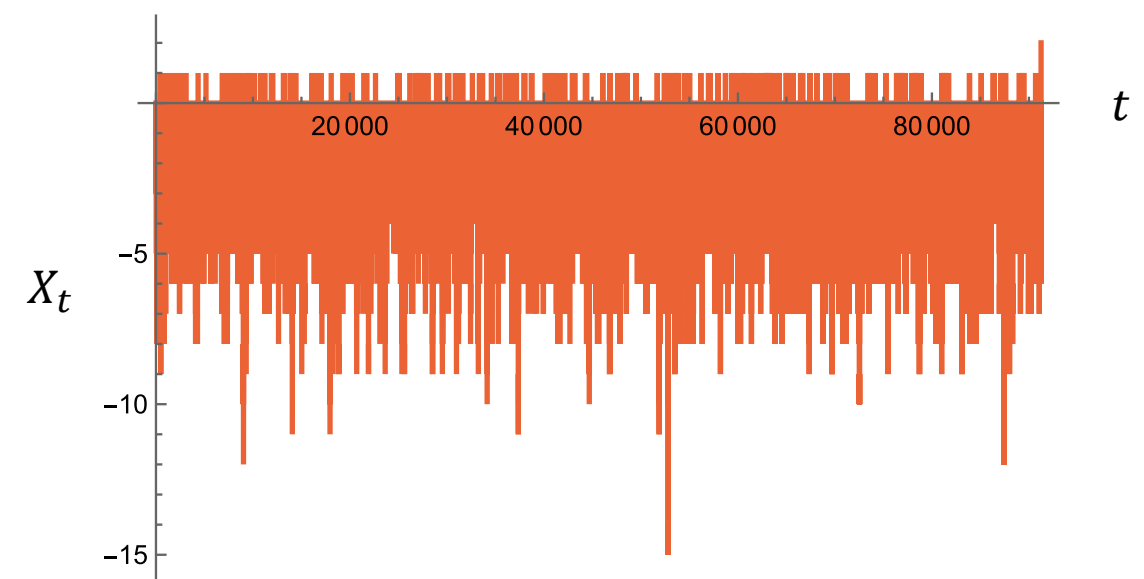
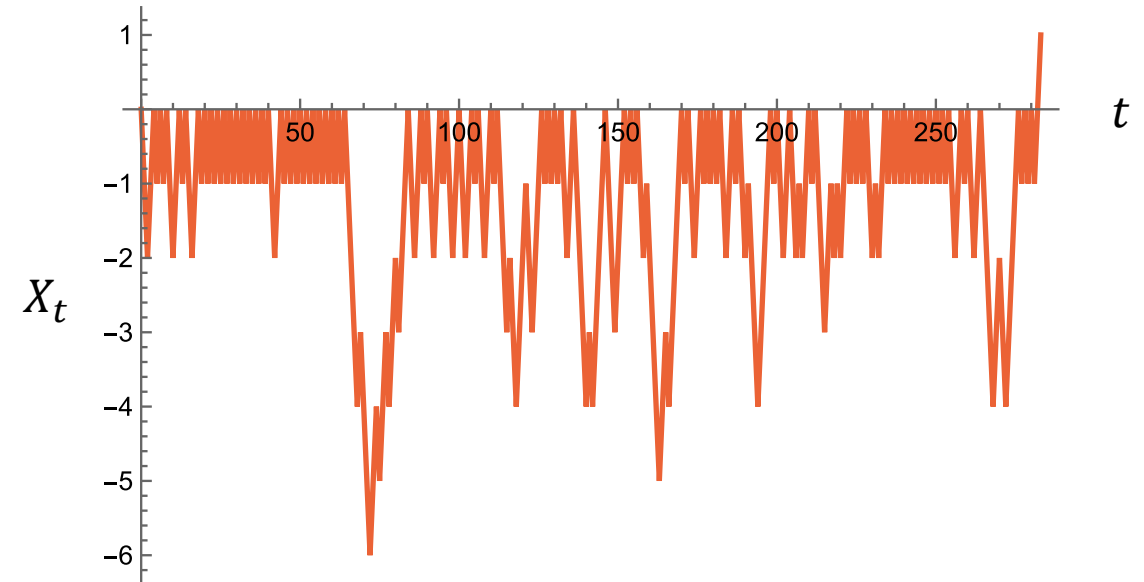
Régime sous-balistique



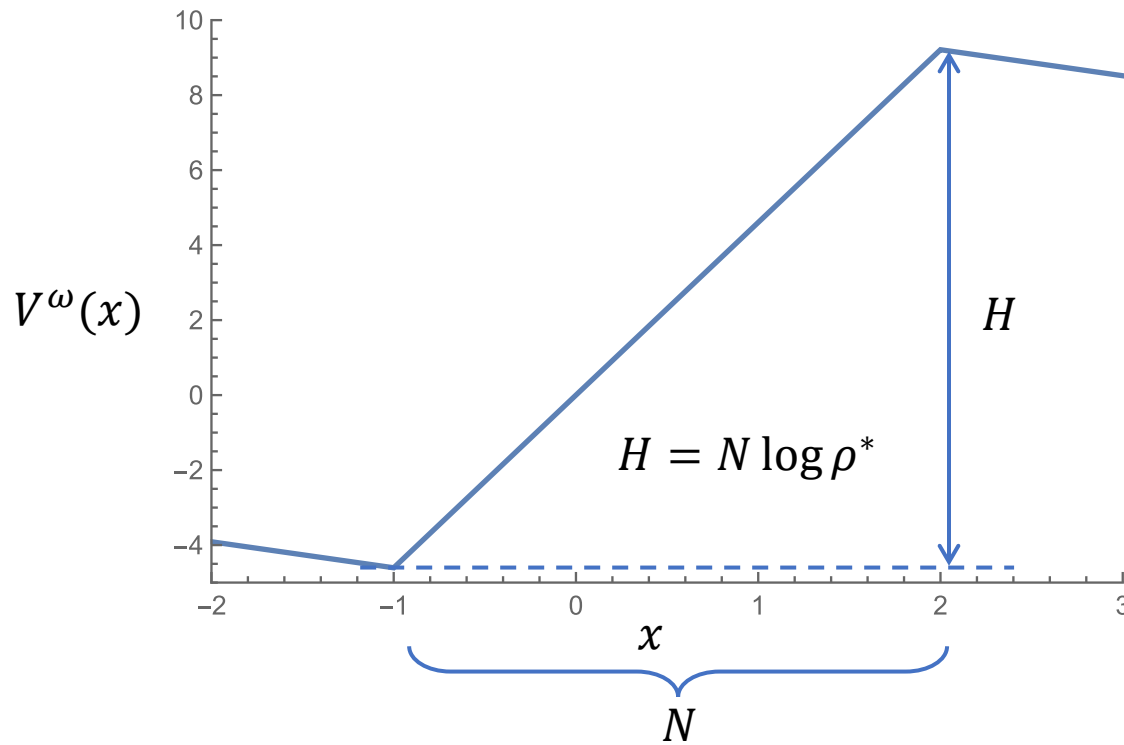
Le temps qu'il faut pour passer par-dessus une barrière de potentiel de hauteur  $H$  ...



... est proportionnel à  $e^H$

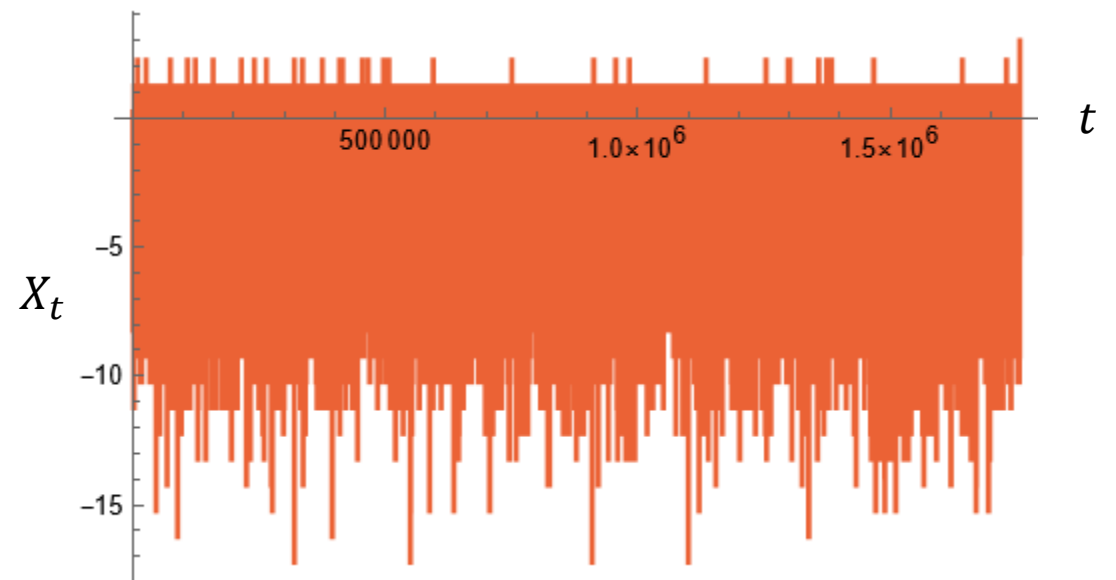


Si il y a  $N$  goulets d'étranglement de suite...



$$e^H = (\rho^*)^N = 100^N$$

$$\mathbf{P}\{e^H > u\} = \mathbf{P}\left\{N > \frac{\log u}{\log \rho^*}\right\} = u^{\frac{\log g}{\log \rho^*}} = u^{-1}$$



$$\text{si } -\frac{\log g}{\log \rho^*} \leq 1, \mathbf{E}[e^H] = \infty$$

... c'est long longtemps!

## Le modèle de Bouchaud

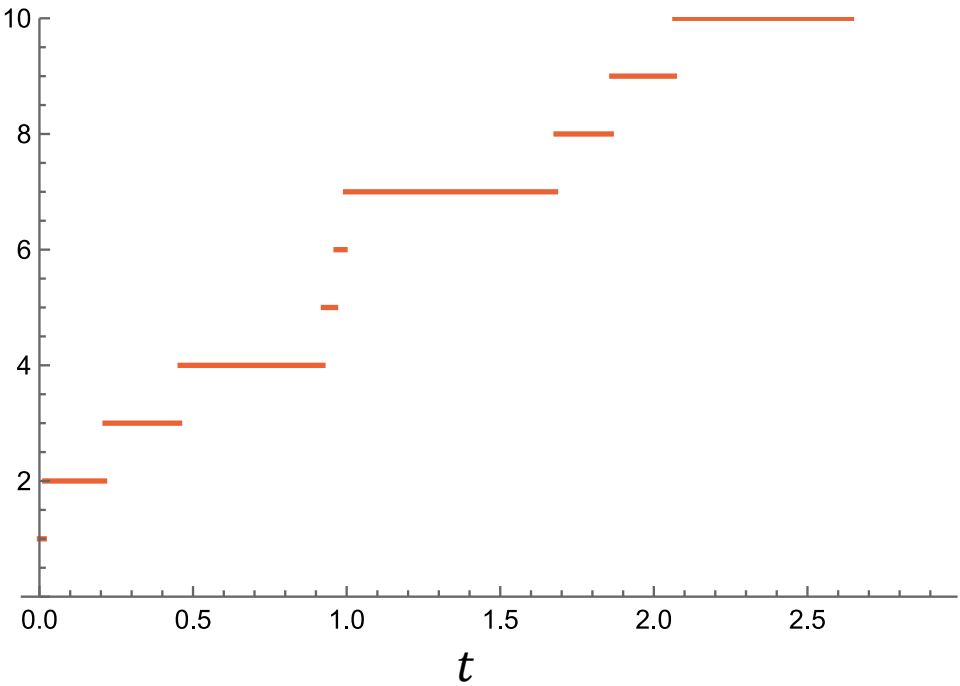
$$U_i$$

Temps passé dans  
l' $i$ ème piège.

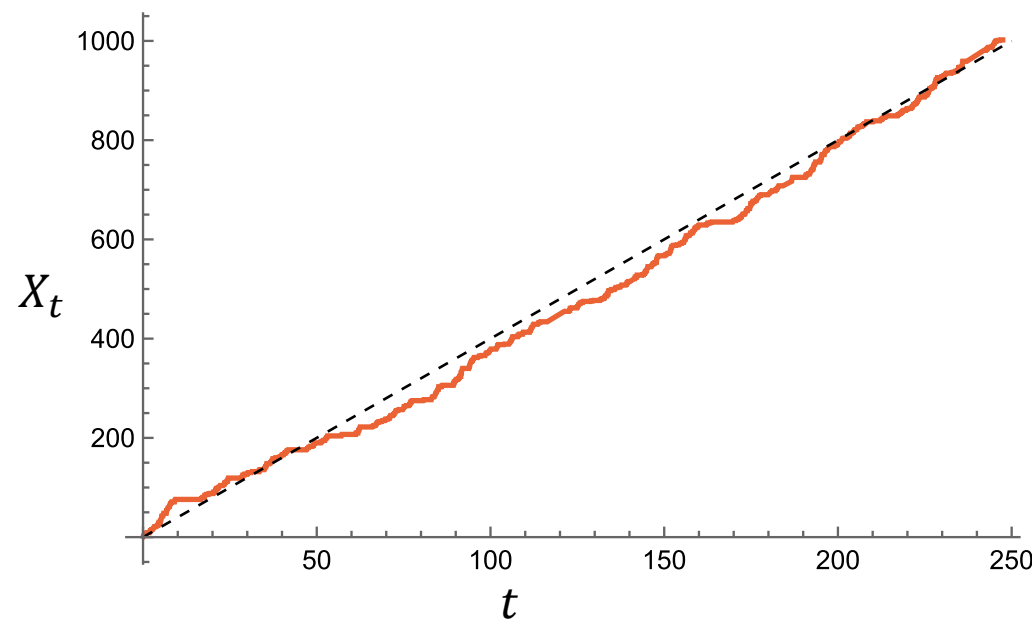
$$T_k = \sum_{i=1}^{k-1} U_i$$

Temps pour atteindre le  
 $k$ ième piège

$X_t$   
Piège au temps  $t$



Résultats classiques



si  $\mu = \mathbb{E}[U_i] < \infty$  et  $\sigma^2 = \text{Var}[U_i] < \infty$

$$\frac{T_k}{k} \rightarrow \mu$$

$$\frac{T_k - k\mu}{\sigma\sqrt{k}} \rightarrow \mathcal{N}$$

$$\frac{X_t}{t} \rightarrow \nu = \frac{1}{\mu}$$

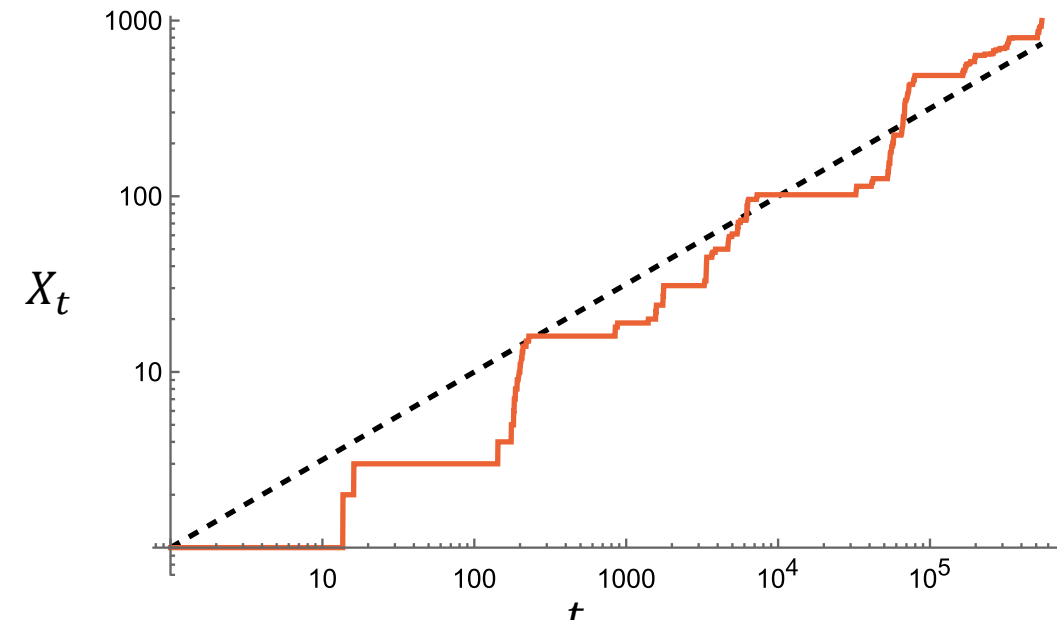
p.s.

$$\frac{X_t - \nu t}{\sigma\nu^{3/2}\sqrt{t}} \rightarrow \mathcal{N}$$

en distribution

$$\mathbb{P}\{U > x\} \sim C x^{-\alpha}$$

$$\alpha \in (0, 1)$$



Exemple pour  $\alpha = 1/2$

$$\mathbb{E}[U] = \infty \quad \mathbb{E}[U^2] = \infty$$

$$\mathcal{S} \sim \mathcal{S}(\alpha, 1, m, c)$$

Distribution  $\alpha$ -stable asymétrique\*

$$\frac{T_k}{k^{1/\alpha}} \rightarrow \mathcal{S}$$

$$\frac{X_t}{t^\alpha} \rightarrow \mathcal{S}^{-\alpha}$$

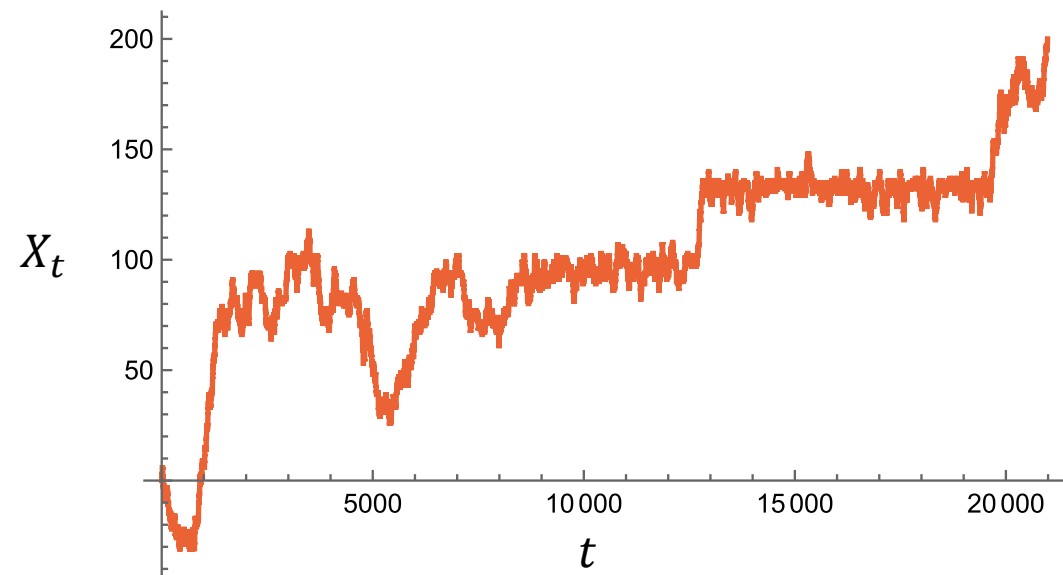
en distribution

$$\mathbb{P}\{X_t = X_{ht}\} \rightarrow \text{ASIN}_\alpha(1/h)$$

$$\text{ASIN}_\alpha(u) = \frac{\sin \pi \alpha}{\pi} \int_0^u x^{\alpha-1} (1-x)^{-\alpha} dx$$

Vieillissement

## Limites



Réalisation de la marche aléatoire sur  
l'environnement aléatoire dans le régime sous-  
balistique.

**Thm.** (Kesten, Koslov, Spitzer, 1975)

- $-\infty \leq \mathbf{E}[\log \rho] < 0$
- $\alpha \in (0,1)$  t.q.  $\mathbf{E}[\rho^\alpha] = 1, \mathbf{E}[\rho^\alpha \log \rho] < \infty$
- $\log \rho$  non arithmétique \*

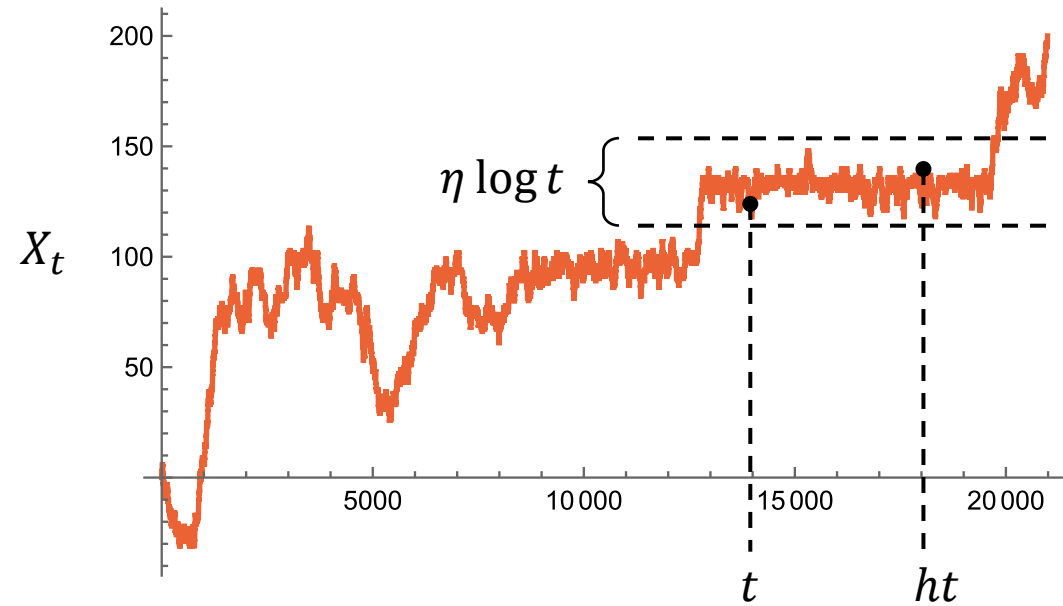
Alors, les limites d'échelle sont  $\alpha$ -stables. \*

$$\frac{X_t}{t^\alpha} \rightarrow \mathcal{S}(\alpha, 1, \dots)^{-\alpha}$$

**Thm.** (Enriquez, Sabot, Zindy, 2009)

Convergence en processus vers des  
subordonneurs  $\alpha$ -stables.

## Vieillissement



**Thm.** (Enriquez, Sabot, Zindy, 2009)  
Avec  $\alpha \in (0, 1)$ , pour tous  $\eta > 0$ ,  $h \geq 1$

$$\mathbb{P}_0\{|X_t - X_{ht}| \leq \eta \log t\} \rightarrow \text{ASIN}_{\alpha}(1/h)$$

$$\text{ASIN}_{\alpha}(u) = \frac{\sin \pi \alpha}{\pi} \int_0^u x^{\alpha-1} (1-x)^{-\alpha} dx$$

## 2. La marche aléatoire biaisée sur les $c_*^\omega$ onductances aléatoires dans $\mathbb{Z}^d$

I. Description du modèle

II. Résultats

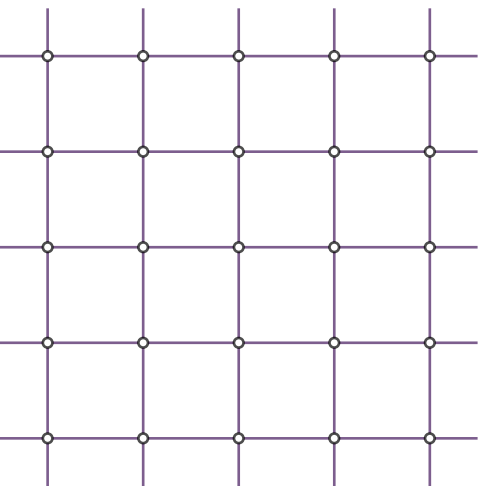
III. Théorème de vieillissement

# I. Description du modèle

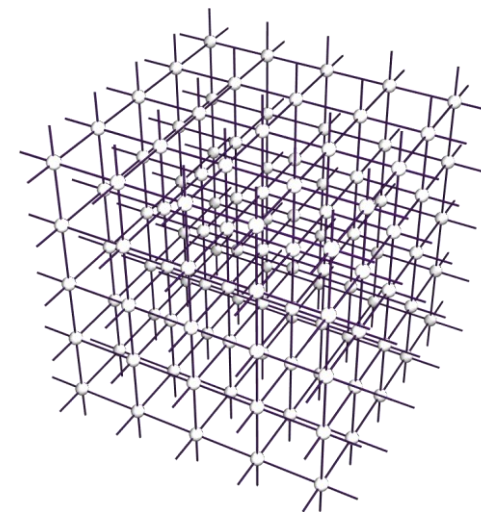
Le graphe :  $\mathbb{Z}^d$



$$\mathbb{Z}^1$$



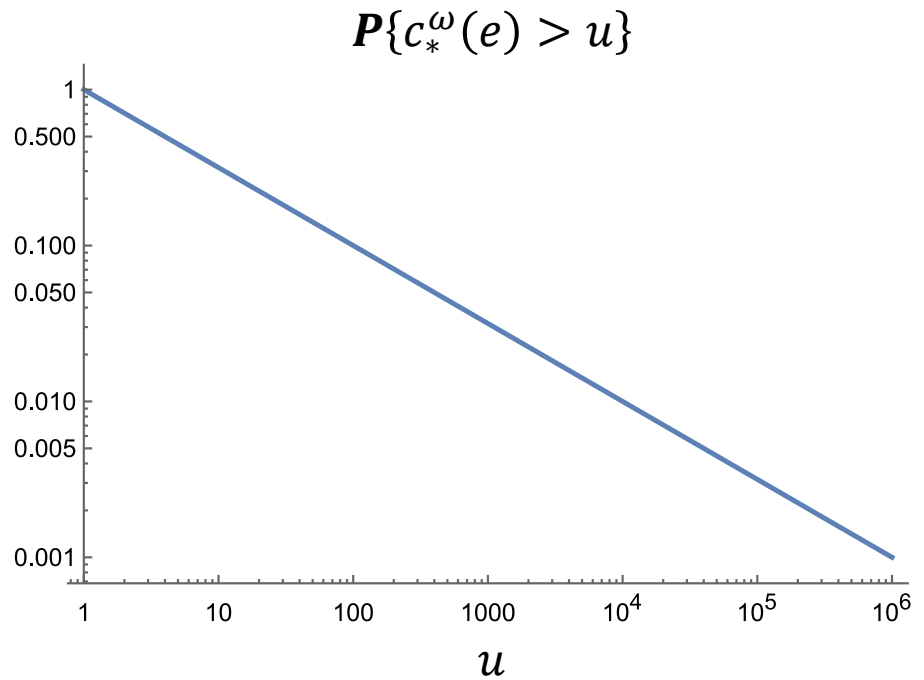
$$\mathbb{Z}^2$$



$$\mathbb{Z}^3$$

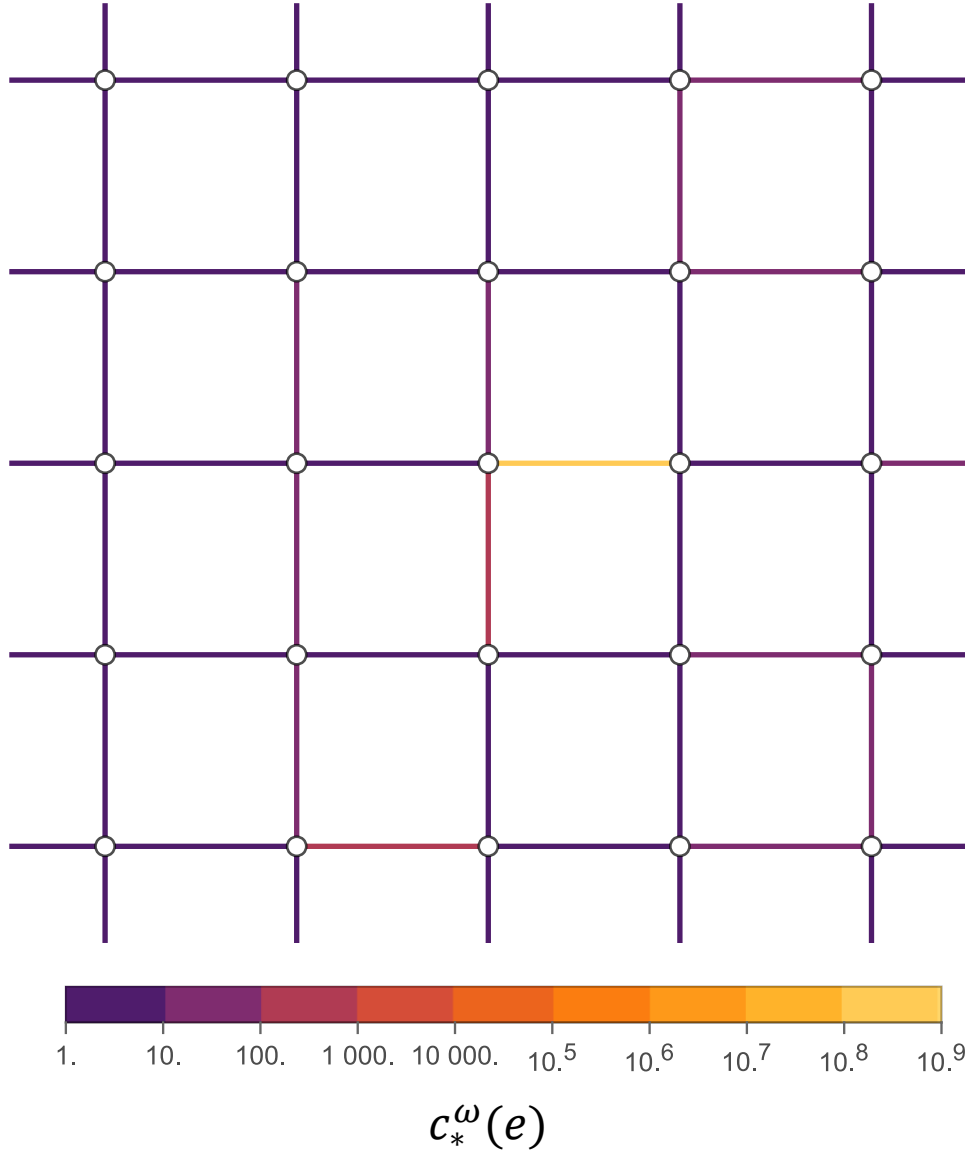
...

Les  $c_*^\omega$ onductances (brutes)

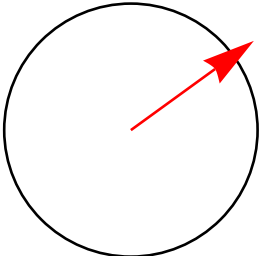


$$P\{c_*^\omega(e) > u\} \sim L(u)u^{-\gamma}$$

$\gamma \in (0, 1)$      $L$  à variation lente



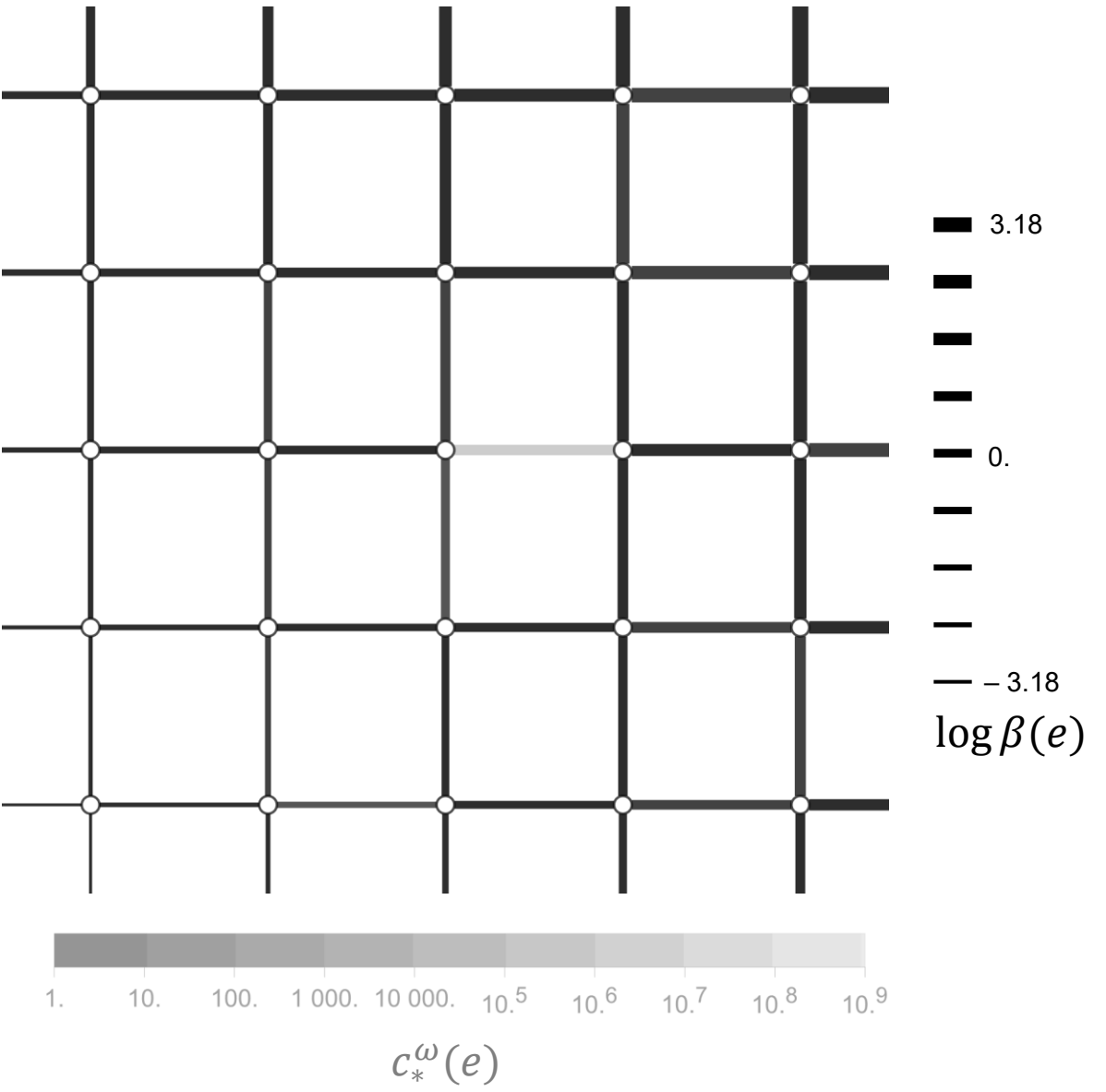
Le  $\beta$  iais



$$\ell = \lambda \hat{\ell}$$
$$\lambda > 0 \quad \hat{\ell} \in \mathbb{S}_{d-1}$$

$$\beta(e) = \exp\left(\ell \cdot \frac{e^+ + e^-}{2}\right)$$

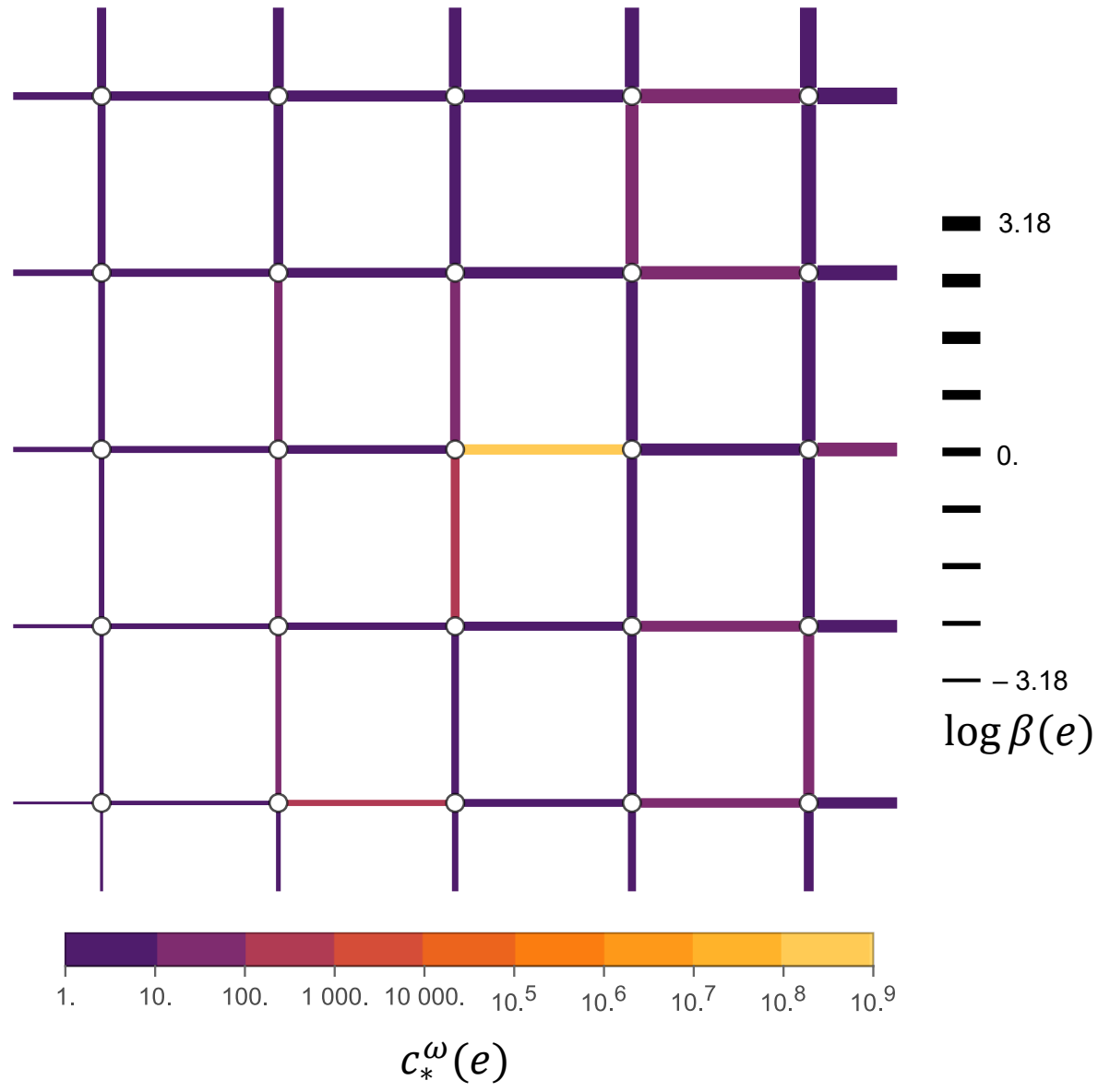
$$= \exp(\ell \cdot e^-) \cdot \exp\left(\frac{1}{2}\ell \cdot (e^+ - e^-)\right)$$



Les  $c^\omega$ onductances nettes

$$c^\omega(e) = \beta(e) c_*^\omega(e)$$

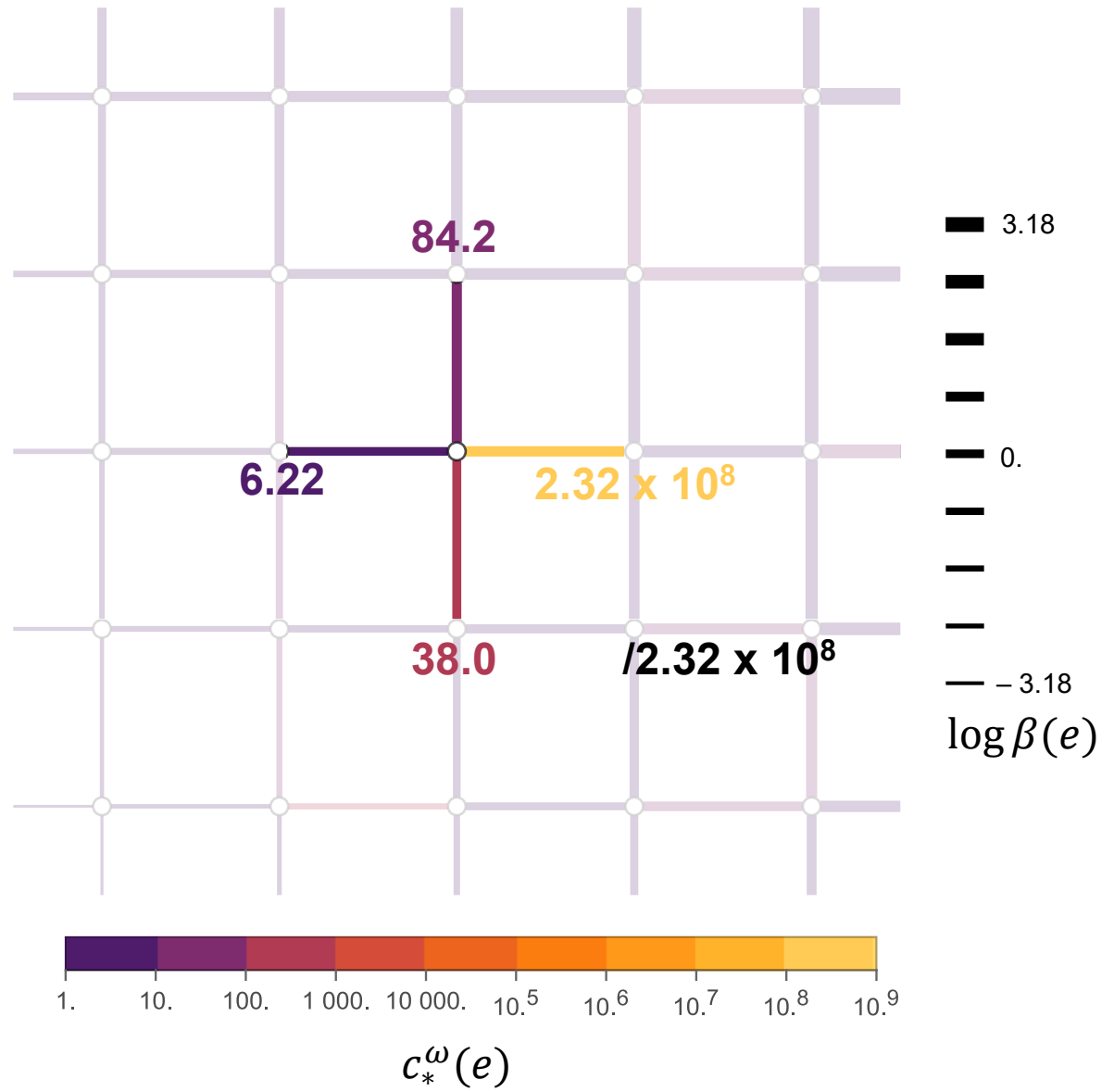
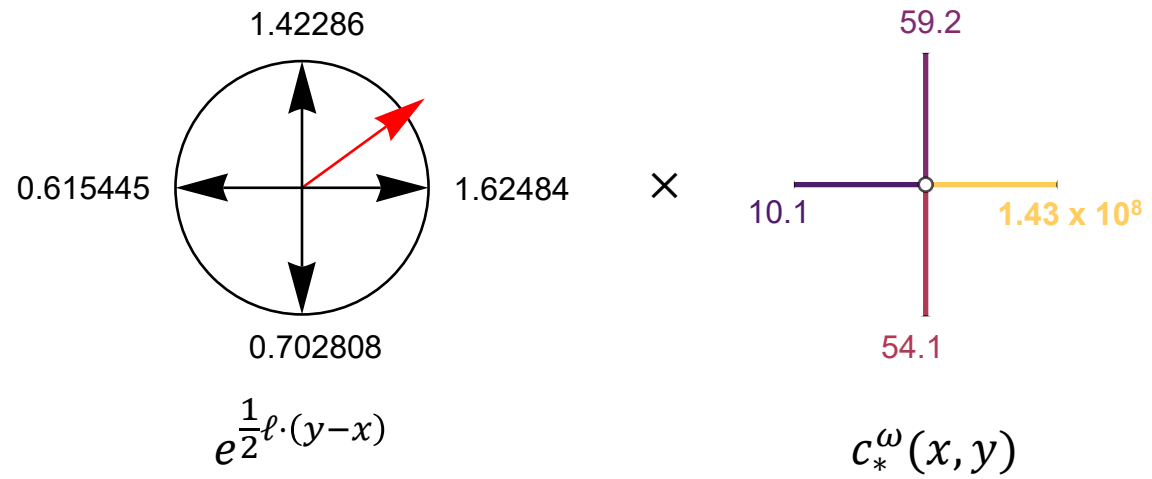
$$\begin{aligned}\pi^\omega(x) &= \sum_{y:x \sim y} c^\omega(x, y) \\ &= e^{\ell \cdot x} \sum_{y:x \sim y} e^{\frac{1}{2}\ell \cdot (y-x)} c_*^\omega(x, y)\end{aligned}$$



Les  $p^\omega$ robabilités de transition trempées

$$p^\omega(x, y) = \frac{c^\omega(x, y)}{\pi^\omega(x)}$$

$$= \frac{e^{\frac{1}{2}\ell \cdot (y-x)} c_*^\omega(x, y)}{\sum_{z:x \sim z} e^{\frac{1}{2}\ell \cdot (z-x)} c_*^\omega(x, z)}$$



## II. Résultats

## Limites

**Thm.** (Shen, 2002; Fribergh, 2013)

- Pour  $d \geq 2$ ,

$$\lim_{t \rightarrow \infty} \frac{X_t}{t} = v, \quad \mathbb{P} - \text{p.s.}$$

$v = 0$  si  $\mathbf{E}[c_*^\omega] = \infty$  et  $v \cdot \hat{\ell} > 0$  sinon.

- Si il existe  $\gamma < 1$  t.q.  $\log \mathbf{P}\{c_*^\omega \geq t\} \sim -\gamma \log t$  pour  $t \rightarrow \infty$ ,

$$\lim_{t \rightarrow \infty} \frac{\log(X_t \cdot \hat{\ell})}{\log t} = \gamma, \quad \mathbb{P} - \text{p.s.}$$

**Thm.** (Fribergh & Kious, 2018)

Pour  $d \geq 2$ , il existe un vecteur unitaire  $\hat{u}$  avec  $\hat{u} \cdot \hat{\ell} > 0$  et une constante  $C > 0$  tels que, pour tout  $T \in \mathbb{R}_+$ ,

$$\left( \frac{X_{[Nt]}}{t^\gamma / L(t)} \right)_{0 \leq t \leq T} \rightarrow (C Z_\gamma(t) \hat{u})_{0 \leq t \leq T}$$

où  $Z_\gamma$  est l'inverse d'un subordinateur stable d'indice  $\gamma$ .

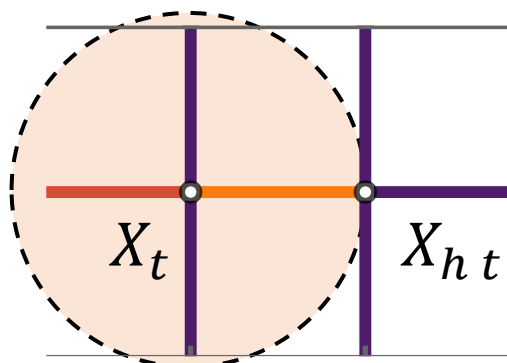
### III. Le théorème de vieillissement.

## Vieillissement

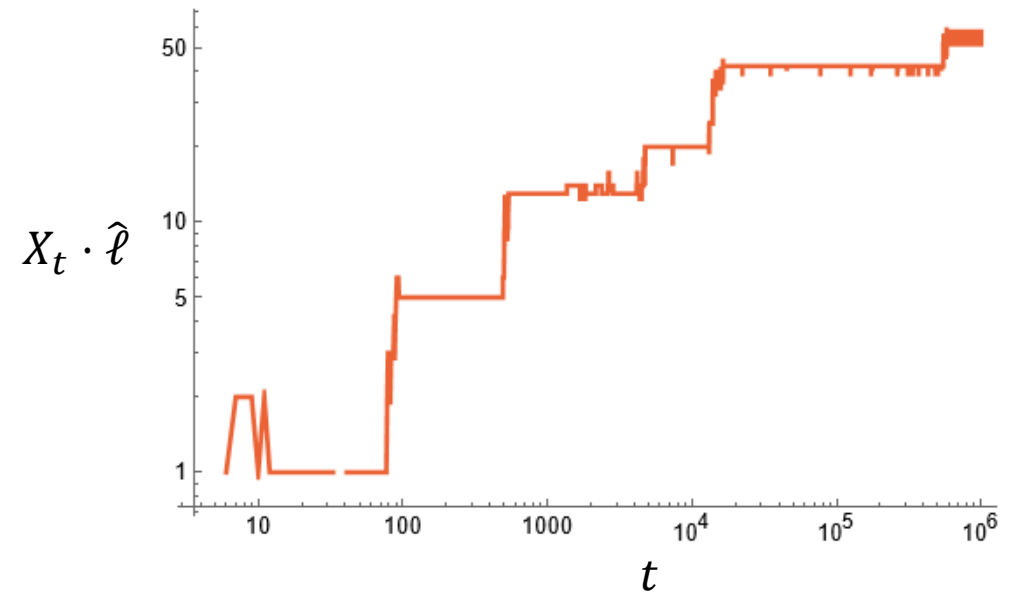
**Thm.** (Davignon, 2023)

Pour  $\gamma \in (0,1)$ ,  $h > 1$ , on a

$$\lim_{t \rightarrow \infty} \mathbb{P}\{\|X_{ht} - X_t\| \leq 1\} = \frac{\sin \pi \gamma}{\pi} \int_0^{1/h} x^{(\gamma-1)}(1-x)^{-\gamma} dx$$



- Conjecture de Fribergh & Kiouss (2018)
- Utilise un parallèle avec le modèle de Bouchaud.
- Utilise les *temps de régénération*.
- Borne constante (!) pour  $\|X_t - X_{[ht]}\|$  dans la proba.

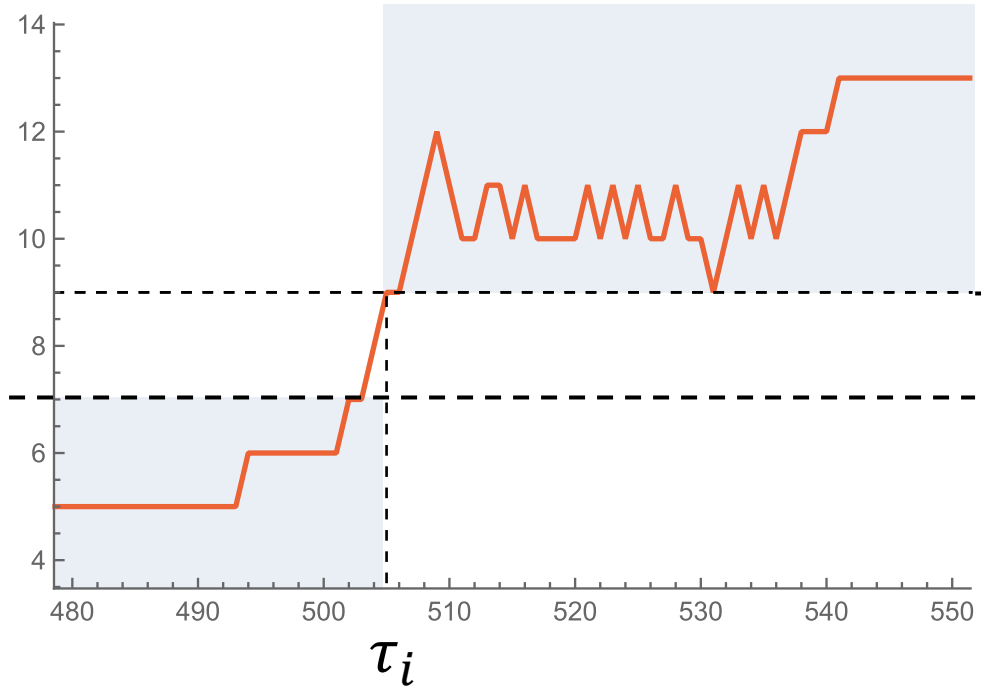


## Les temps de régénération

Suite de temps aléatoires  
croissante  
 $(\tau_i)_{i \geq 1}$

Séparent l'environnement  
en portions indépendantes.

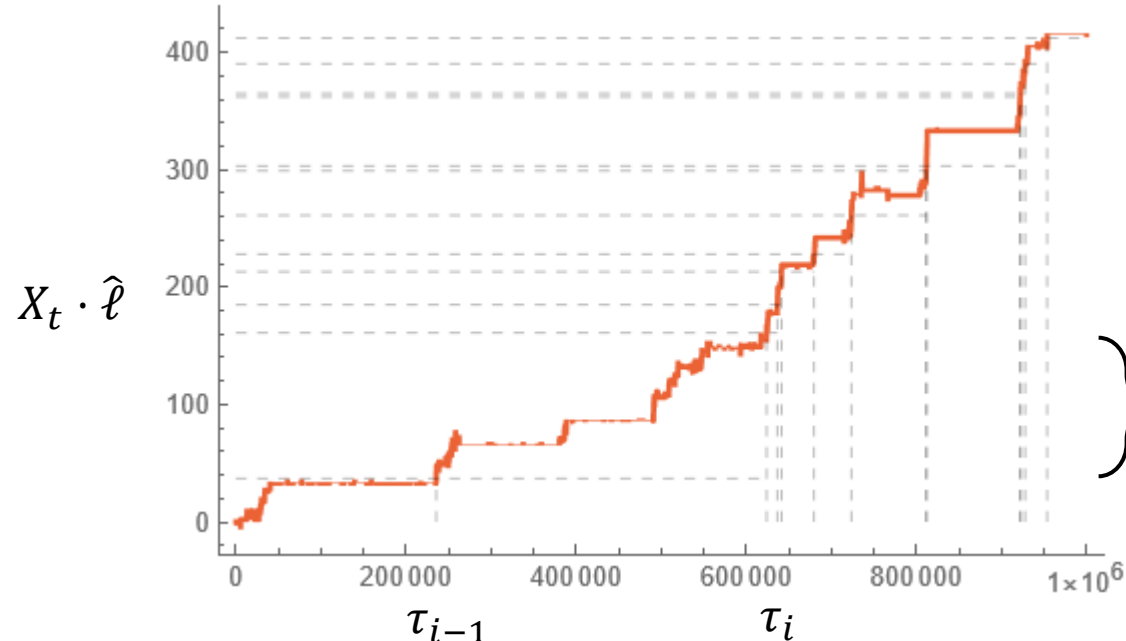
Si  $t < \tau_i$   
 $X_t \cdot \hat{\ell} < X_{\tau_i} \cdot \hat{\ell}$



L'*i*ème temps de régénération

Si  $t > \tau_i$   
 $X_t \cdot \hat{\ell} > X_{\tau_i} \cdot \hat{\ell}$

On termine une période de  
régénération par deux pas  
dans le sens du biais.



$$T_i = \tau_i - \tau_{i-1}$$

Durée de la  $i$ ème régénération

$$\} (X_t)_{\tau_{i-1} \leq t < \tau_i}$$

$i$ ème période de  
régénération

Les  $(X_t)_{\tau_{i-1} \leq t < \tau_i}$  sont i.i.d. sous  $\bar{\mathbb{P}}$

Les segments du processus correspondant  
à chaque période de régénération sont i.i.d.  
à condition que 0 soit un temps de  
régénération.

$\bar{\mathbb{P}}$

Mesure « sachant que 0 est  
un temps de regénération »

On rencontre un « grand piège » à l'ième régénération si :

$$LT^i(t^\alpha) = \left\{ \begin{array}{l} \text{La plus grande arête rencontrée} \\ \text{entre } \tau_{i-1} \text{ (incl.) et } \tau_i \text{ a } c_*^\omega > t^\alpha \end{array} \right\}$$

$0 \ll \alpha < 1$  Ordre de grandeur pour les grands pièges.

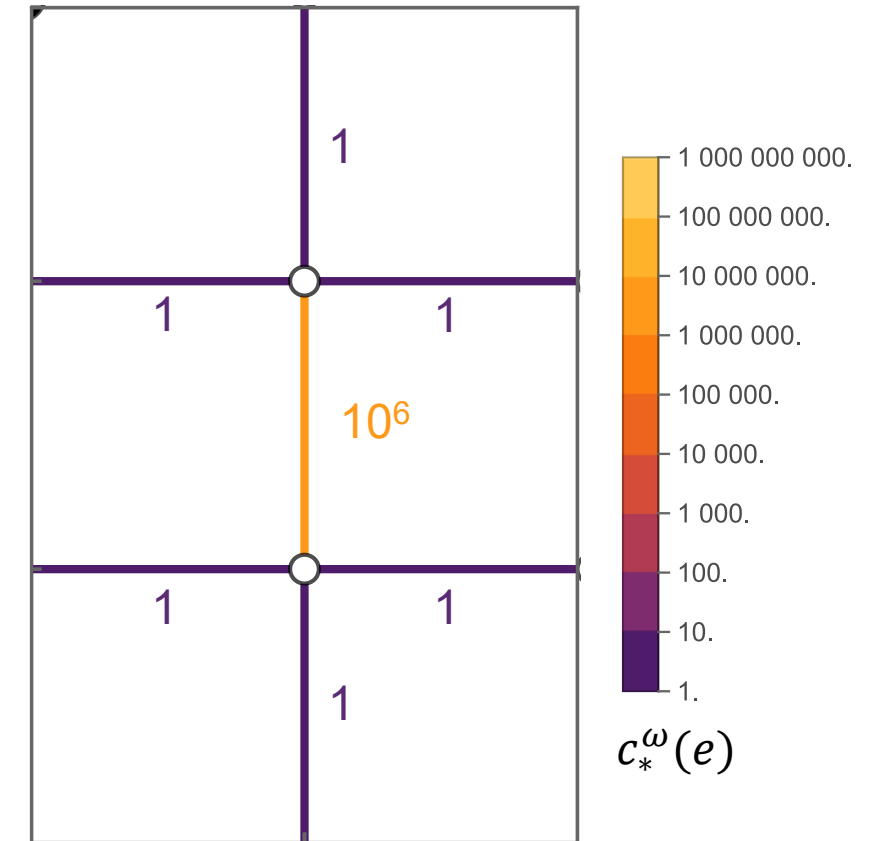
$$\bar{\mathbb{P}}\{LT(t^\alpha)\} \asymp L(t^\alpha)t^{-\gamma\alpha}$$

Ce grand piège est *unique* si :

$$OLT^i(t^\alpha, t^{\alpha\delta}) = LT^i(t^\alpha) \cap \left\{ \begin{array}{l} \text{Toutes les autres} \\ \text{arêtes ont } c_*^\omega \leq t^{\alpha\delta} \end{array} \right\}$$

$0 < \delta < 1$  Ordre de grandeur pour les moyens pièges.

$$\bar{\mathbb{P}}\{OLT(t^\alpha, t^{\alpha\delta}) \mid LT(t^\alpha)\} = 1 - O(t^{-\alpha\eta})$$



**Prop. 1.** La probabilité que les temps  $t$  et  $ht$  surviennent durant la même régénération tend vers une loi de l'arcsinus :

$$\mathbb{P}\{\exists i : \tau_{i-1} \leq t < ht < \tau_i\} \rightarrow ASIN_\gamma(1/h)$$

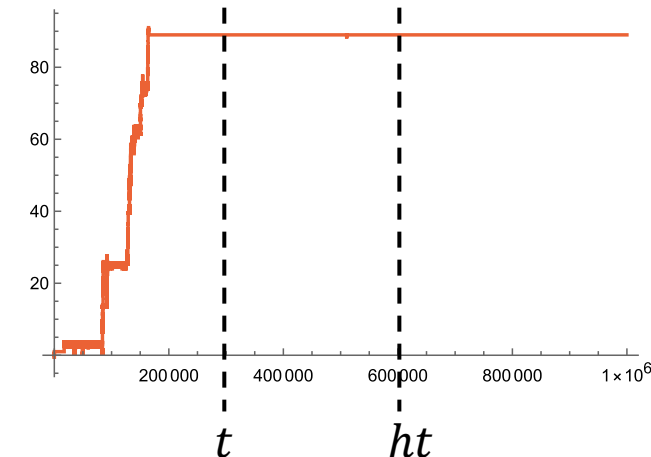
$$\delta_1 = \min\{i \geq 0 : LT^i\}; \quad \delta_{i+1} = \min\{j > \delta_i : LT^j\}$$

Les régénérations qui ont des grands pièges.

$$l(t) = \max \{i : \tau_{\delta_i-1} \leq t\}$$

La dernière des grandes régénérations à commencer avant  $t$

$$\Rightarrow \tau_{\delta_{l(t)}-1} \leq t < ht$$



Il suffira de montrer :

$$\mathbb{P}\{l(ht) = l(t)\} = \mathbb{P}\{ht < \tau_{\delta_{l(t)}}\} \rightarrow ASIN_\gamma(1/h)$$

$$Idée de preuve : \quad \tau_{\delta_i} = \sum_{j=1}^i \mathcal{T}_{\delta_i} + o(t)$$

$\mathcal{T}_{\delta_i}$  i.i.d. suivent une loi de puissance

$\Rightarrow$  Même argument que Bouchaud

Considérations d'échelles.

$$\frac{\tau_n}{\text{Inv}(n)} \rightarrow C \mathcal{S}_\gamma$$

$$n^{\frac{1-r}{r}} \ll \text{Inv}(n) = \inf \left\{ u : \mathbf{P}\{c_*^\omega > u\} < \frac{1}{n} \right\} \ll n^{\frac{1+r}{r}}$$

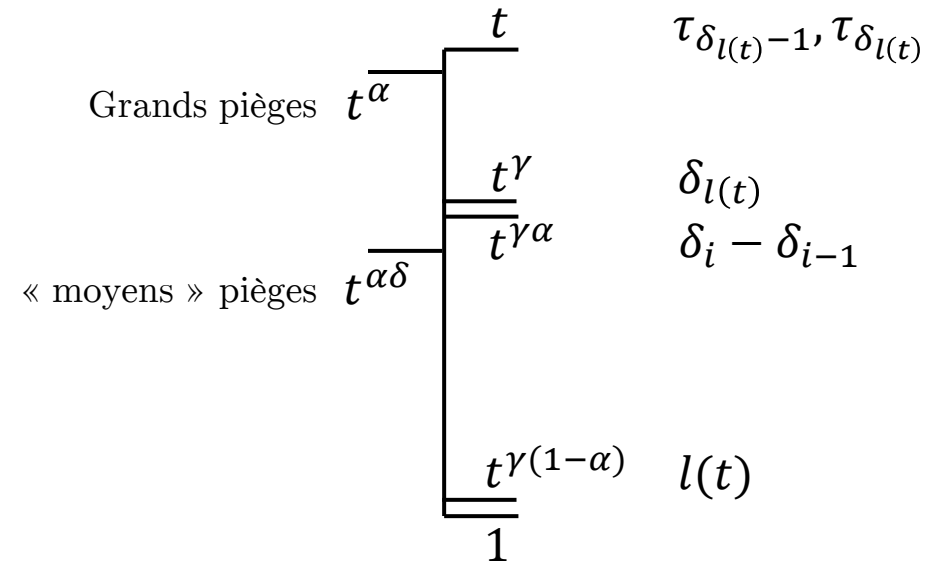
$$\delta_{l(t)} \ll t^{\gamma+\zeta} \quad \delta_{l(t)+1} \gg t^{\gamma-\zeta}$$

Puisqu'on doit avoir  $\tau_{\delta_{l(t)}-1} \leq t$  et  $\tau_{\delta_{l(t)+1}} > t$

$$l(t) \ll t^{\gamma(1-\alpha)+\zeta}$$

Parce que

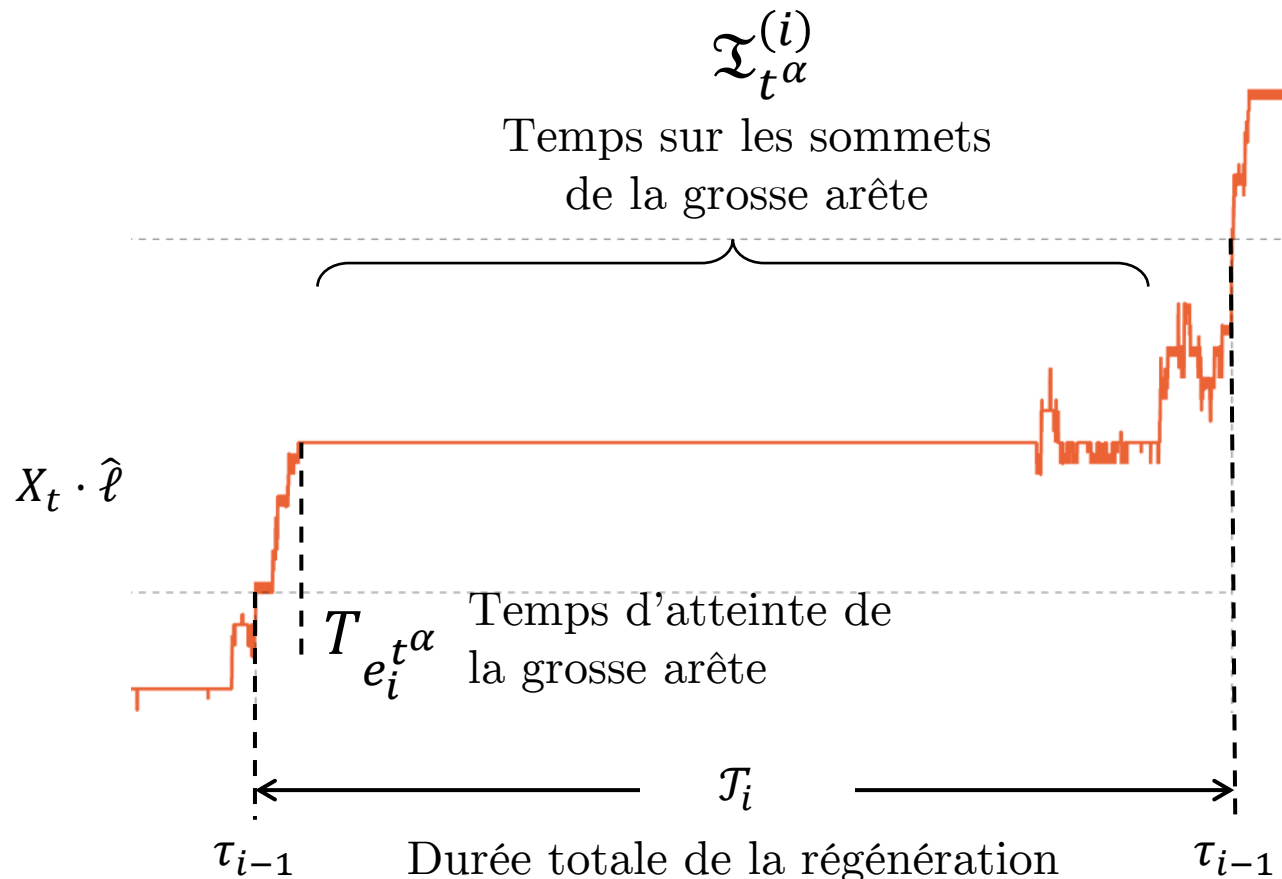
$$\delta_i - \delta_{i-1} \sim \text{Géom} (\mathbf{P}\{c_*^\omega > t^\alpha\} \asymp L(t^\alpha)t^{-\alpha\gamma})$$



Arguments par borne d'union : (e.g.)

$$\mathbb{P}\{A_{\delta_{l(t)}}\} \leq \sum_{i=1}^{t^{\gamma+\zeta}} \mathbb{P}\{A_i\} + o(1)$$

Anatomie d'une régénération  $OLT^i(t^\alpha, t^{\delta\alpha})$



À l'échelle du temps  $t$ , le temps passé sur le grand piège approxime bien la durée de la régénération

$$\frac{|\mathfrak{T}_{t^\alpha}^{(i)} \mathbf{1}\{OLT^i(t^\alpha, t^{\alpha\delta})\} - \tau_i|}{t} \rightarrow 0$$

Avec un certain couplage  $\mathbb{P}^\infty$ , on a (en distribution)

$$\begin{aligned} \mathfrak{T}_{t^\alpha} \mathbf{1}\{OLT(t^\alpha, t^{\alpha\delta})\} \\ \rightarrow c_*^{\max} W_\infty \mathbf{1}\{c_*^{\max} > t^\alpha\} \end{aligned}$$

$c_*^{\max} \perp W_\infty$  et on connaît les queues des deux.  
(Fribergh & Kiouss)

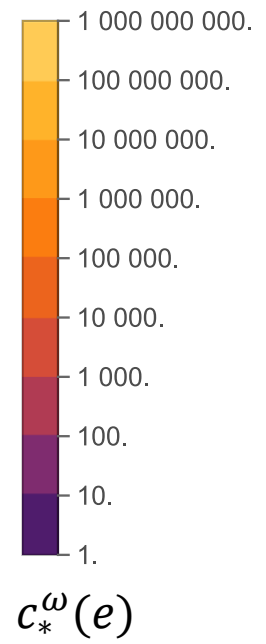
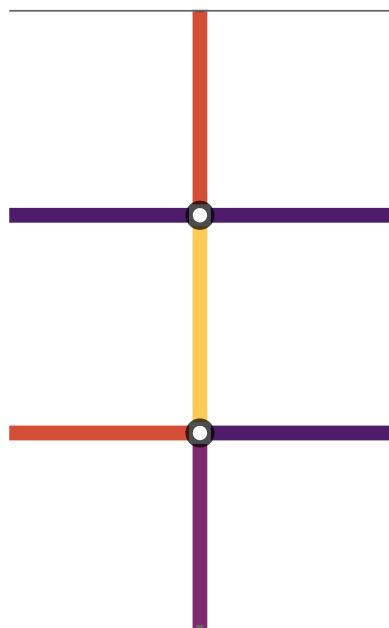
On peut donc estimer la distribution des  $\mathcal{T}_{\delta_i}$

$$\mathbb{P}\left\{\frac{\mathcal{T}_{\delta_i}}{t} > u\right\} \sim \frac{C_1 \mathbb{E}^\infty[W_\infty^\gamma] L(t) t^{-\gamma}}{\mathbb{P}^\infty\{c_*^{\max} > t^\alpha\}} u^{-\gamma}$$

**Prop. 2.** Pour  $\alpha' \in (\alpha, 1)$ ,

- L'événement  $OLT^{\delta_{l(t)}}(t^{\alpha'}, t^{\alpha\delta})$  se produit avec probabilité  $\rightarrow 1$ .
- $X_t$  est sur la  $t^{\alpha'}$ -grosse arête avec proba.  $\rightarrow 1$ .

$$\mathbb{P} \left\{ OLT^{\delta_{l(t)}}(t^{\alpha'}, t^{\alpha\delta}); X_t \in e_{\delta_{l(t)}}^{(t^{\alpha'})} \right\} \rightarrow 1$$



Le paradoxe de l'inspecteur.

$$\mathbb{P}\{OLT^{\delta_{l(t)}}(t^\alpha, t^{\alpha\delta})\} \rightarrow 1$$

$$\bar{\mathbb{P}}\{OLT(t^\alpha, t^{\alpha\delta}) \mid LT(t^\alpha)\} = 1 - O(t^{-\alpha\eta})$$

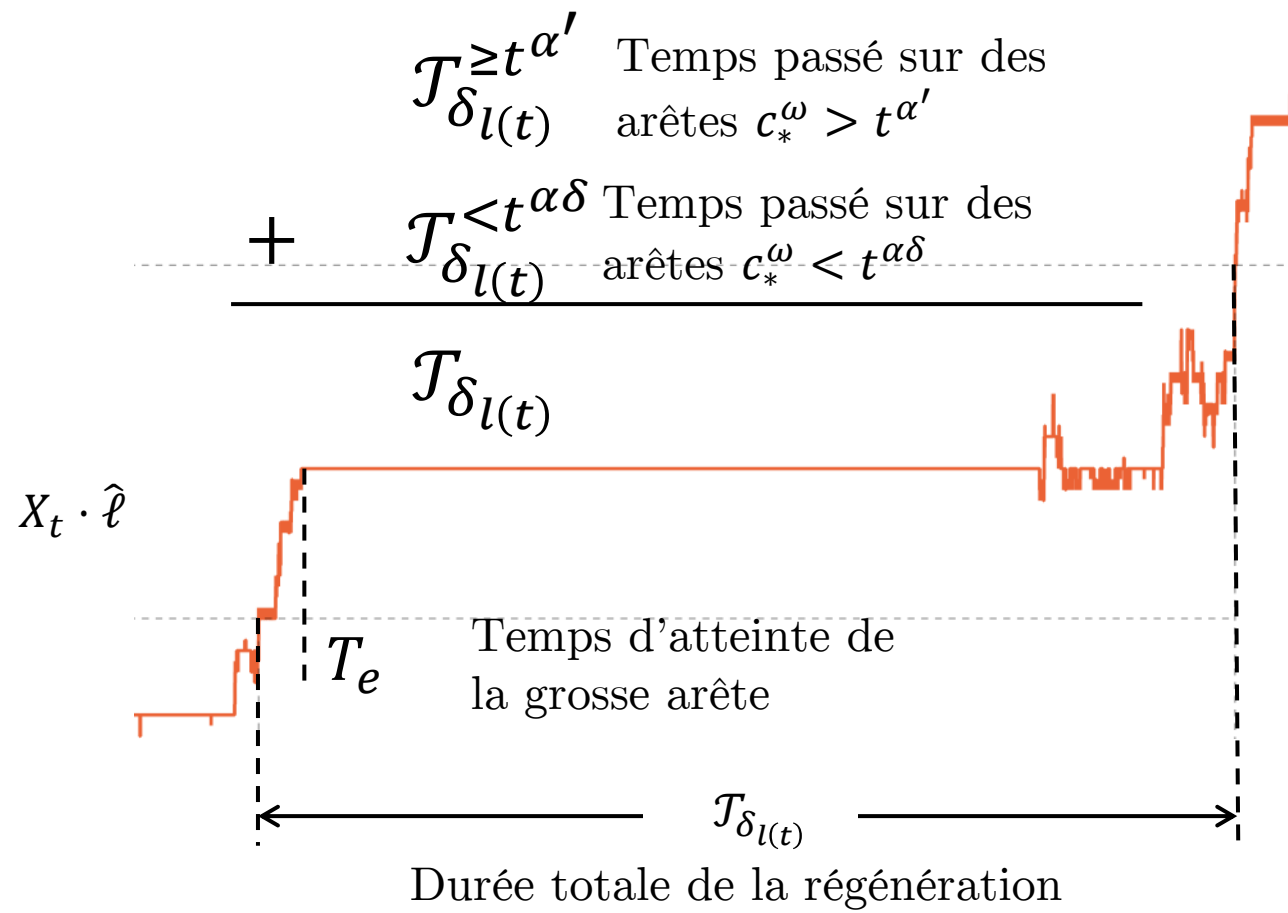
On utilise une borne d'union.

$$\Rightarrow \alpha > \frac{\gamma}{\gamma + \eta}$$

$$\mathbb{P}\{OLT^{\delta_{l(t)}}(t^{\alpha'}, t^{\alpha\delta})\} \rightarrow 1$$
$$\alpha' \in (\alpha, 1)$$

On montre que l'arête est probablement plus grosse car le temps passé dans le piège est  $\sim t$ .

On est arrivés?



**Lem.** Le temps passé hors des grosses arêtes durant la période de régénération  $\delta_{l(t)}$  est négligeable p.r. à  $t$ . Il existe  $\epsilon > 0$  t.q.

$$\mathcal{T}_{\delta_{l(t)}}^{< t^{\alpha\delta}} \ll t^{1-\epsilon} \ll t$$

$$\text{Donc } T_e - \tau_{\delta_{l(t)}-1} \leq \mathcal{T}_{\delta_{l(t)}}^{< t^{\alpha\delta}} \ll t^{1-\epsilon}$$

Si  $t < T_e$  alors

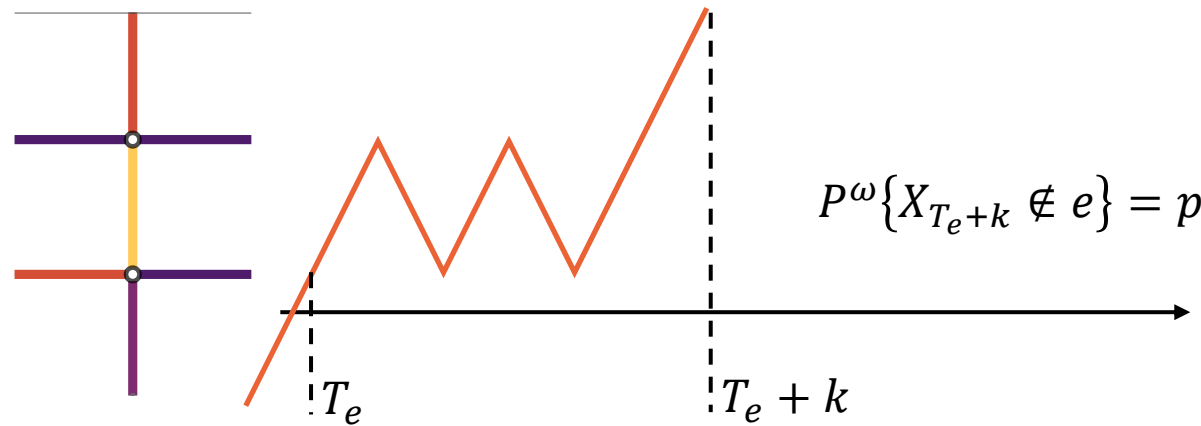
$$t - \tau_{\delta_{l(t)}-1} < T_e - \tau_{\delta_{l(t)}-1}$$

Mais  $t - \tau_{\delta_{l(t)}-1} \asymp t$ .

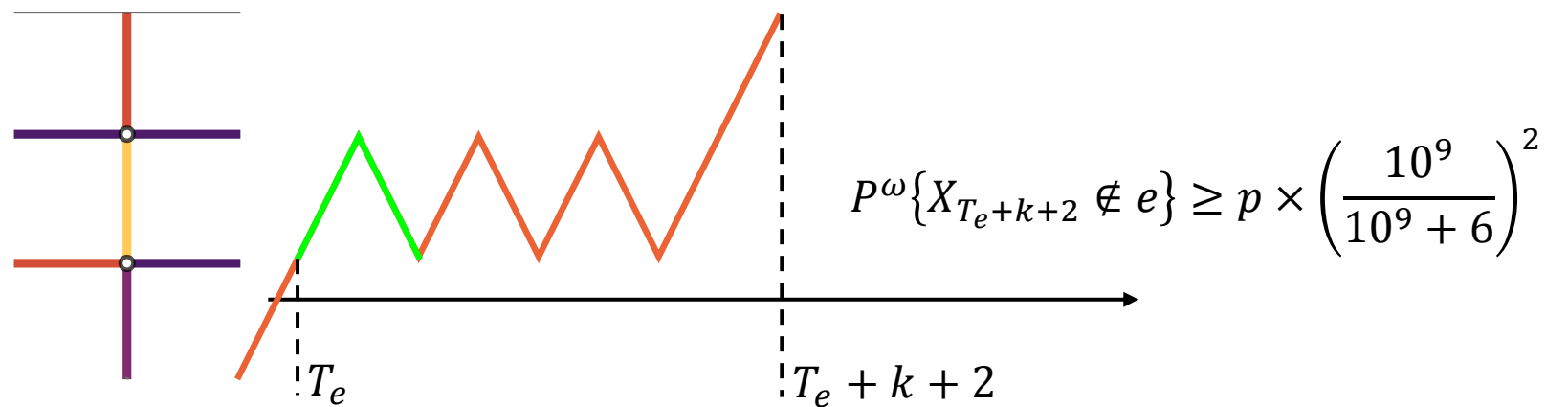
$$\Rightarrow \mathbb{P}\{OLT^{\delta_{l(t)}}(t^{\alpha'}, t^{\delta\alpha}); T_e < t\} \rightarrow 1$$

Une contradiction pour la probabilité de sortir de la grosse arête.

Si on suppose que c'est probable de faire :



Alors c'est aussi assez probable de faire :



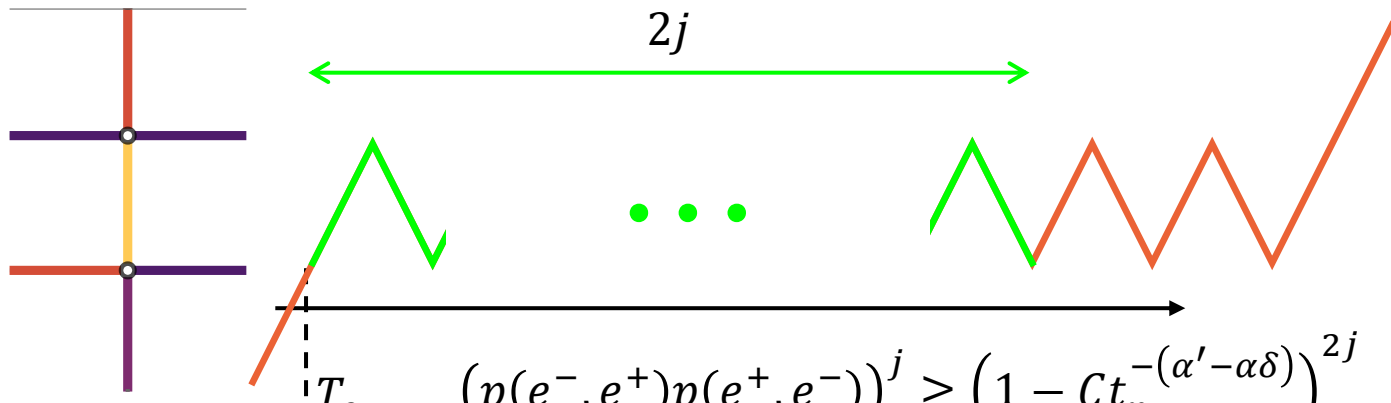
Une contradiction pour la probabilité de sortir de la grosse arête.

On suppose :

$$\mathbb{P}\{X_{T_e+k} \notin e\} \geq \eta t_n^{-\gamma(1-\alpha)-\zeta}$$

⇓

$$\begin{aligned} \mathbb{P}\{X_{T_e+k+2j} \notin e\} &\geq \frac{1}{2} \eta t_n^{-\gamma(1-\alpha)-\zeta} \\ 0 \leq j &\leq t_n^{\alpha'-\alpha\delta} \end{aligned}$$



Donc l'espérance du temps passé en dehors de  $e$  est bornée inférieurement par

$$\mathbb{E}[T^{<t^{\alpha\delta}}] \geq \frac{1}{3} \eta t_n^{\alpha' - \alpha\delta - \gamma(1-\alpha) - \zeta}$$

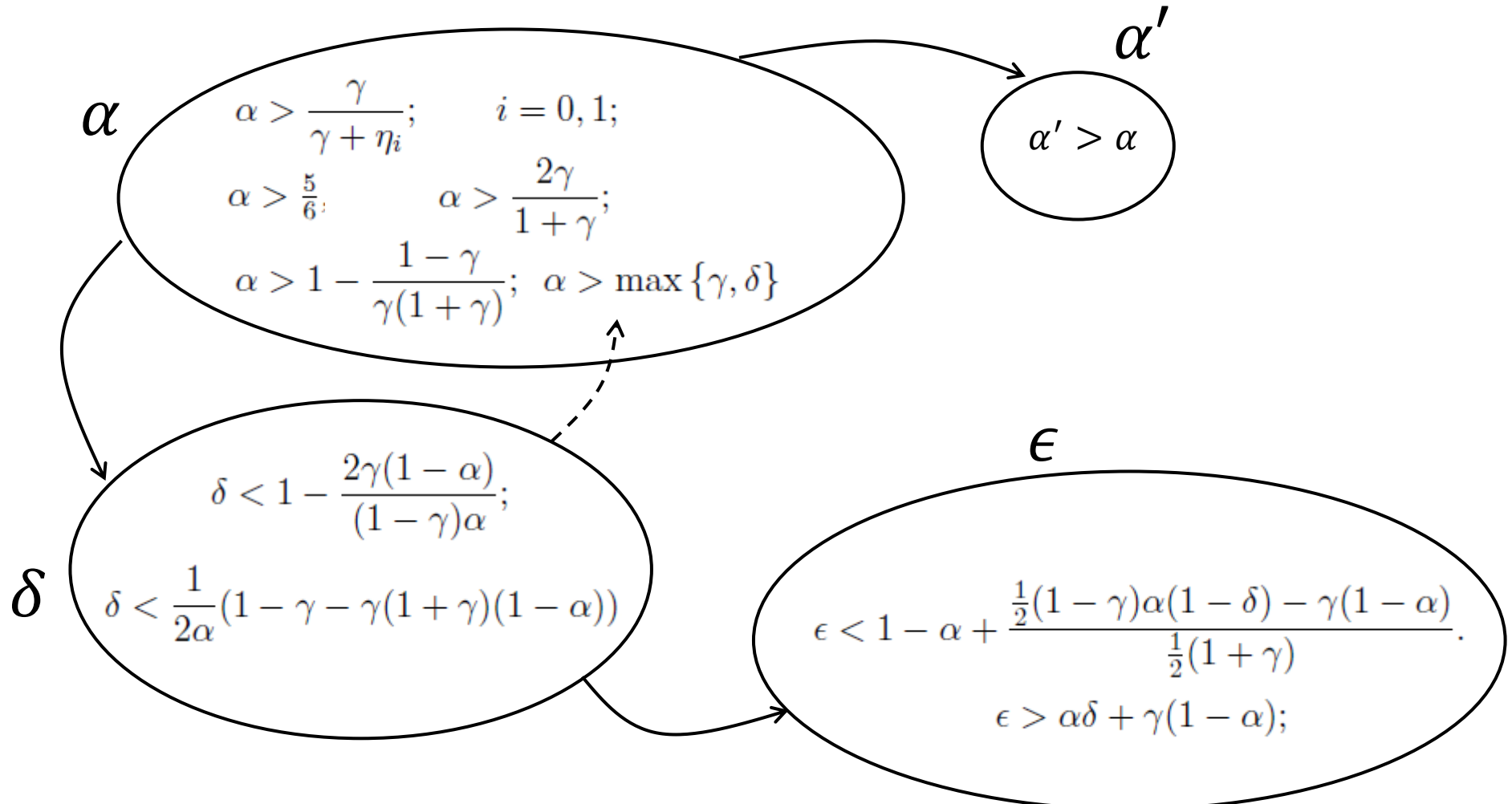
En choisissant les exposants avec *précautions*, on obtient une contradiction.

Mais le temps passé en dehors des grosses arêtes est borné supérieurement par

$$\mathbb{E}[T^{<t^{\alpha\delta}}] \leq t_n^{1-\epsilon}$$

$$\Rightarrow \mathbb{P}\{OLT; T_e < t; X_t \notin e\} = o(t^{-\gamma(1-\alpha)-\zeta})$$

## Précautions dans les choix des exposants



Tous les P de ma thèse :

$$p = (p(x, y))_{x, y \in S} \quad P, \quad p^\omega, \quad P_x^\omega, \quad \mathbb{P}_x, \quad P_\infty, \quad \overline{P}, \quad P_x^K, \quad \mathbb{P}_x^K, \quad \overline{\mathbb{P}}_x, \quad \mathbb{P}^\infty$$

Et les T :

$$t, \quad \tau_k, \quad \mathcal{T}_k, \quad T_A, T_x, T_{A,(k)}, \quad \mathcal{T}_i^{\geq n}, \mathcal{T}_i^{< n}, \quad \mathfrak{T}_n, \mathfrak{T}_n^{(i)}, \quad \mathfrak{T}_\infty, \mathfrak{T}_\infty^{(i)}$$

# Merci!

## Références

Gérard BEN AROUS, Alexander FRIBERGH, Nina GANTERT et Alan HAMMOND : Biased random walks on Galton-Watson trees with leaves. *Annals of Probability*, 40(1):280 – 338, 2012.

Jean-Philippe BOUCHAUD : Weak ergodicity breaking and aging in disordered systems. 2(9):1705–1713, 1992.

Nathanaël ENRIQUEZ, Christophe SABOT et Olivier ZINDY : Aging and quenched localisation for one-dimensional random walks in random environment in the sub-ballistic regime. *Bulletin de la Société Mathématique de France*, 137:423–452, 2009.

Nathanaël ENRIQUEZ, Christophe SABOT et Olivier ZINDY : Limit laws for transient random walks in random environments on  $\mathbb{Z}$ . *Annales de l'Institut Fourier*, 59(6):2469–2508, 2009.

Alexander FRIBERGH : Biased random walks in positive random conductances on  $\mathbb{Z}^d$ . *Annals of Probability*, 41(6):3910 – 3972, 2013.

Alexander FRIBERGH et Daniel KIOUS : Scaling limits for sub-ballistic biased random walks in random conductances. *Annals of Probability*, 46(2):605–686, 2018.

Russell LYONS, Robin PEMANTLE et Yuval PERES : Biased random walks on Galton-Watson trees. *Probability Theory and Related Fields*, 106(2):249–264, 1996.

Russell LYONS et Yuval PERES : *Probability on Trees and Networks*. Presses de l'Université Cambridge, décembre 2016.

Karl PERASON : The problem of the random walk. *Nature*, 72(294), juillet 1905.

Yakov G. SINAI : The limiting behavior of a one-dimensional random walk in a random medium. *Theory of Probability and Applications*, 27(2):256–268, 1983.

Lian SHEN : Asymptotic properties of certain anisotropic walks in random media. *Annals of Applied Probability*, 12(2):477–510, 2002.

Fred SOLOMON : Random walks in a random environment. *Annals of Probability*, 3(1):1–31, 1975.

# Appendices

## A. D'autres modèles reliés

## Autres modèles reliés

Shen (2003) :

La distribution de  $c_*^\omega$  supportée sur un compact  $[1/K, K]$ ;

Marche elliptique, limite Brownienne

$$(1.1) \quad p_\omega(x, x + e) \geq \kappa > 0 \quad \text{for all unit vectors } e \in \mathbb{Z}^d, x \in \mathbb{Z}^d, \omega \in \Omega,$$

$\frac{X_n}{n}$  converges  $P_0$ -a.s. to a deterministic nondegenerate velocity  $v$ .

Further, we prove in Theorem 5.3 that the process  $B_*^n$ ,

$$(1.10) \quad B_t^n = \frac{X_{[tn]} - [tn]v}{\sqrt{n}}, \quad t \geq 0,$$

with  $[t]$  denoting the integer part of  $t \geq 0$ , converges in law under the annealed measure  $P_0$  to a  $d$ -dimensional Brownian motion with nondegenerate covariance matrix, as  $n \rightarrow \infty$ .

Lawler (1992) :

Une MAMA dans  $\mathbb{Z}^d$  qui converge vers un Brownien.

**Abstract.** Let  $\pi_i(x)$ ,  $i = 1, \dots, d$ ,  $x \in \mathbb{Z}^d$ , satisfy  $\pi_i(x) \geq \alpha > 0$ , and  $\pi_1(x) + \dots + \pi_d(x) = 1$ . Define a Markov chain on  $\mathbb{Z}^d$  by specifying that a particle at  $x$  takes a jump of  $+1$  in the  $i^{\text{th}}$  direction with probability  $\frac{1}{2}\pi_i(x)$  and a jump of  $-1$  in the  $i^{\text{th}}$  direction with probability  $\frac{1}{2}\pi_i(x)$ . If the  $\pi_i(x)$  are chosen from a stationary, ergodic distribution, then for almost all  $\pi$  the corresponding chain converges weakly to a Brownian motion.

Barlow & Černý (2009) :

Une MAMA dans  $\mathbb{Z}^d$  sur des conductances en loi de puissance, sans biais. Limite : Fractional Kinetics.

**Abstract**

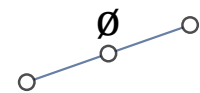
We consider a random walk among unbounded random conductances whose distribution has infinite expectation and polynomial tail. We prove, that the scaling limit of this process is a Fractional-Kinetics process – that is the time change of a  $d$ -dimensional Brownian motion by the inverse of an independent  $\alpha$ -stable subordinator. We further show, that the same process appears in the scaling limit of the non-symmetric Bouchaud's trap model.

B. MAMA  $\beta$ iaisée sur l'arbre de Bienaym  conditionn  ´a survivre.

## L'arbre de Bienaymé

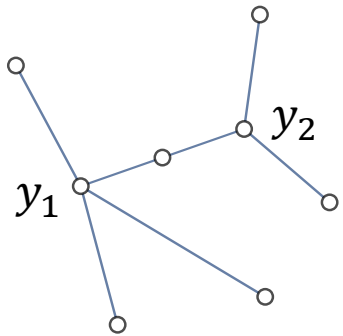
Une racine  $\emptyset$  ...       $\circ$

... a un nombre aléatoire  $\xi_\emptyset$   
d'enfants  $y_1, y_2, y_3, \dots$



$$\xi_\emptyset = 2$$

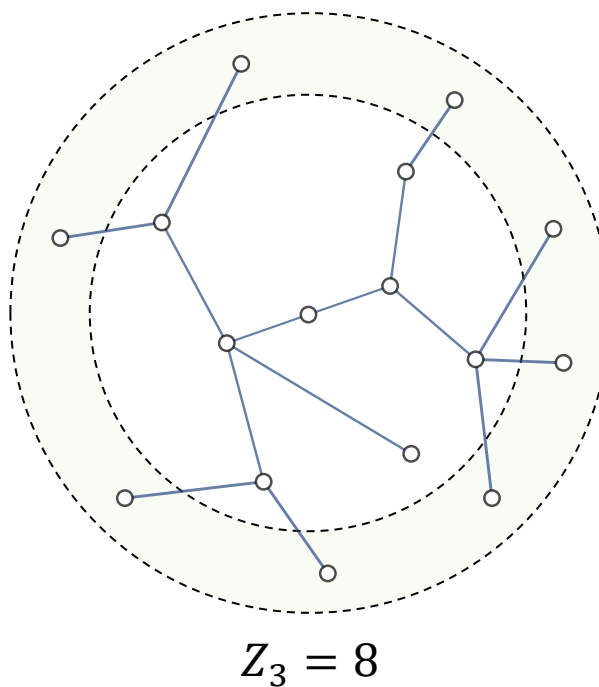
... qui ont chacun un nombre aléatoire  $\xi_{y_i} \sim \xi_\emptyset$  d'enfants ...



$$\xi_{y_1} = 3; \quad \xi_{y_2} = 2$$

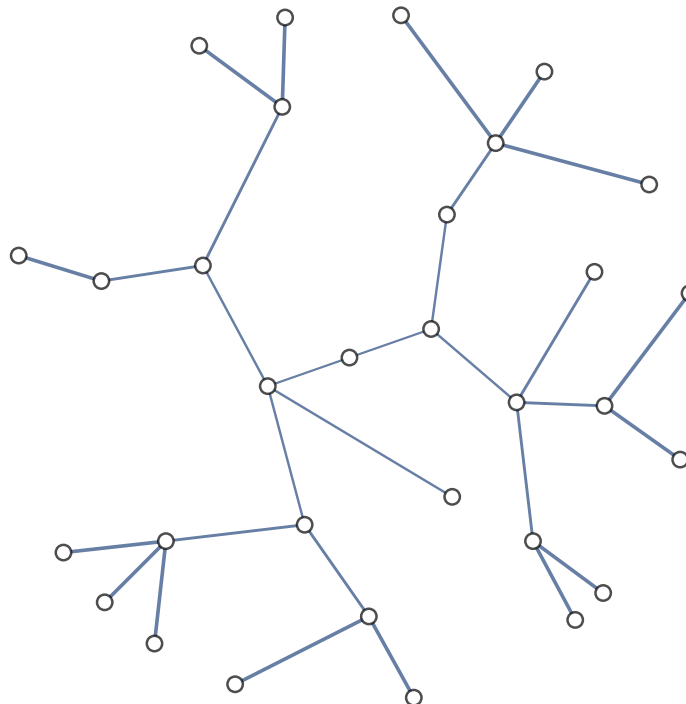
... etc. Le nombre d'individus à la  $n$ ième génération est

$$Z_n = \sum_{i=1}^{Z_{n-1}} \xi_{x_i}.$$



## Conditionné à survivre

**Thm.** Si  $m = \mathbf{E}[\xi] > 1$ ,



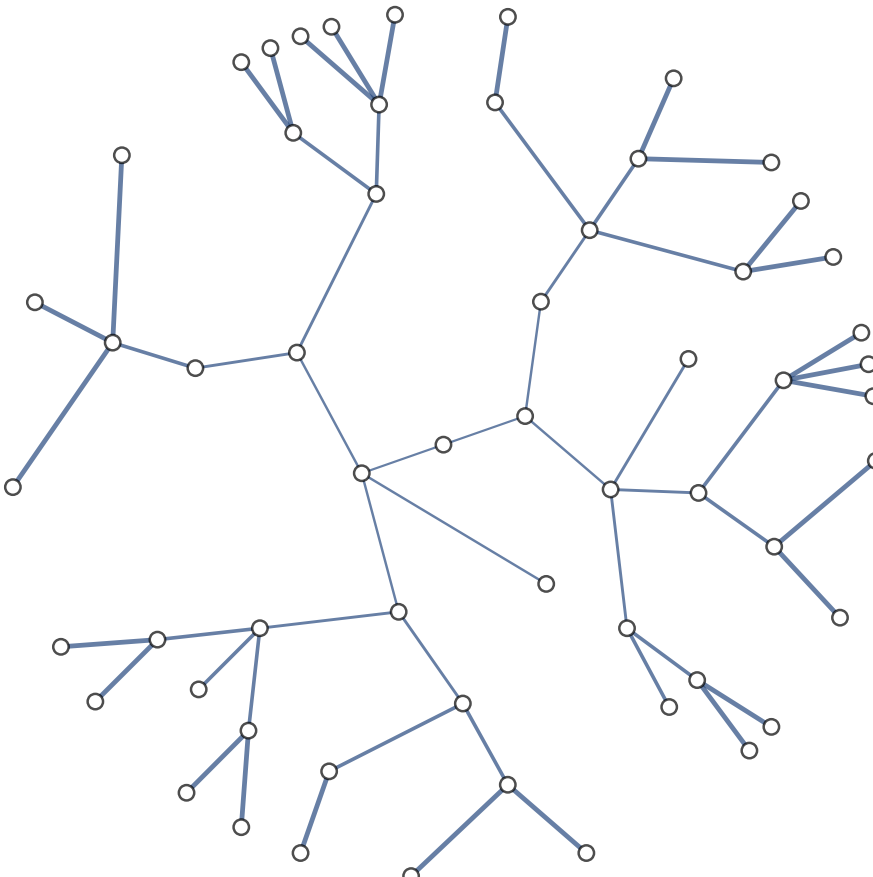
L'arbre survit avec probabilité  $1 - q = \bar{q}$

$$\mathbf{P}_\infty\{\cdot\} = \mathbf{P}\{\cdot \mid Z_n \rightarrow \infty\}$$

Conductances

Pour tout  $x$ , la conductance de l'arête qui le rattache à son parent  $\tilde{x}$  est

$$c^\omega(\tilde{x}, x) = \beta^{|\tilde{x}|}$$



$$\beta = 8/5$$

$$\pi^\omega(x) = \beta^{|\tilde{x}|}(1 + \beta\xi_x)$$

Les probabilités de transition sont données par

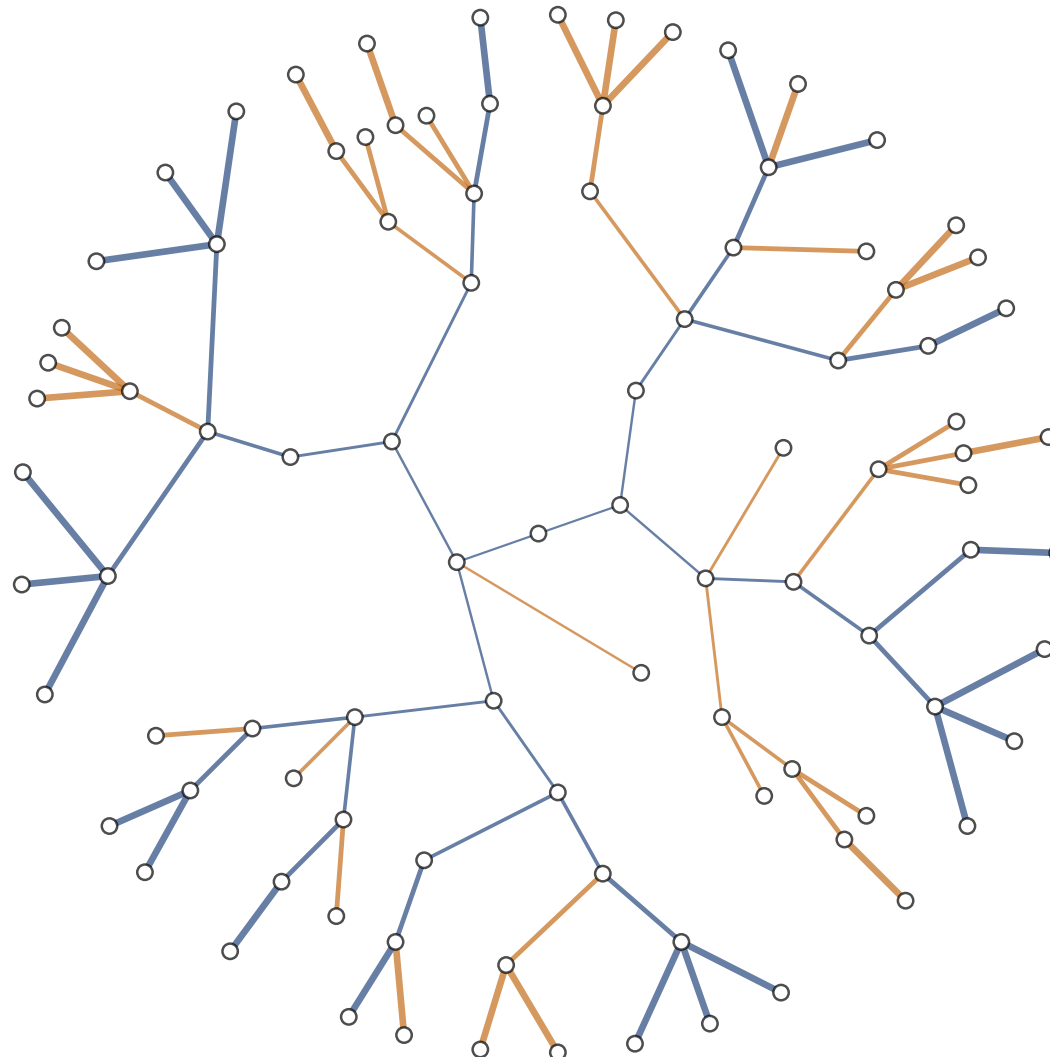
$$p^\omega(x, \tilde{x}) = \frac{1}{1 + \xi_x \beta};$$

$$p^\omega(x, y_i) = \frac{\beta}{1 + \xi_x \beta}$$

où les  $y_i$  sont les enfants de  $x$ .

Décomposition

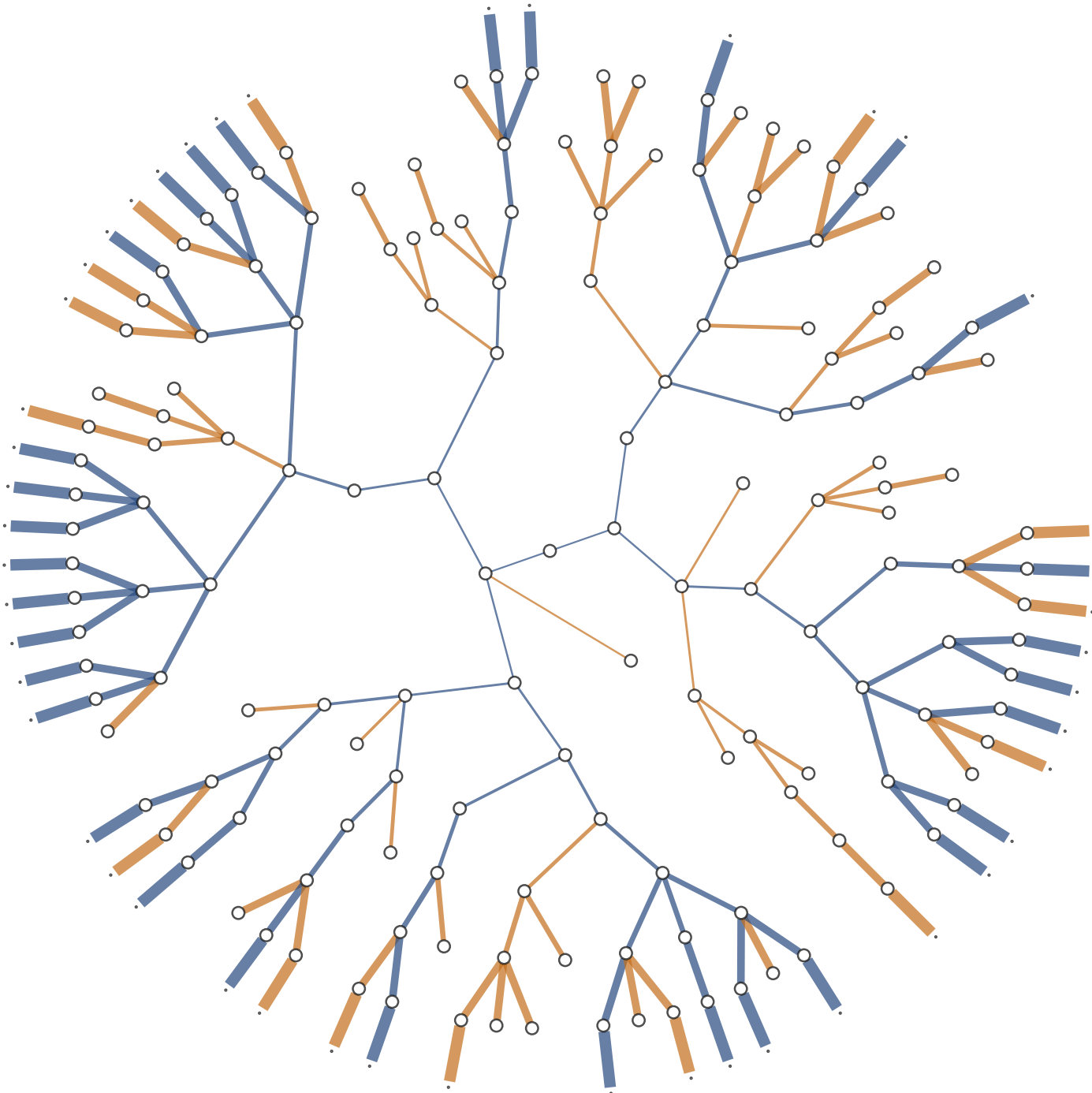
Sous  $\mathbf{P}_\infty$  on peut décomposer l'arbre en une *épine dorsale* infinie



et des *branches* qui sont des sous-arbres finis.

Les branches ont la même distribution que l'arbre sous

$$\bar{\mathbf{P}}\{\cdot\} = \mathbf{P}\{\cdot \mid Z_n \rightarrow 0\}$$



Réurrence/transience

**Thm.** (Lyons, 1992)

Si  $\mu = \mathbf{E}[\xi] > 1$ ,

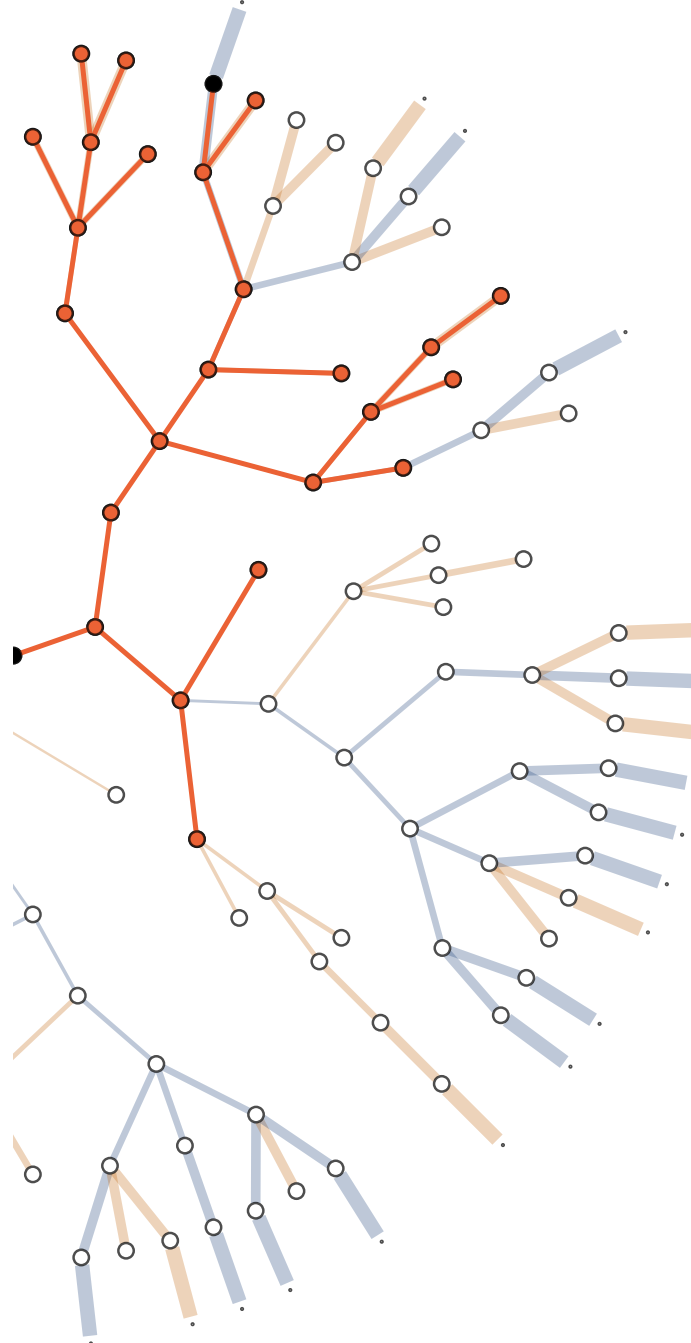
- Si  $\beta < 1/\mu$ , récurrent p.s.
- Si  $\beta = 1/\mu$ , récurrent positif p.s.
- Si  $\beta > 1/\mu$ , transient p.s.

**Thm.** (Lyons, Peres, Pemantle, 1996)

Si  $\mu = \mathbf{E}[\xi] > 1$ ,  $\psi$  f. g. prob. de  $\xi$ ,

$$\lim_{t \rightarrow \infty} \frac{X_t}{t} = v(\beta, \psi) \quad \text{p. s.}$$

- Si  $\psi(0) = 0$ ,  $v > 0$ ;
- Si  $\psi(0) > 0$ ,  $\frac{1}{\mu} < \beta < \frac{1}{\psi'(q)}$ ,  $v > 0$ ;
- Si  $1 < \beta_c = \frac{1}{\psi'(q)} < \beta$ ,  
 $v = 0$ .

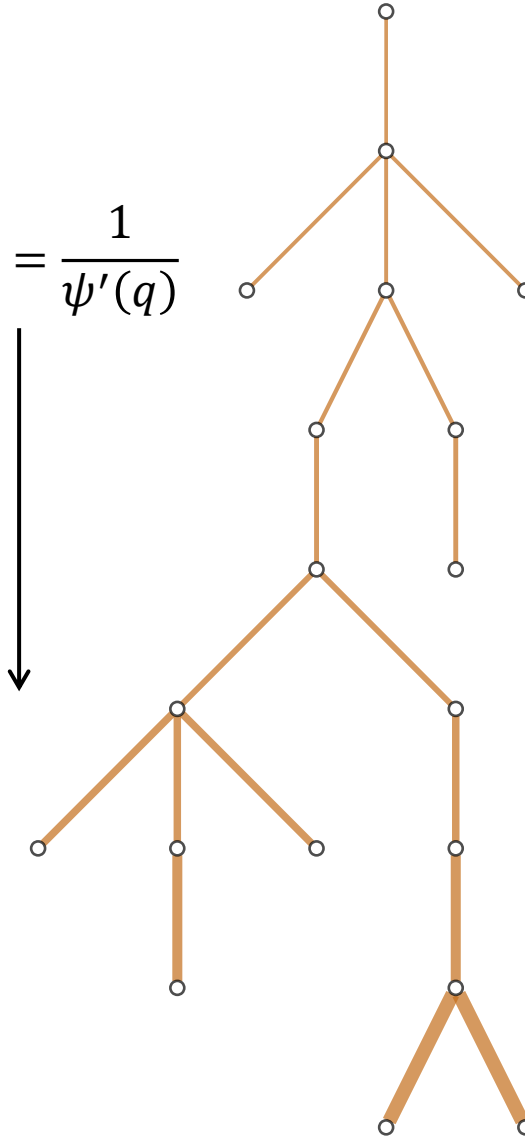


Si  $\beta_c < \beta$ , les branches sont des pièges.

Pièges

$H^\omega$   
Hauteur de la  
branche  
 $\bar{\mathbb{P}}\{H^\omega \geq n\} \sim C\beta_c^{-n}$

$$\beta > \beta_c = \frac{1}{\psi'(q)}$$

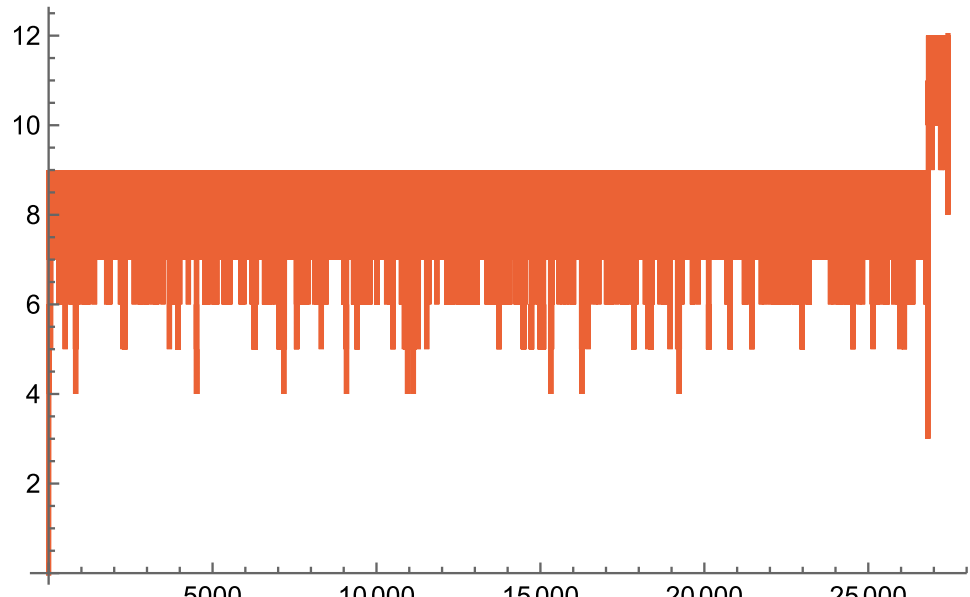


$$T_\emptyset^+ \approx \beta^{H^\omega}$$

Temps de retour (trempé) à  
la racine de la branche

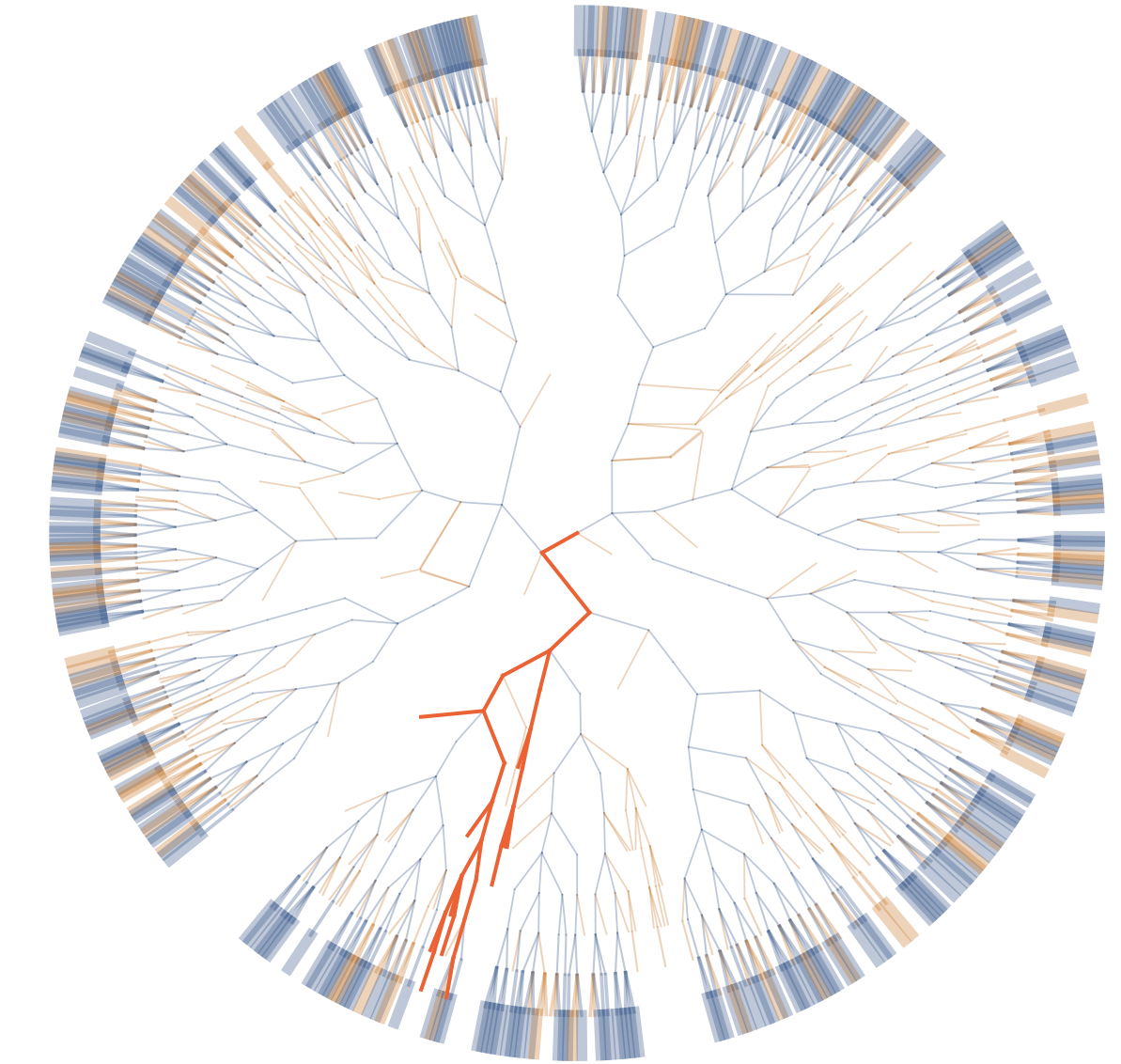
$$\bar{\mathbb{P}}_\emptyset\{T_\emptyset^+ \geq u\} \sim C'u^{-\gamma}$$

$$\gamma = \frac{\log \beta_c}{\log \beta} < 1$$



Distance à la racine en fonction du temps

$$\psi(s) = \frac{1}{4}(1 + s + s^2 + s^3); \beta = 5;$$

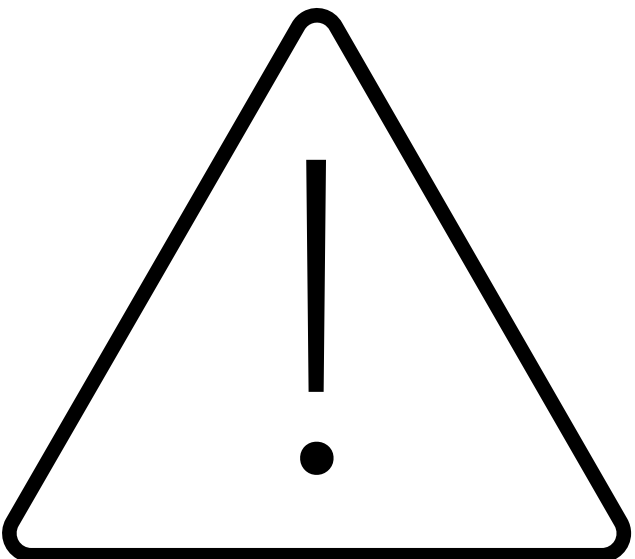


$$H^\omega \in \mathbb{N}$$

La distribution de  $H$   
est arithmétique

$$Q(x) = \bar{\mathbf{P}}\{\beta^{H^\omega} \geq x\}$$

n'est pas à variation régulière



**Thm.** (Ben Arous, et al., 2012)  
Les limites d'échelle n'existent pas!

**Thm.** (Ben Arous et al., 2012)  
Les distributions pour  $X_t/t^\alpha$   
sont tendues.

$$\frac{\log |X_t|}{\log t} \rightarrow \gamma \text{ p. s.}$$

## C. Distributions stables; fonctions à variation régulière

Distributions stables

La distribution marginale  $\mathcal{D}$  des  $X_i$   
(i.i.d.) est *stable* si

$$\frac{\sum_{i=1}^k X_i - b_k}{a_k} \sim X_1$$

pour certaines suites  $a_k$  et  $b_k$ .

La famille des distributions stables

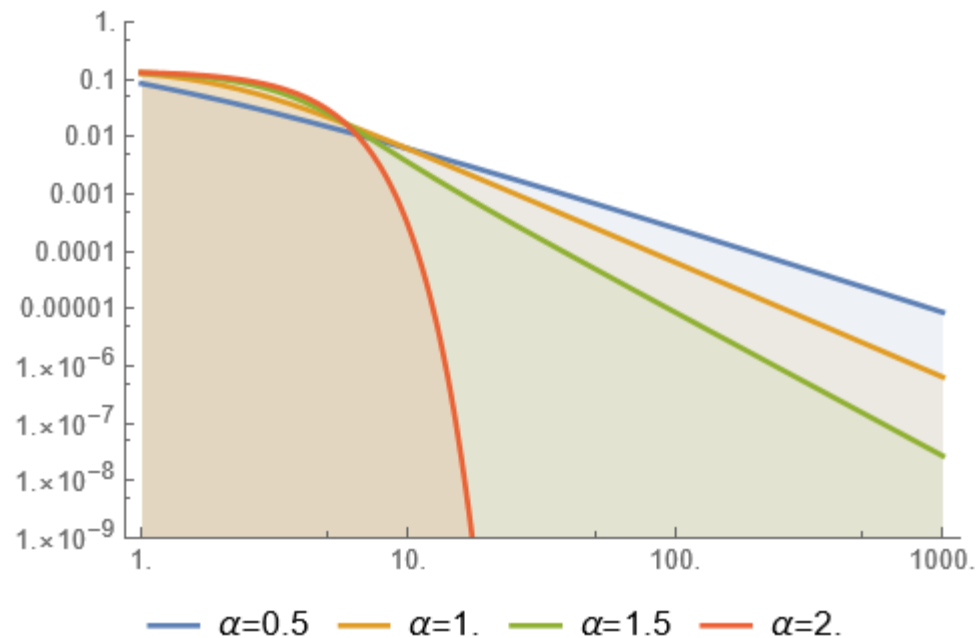
$$\mathcal{S}(\alpha, \beta, \mu, c)$$

est caractérisée par 4 paramètres. Sa fonction caractéristique est

$$\begin{aligned}\phi(t) &= \mathbb{E}[e^{it\mathcal{S}(\alpha, \beta, \mu, c)}] \\ &= e^{it\mu - |ct|^\alpha(1 + i\beta H(t, \alpha))}\end{aligned}$$

$$H(t, \alpha) = \begin{cases} \tan\left(\frac{\pi\alpha}{2}\right) & \text{si } \alpha \neq 1 \\ -\frac{2}{\pi}\log|t| & \text{si } \alpha = 1 \end{cases}$$

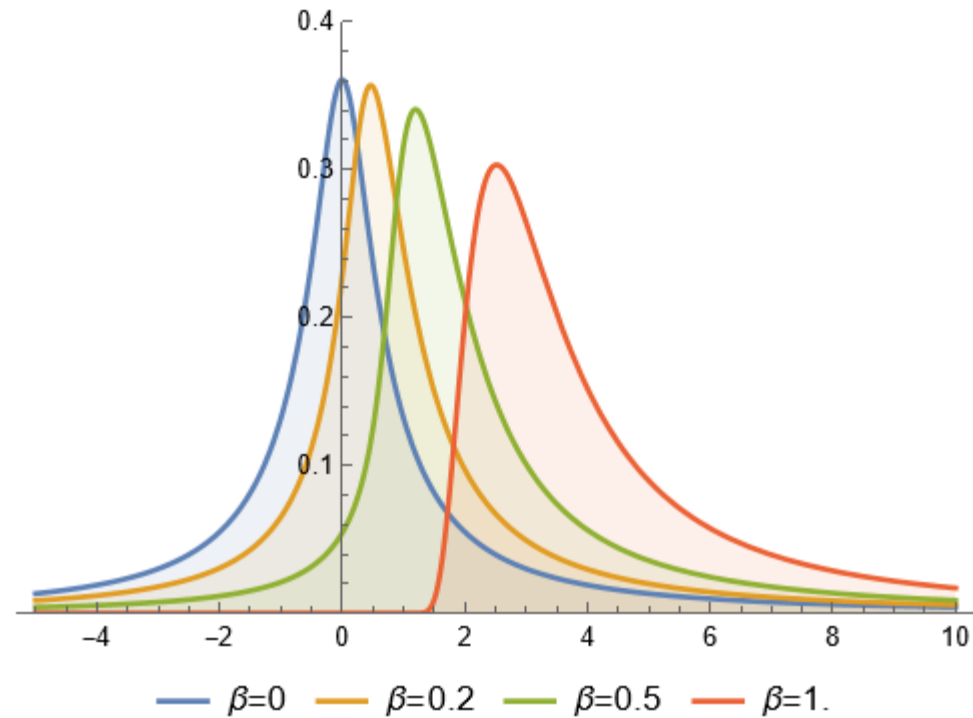
$\alpha$  et  $\beta$



$$\alpha \in (0, 2]$$

contrôle les queues.

Lois de puissance pour  $\alpha < 2$ .

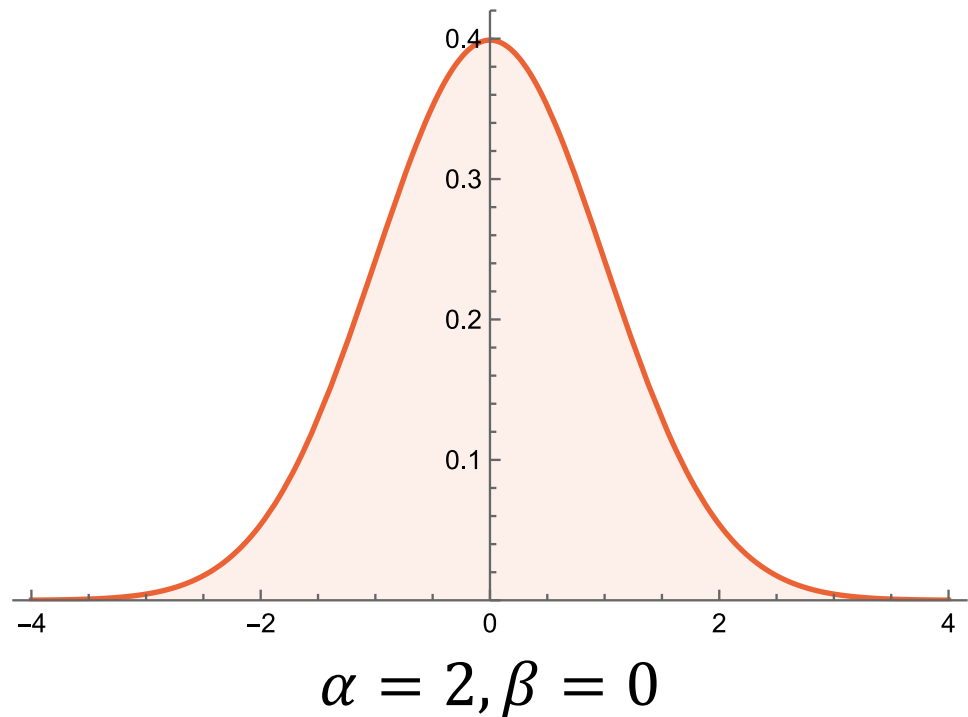


$$\beta \in [-1, 1]$$

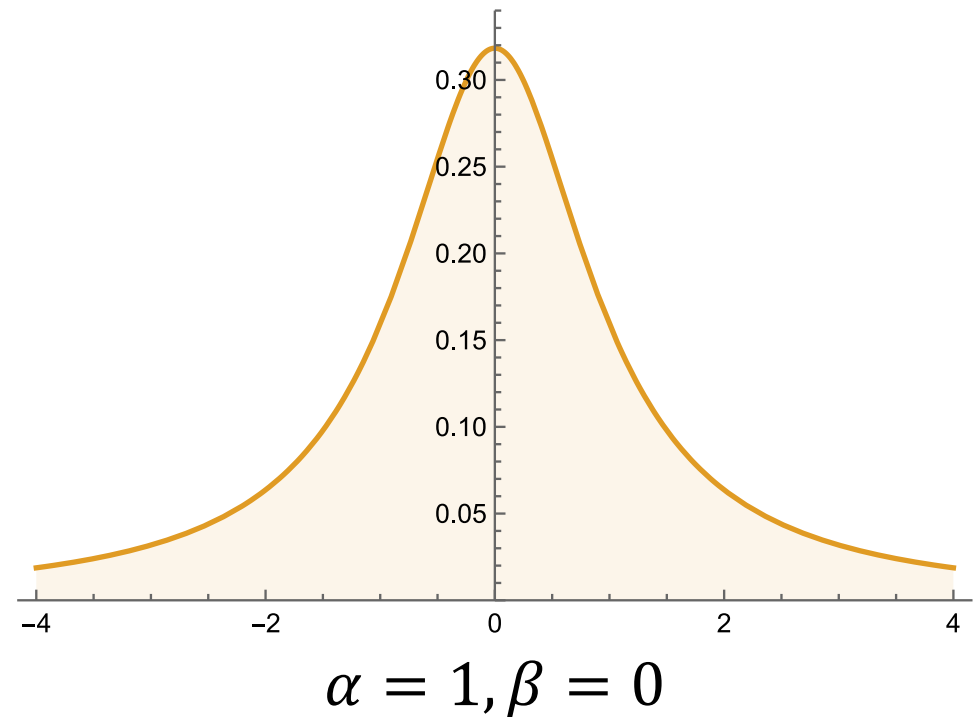
contrôle le biais à gauche ou à droite.

symétrique si  $\beta = 0$ .

$\alpha$  et  $\beta$

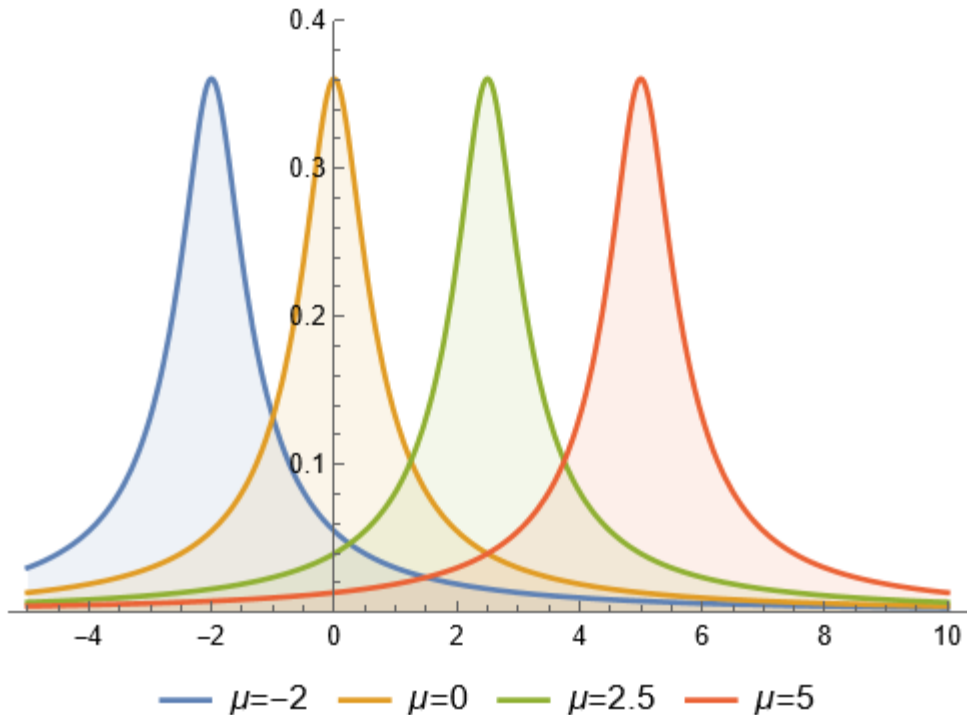


Distributions normales



Distributions de Cauchy!

$\mu$  et  $c$

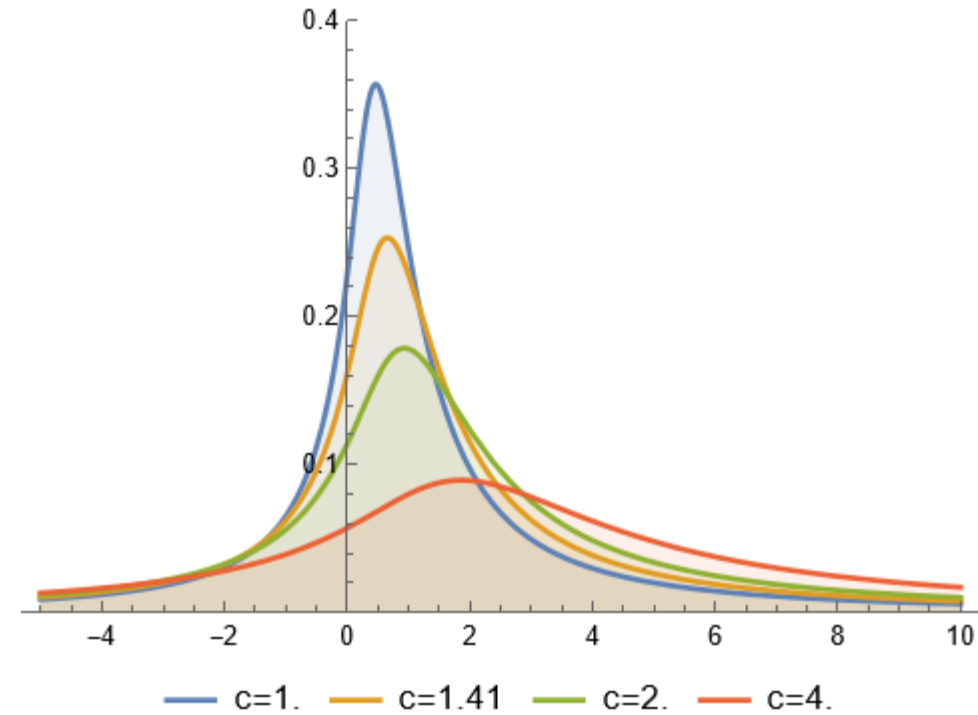


$\mu \in \mathbb{R}$

paramètre de translation

$c > 0$

paramètre d'échelle



**Thm.** Si  $\mathcal{D}$  est une distribution avec f. de rép.  $F$ , f. de survie  $\bar{F}$  et

$$Q(x) = \mathbb{P}\{|X| > x\} \sim C L(x)x^{-\alpha}$$

De plus, on suppose

- $X_i$  i.i.d.  $\sim \mathcal{D}$
- $S_n = \sum_{i=1}^n X_i$
- $L(x)$  var. lente. \*
- $\lim_{x \rightarrow \infty} \bar{F}(x)/Q(x)$  existe

alors...

$$a_n = \inf\{x \in R^+ : Q(x) < n^{-1}\} =: \text{Inv}_Q(n);$$

$$b_n = n \int_0^{a_n} x \, dQ(x)$$



$$\frac{S_n - b_n}{a_n} \rightarrow \mathcal{S}(\alpha, \beta, \mu, c)$$

\* Fonctions à variation régulière

$f$  est à variation régulière  
d'exposant  $\gamma \in \mathbb{R}$  si

$$\lim_{x \rightarrow \infty} \frac{f(tx)}{f(x)} = t^\gamma$$

$f$  est à variation *lente* si  $\gamma = 0$

$$\lim_{x \rightarrow \infty} \frac{f(tx)}{f(x)} = 1$$

**Thm.** Si  $f$  est à variation  
régulière d'exposant  $\gamma$ , alors  
 $f(x)/x^\gamma$  est à variation lente.

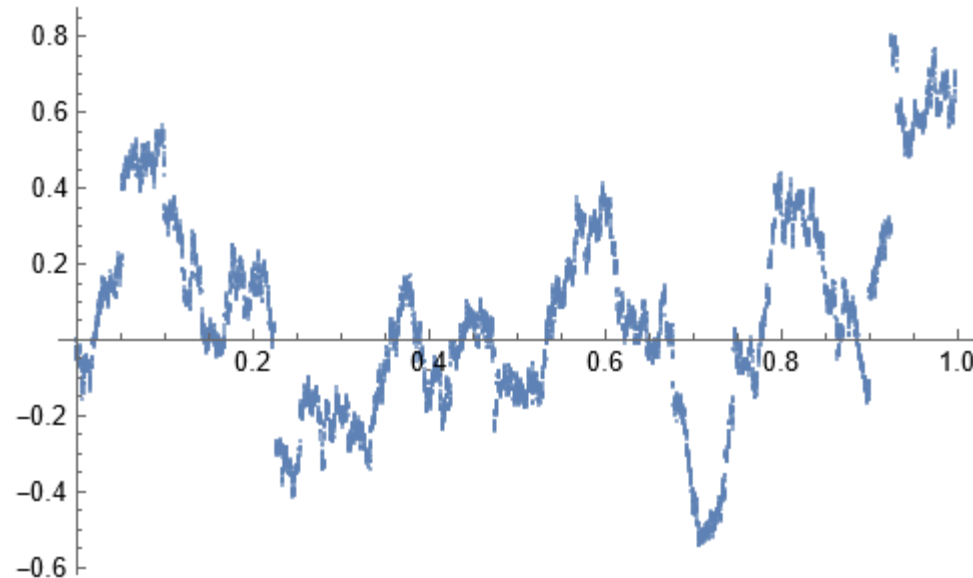
...

## Processus stables (de Lévy)

$(y_t)_{t \geq 0}$

- $y_0 = 0$ ;
- $t \mapsto y_t$  càdlàg.
- Incréments indépendants; homogènes.
- $\alpha$ -stable si  $y_t \sim t^{1/\alpha} \mathcal{S}(\alpha, \dots)$

Généralise le processus de Wiener.

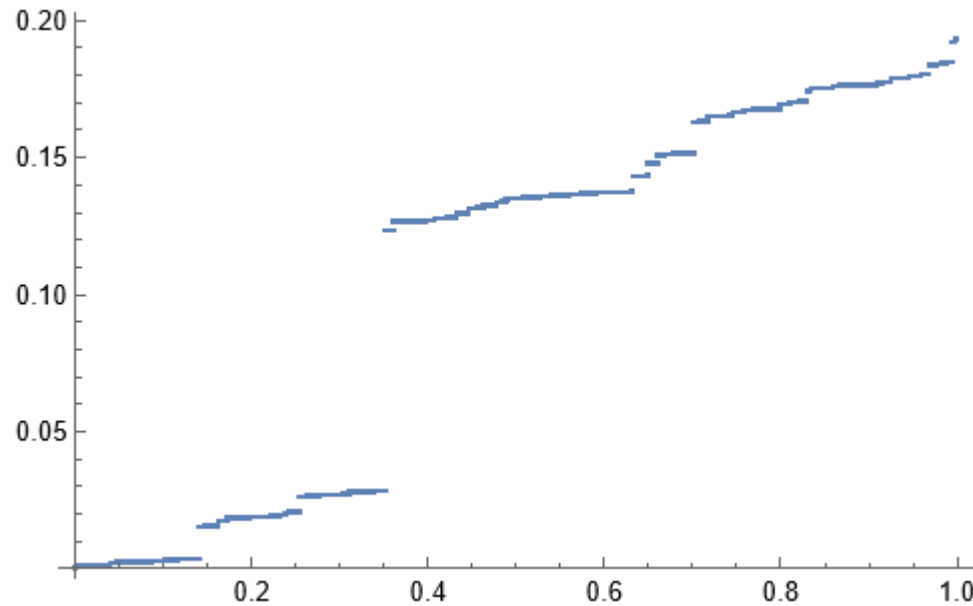


Exemple d'une réalisation d'un processus  
 $\alpha$ -stable symétrique avec  $\alpha = 1,8$

## Subordonateurs $\alpha$ -stables

$$(y_t)_{t \geq 0}$$

- Processus  $\alpha$ -stable
- $0 < y_t \sim t^{1/\alpha} \mathcal{S}(\alpha, \beta = 1, \dots)$



Exemple d'une réalisation d'un  
subordonateur  $\alpha$ -stable avec  $\alpha = 0,5$

## Limites d'échelles $\alpha$ -stables

**Thm.** Soit  $\mathcal{D}$  est une distribution supportée sur  $[0, +\infty)$  avec f. de survie  $\bar{F}$  et

$$\bar{F}(x) \sim Cx^{-\alpha}, \alpha \in (0, 2)$$

avec

- $X_i$  i.i.d.  $\sim \mathcal{D}$
  - $S_n = \sum_{i=1}^n X_i$
  - Si  $\alpha < 1$ ,  

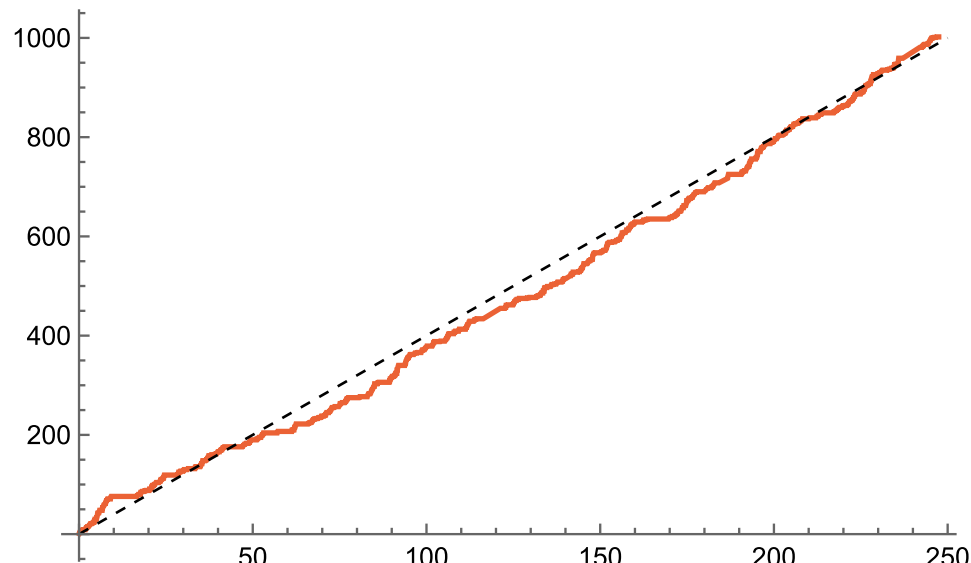
$$S_t^{(N)} = N^{-1/\alpha} S_{\lfloor Nt \rfloor}$$
  - Si  $\alpha > 1$ ,  

$$S_t^{(N)} = N^{-1/\alpha} (S_{\lfloor Nt \rfloor} - \mu Nt)$$
- où  $\mu = \int_0^\infty x dF(x)$

$$(S_t^{(N)})_{0 \leq t \leq M} \rightarrow (y_t)_{0 \leq t \leq M}$$

en distribution  
dans la topologie de Skorokhod pour les fonctions càdlàg sur  
l'intervalle  $[0, M]$ .

Pour Bouchaud



pour  $\tau \sim \text{Gamma}\left(\frac{1}{2}, \frac{1}{2}\right)$ .

si  $\mu = \mathbb{E}[U_i] < \infty$  et  $\sigma^2 = \text{Var}[U_i] < \infty$

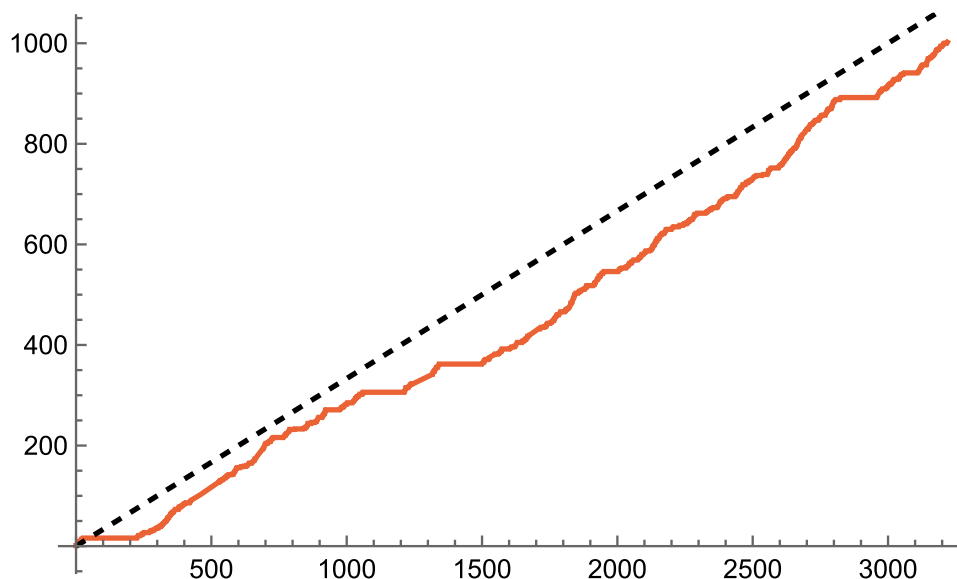
$$\left( \frac{T_{\lfloor Nt \rfloor} - \mu Nt}{\sigma \sqrt{N}} \right)_{0 \leq t \leq M} \rightarrow (\mathcal{W}_t)_{0 \leq t \leq M}$$

$$\left( \frac{X_{Nt} - \nu N t}{\sigma \nu^{3/2} \sqrt{N}} \right)_{0 \leq t \leq M} \rightarrow (\mathcal{W}_t)_{0 \leq t \leq M}$$

en distribution dans la topologie de Skorokhod.

si  $\mathbb{P}\{U > x\} \sim C x^{-\gamma}$

$$\gamma \in (1, 2)$$



pour  $\tau \sim Pareto(a = 1, \gamma = 3/2)$ .

$$\mu = \mathbb{E}[U] < \infty$$

$$\mathbb{E}[U^2] = \infty$$

$y \sim$  subordonneur  $\gamma$ -stable

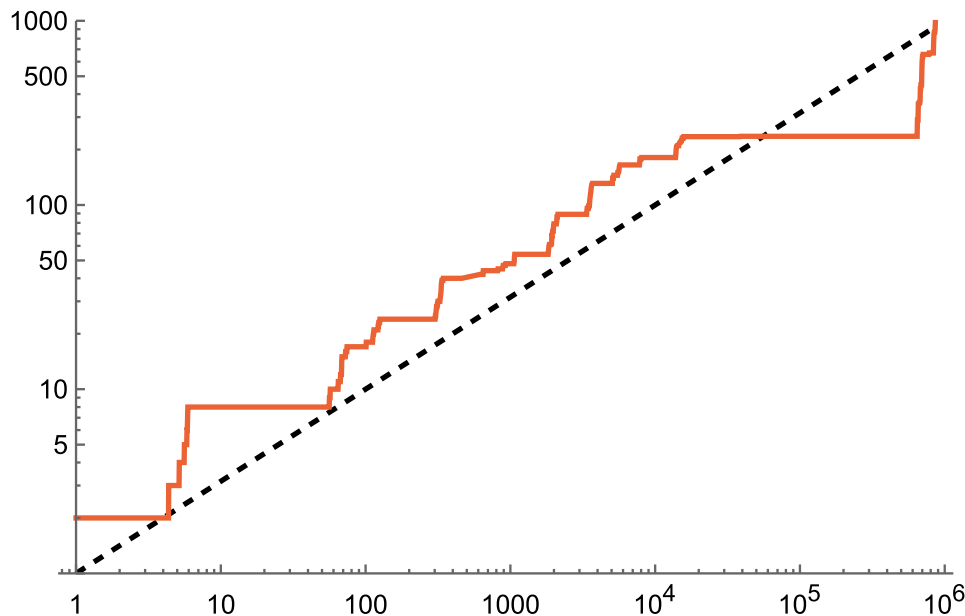
$$\left( \frac{T_{[Nt]} - \mu Nt}{N^{1/\gamma}} \right)_{0 \leq t \leq M} \rightarrow (y_t)_{0 \leq t \leq M}$$

$$\left( \frac{X_{Nt} - \nu N t}{N^{1/\gamma}} \right)_{0 \leq t \leq M} \rightarrow (-\nu^{1+1/\gamma} y_t)_{0 \leq t \leq M}$$

en distribution dans la topologie de Skorokhod.

si  $\mathbb{P}\{U > x\} \sim C x^{-\gamma}$

$$\gamma \in (0, 1)$$



pour  $\tau \sim Pareto(a = 1, \gamma = 1/2)$ .

$$\mathbb{E}[U] = \infty$$

$$\mathbb{E}[U^2] = \infty$$

$y \sim$  subordonneur  $\gamma$ -stable;

$$\left( \frac{T_{[Nt]}}{N^{1/\gamma}} \right)_{0 \leq t \leq M} \rightarrow (y_t)_{0 \leq t \leq M}$$

en distribution dans la topologie de Skorokhod.

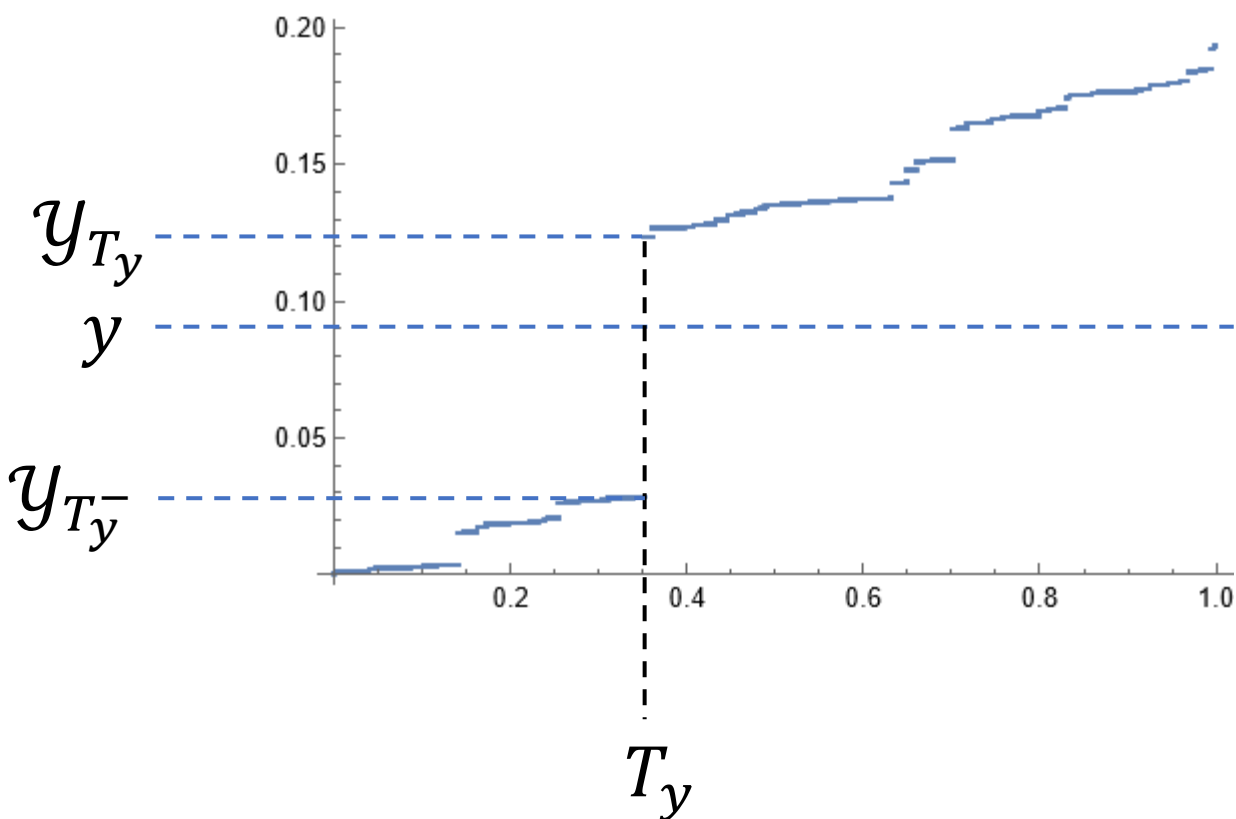
$Z \sim$  inverse d'un subordonneur  $\gamma$ -stable;

$$\left( \frac{X_{Nt}}{N^\gamma} \right)_{0 \leq t \leq M} \rightarrow (Z_t)_{0 \leq t \leq M}$$

en distribution dans la topologie uniforme.

## D. Vieillissement et loi de l'arc-siuns

## Loi de l'arc-sinus



Temps d'atteinte du niveau  $y$ .

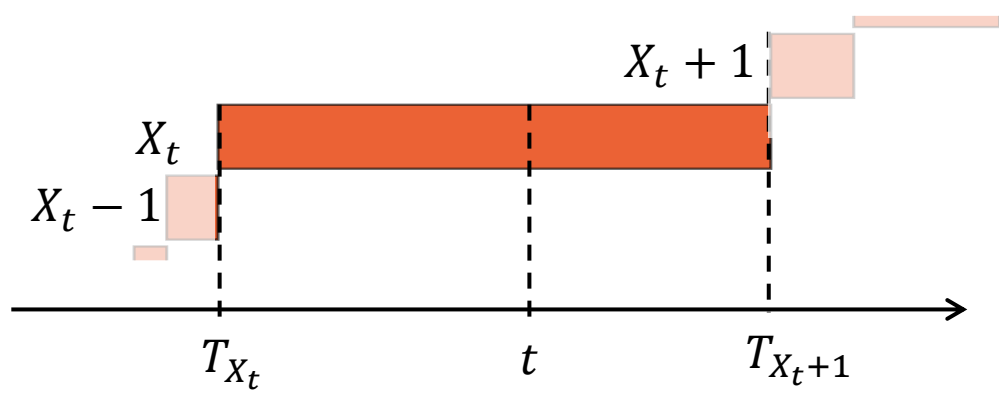
**Thm.** Si  $\gamma$  est un subordonateur  $\alpha$ -stable,  
 $\alpha < 1$ ,

$$\mathbb{P}\left\{\frac{\gamma_{T_y^-}}{y} \leq u\right\} = \text{ASIN}_\alpha(u)$$

avec

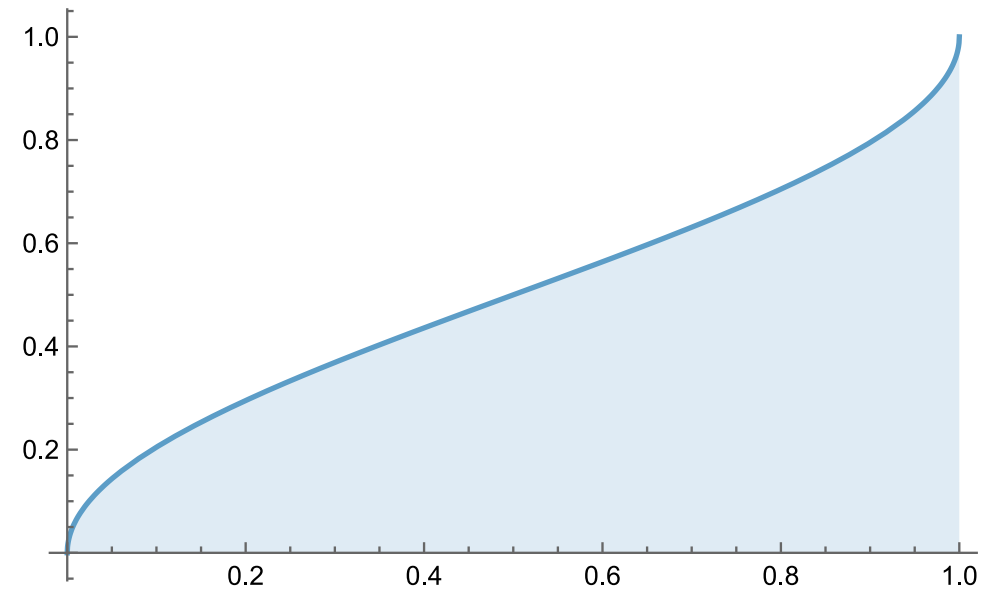
$$\text{ASIN}_\alpha(u) = \frac{\sin \pi \alpha}{\pi} \int_0^u x^{\alpha-1} (1-x)^{-\alpha} dx$$

Pour Bouchaud



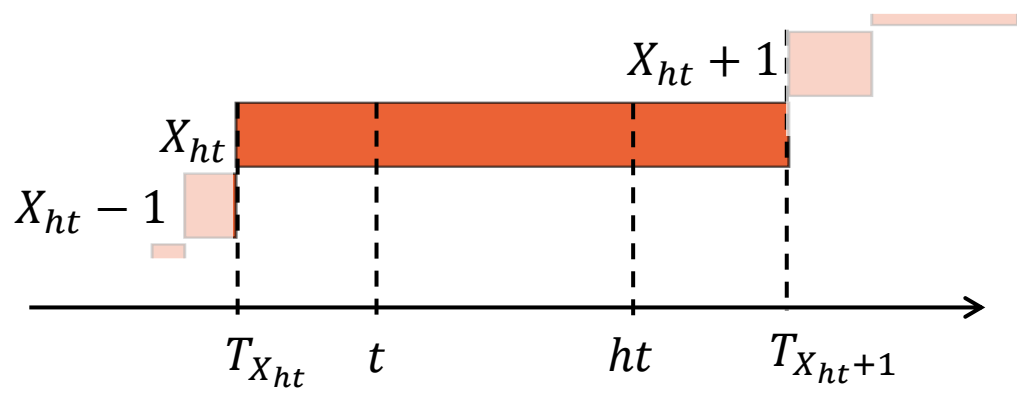
**Thm.** Si  $\mathbb{P}\{U > x\} \sim Cx^{-\gamma}, \gamma < 1, u \in [0,1]$

$$\mathbb{P}\left\{\frac{T_{X_t}}{t} \leq u\right\} \rightarrow \text{ASIN}_\gamma(u)$$



f. de rép. limite pour  $T_{X_t}/t$  si  $\gamma = 1/2$ .

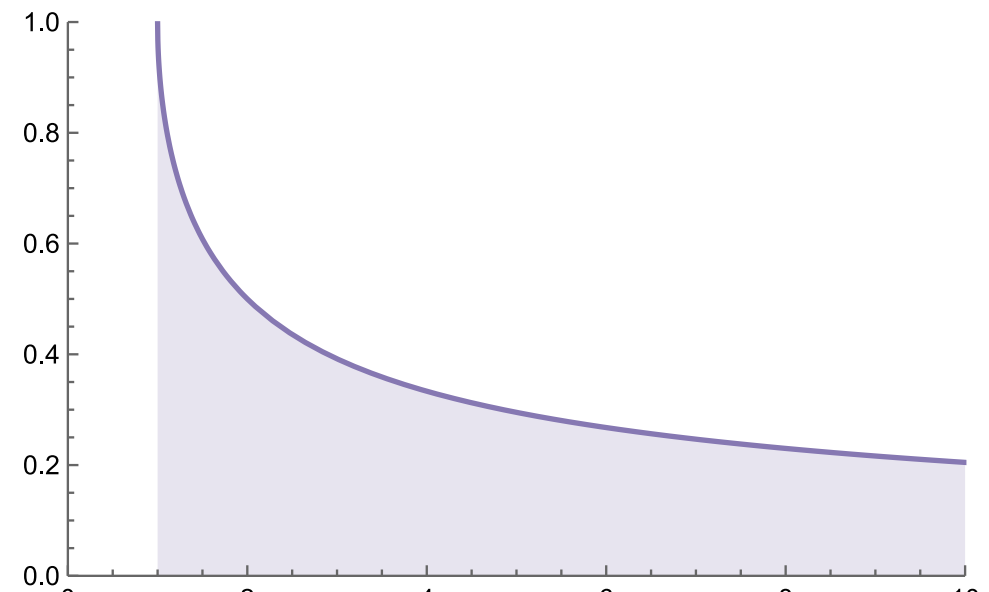
Pour Bouchaud



vieillissement

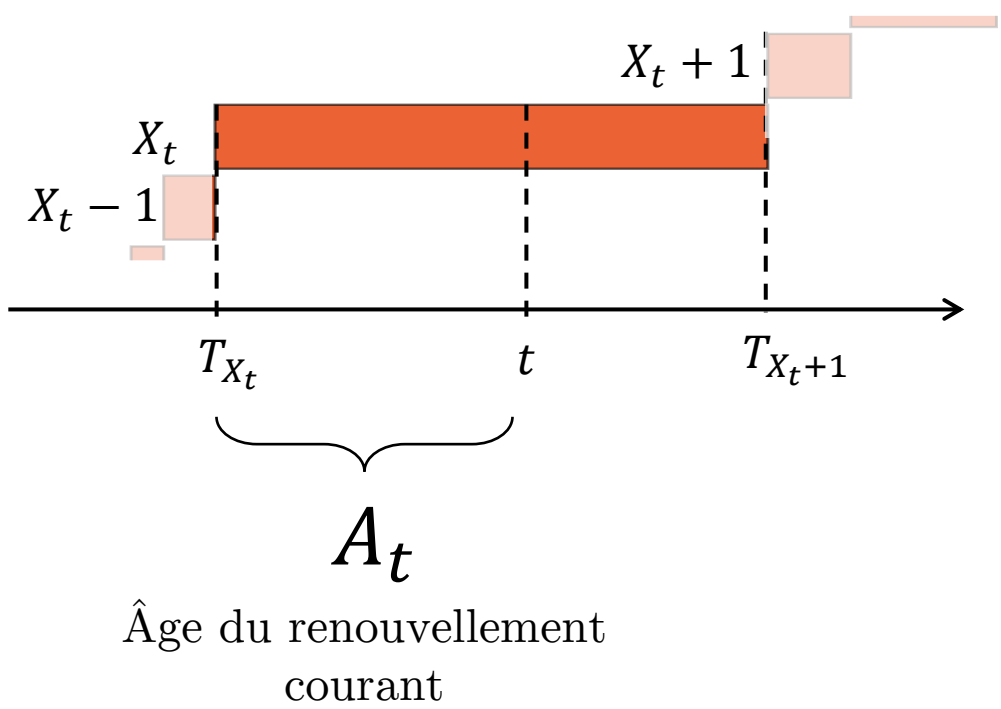
Si  $\mathbb{P}\{U > x\} \sim Cx^{-\gamma}, \gamma < 1, h \geq 1$

$$\mathbb{P}\{X_t = X_{ht}\} \rightarrow \text{ASIN}_\gamma(1/h)$$



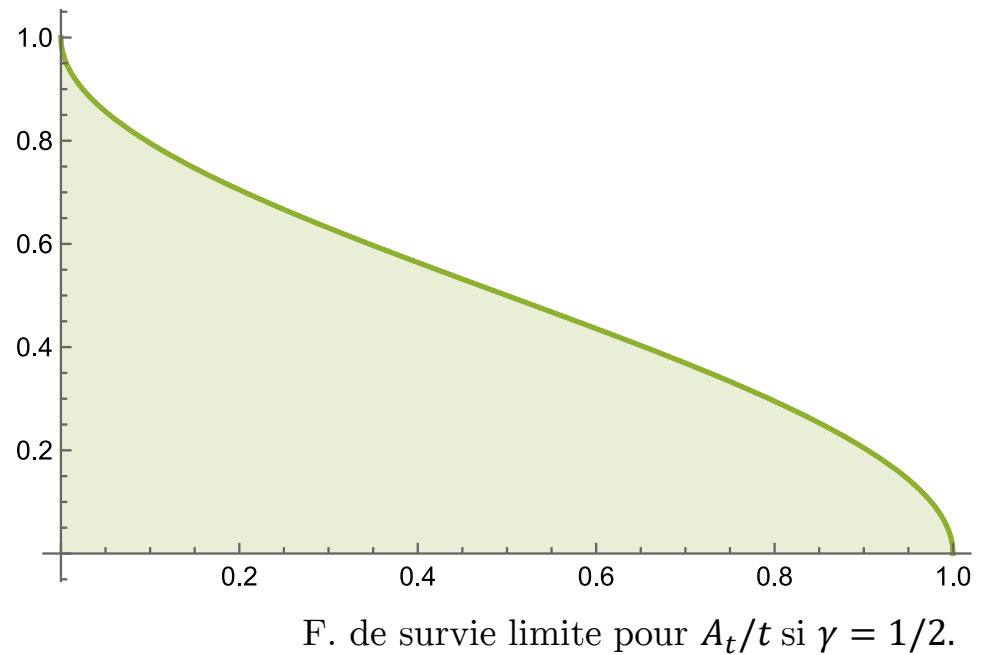
$$\lim_t \mathbb{P}\{X_t = X_{ht}\} \text{ si } \gamma = 1/2.$$

En termes de renouvellements



**Thm.** Si  $\mathbb{P}\{U > x\} \sim Cx^{-\gamma}, \gamma < 1, u \in [0,1]$

$$\mathbb{P}\left\{\frac{A_t}{t} \geq u\right\} \rightarrow \text{ASIN}_{\gamma}(1-u)$$



En termes de renouvellements

Vieillissement

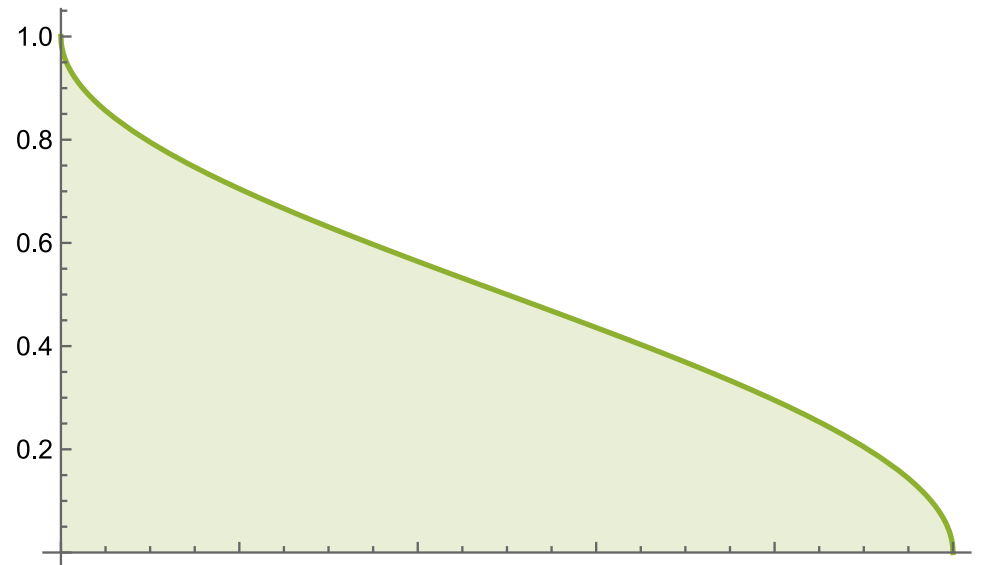


**Thm.** Si  $\mathbb{P}\{U > x\} \sim Cx^{-\gamma}, \gamma < 1, u \in [0,1]$

$$\mathbb{P}\left\{\frac{A_t}{t} \geq u\right\} \rightarrow \text{ASIN}_\gamma(1 - u)$$

$$\frac{A_t}{t}$$

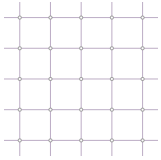
converge en distribution quand  $t \rightarrow \infty$



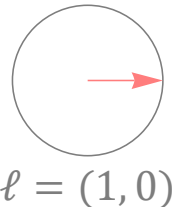
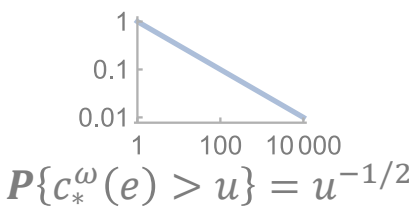
F. de survie limite pour  $A_t/t$  si  $\gamma = 1/2$ .

# E. Exemple de simulation

Paramètres :

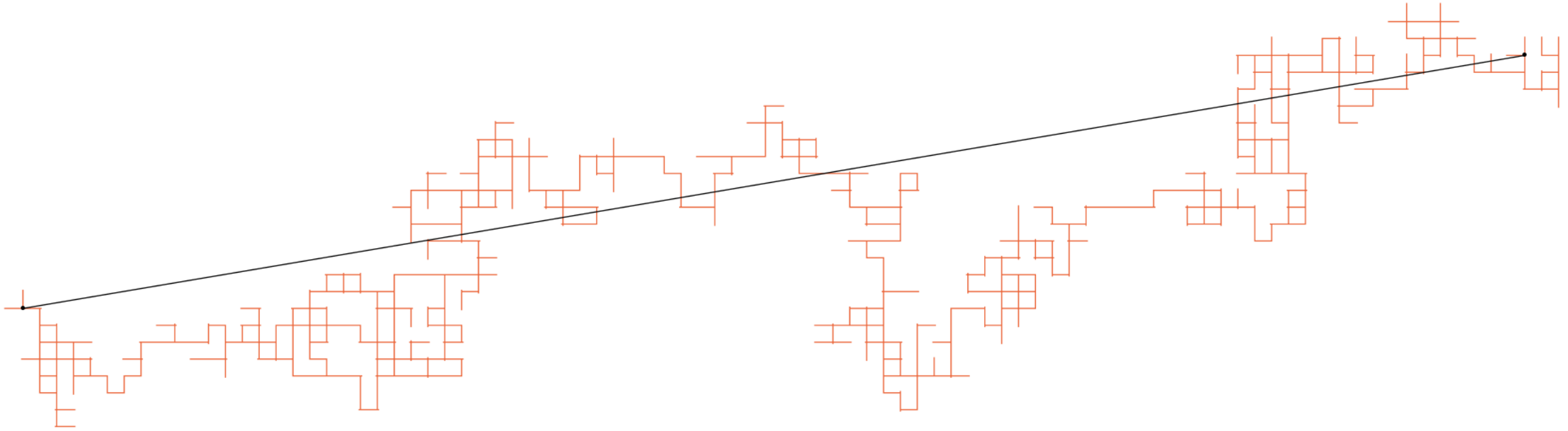


$$d = 2$$

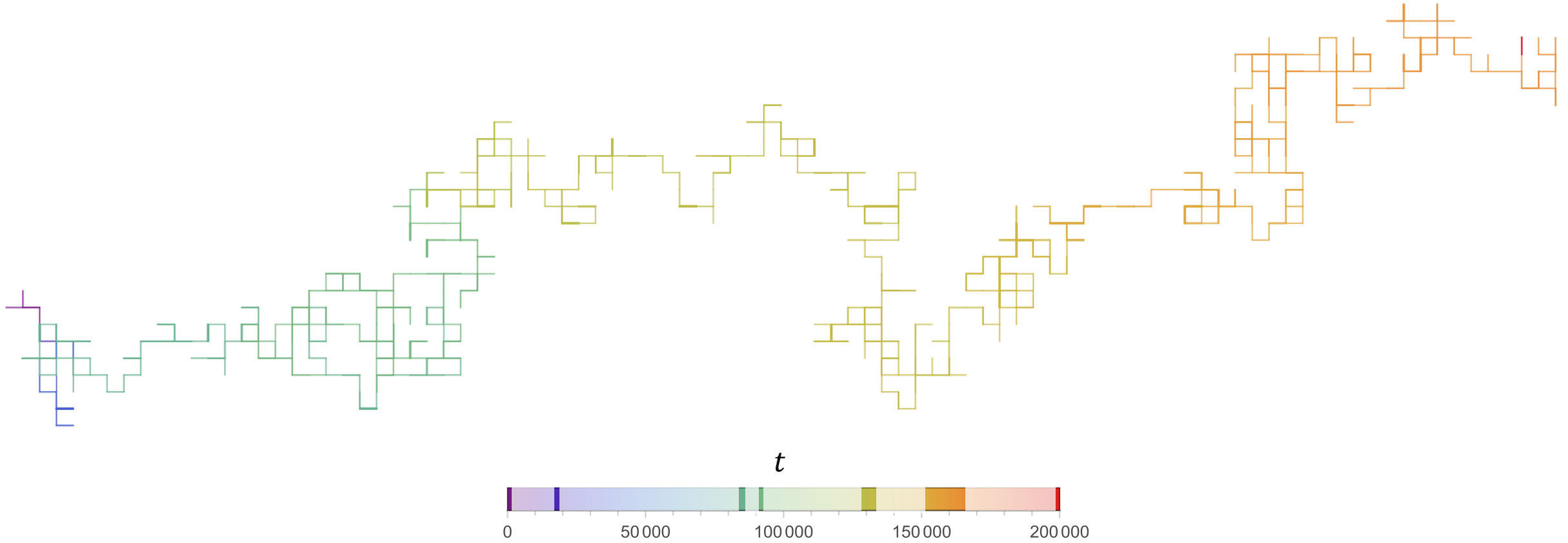


$$\ell = (1, 0)$$

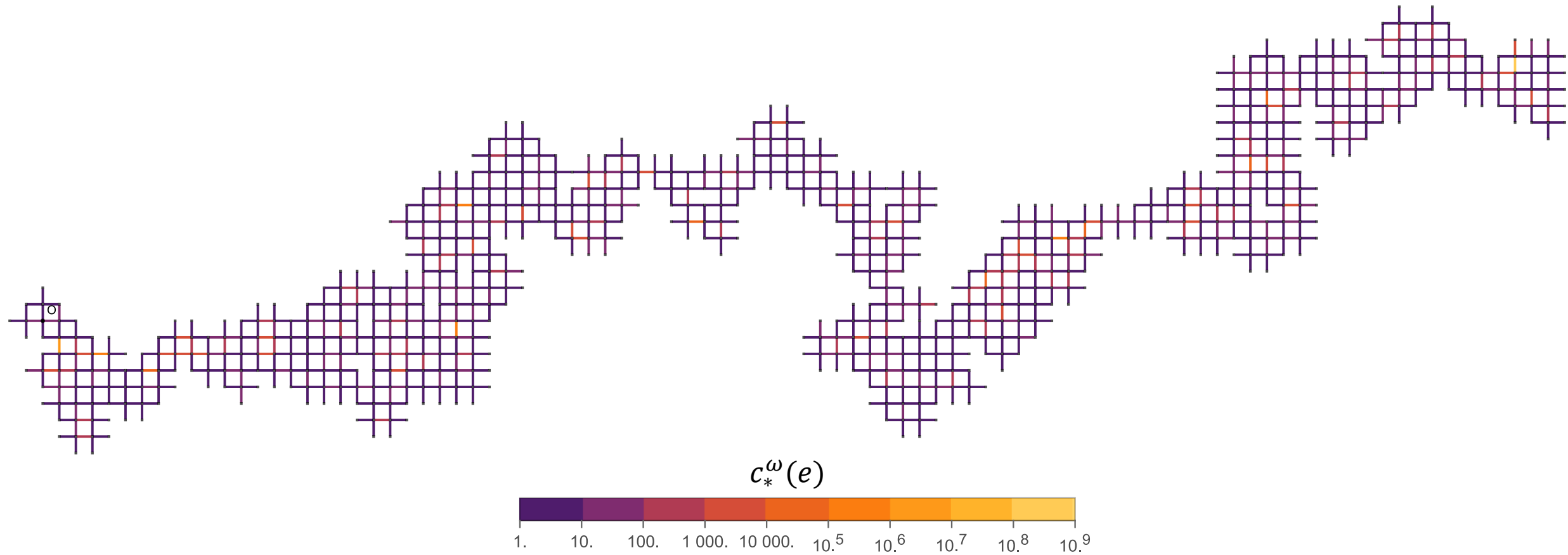
## La marche aléatoire



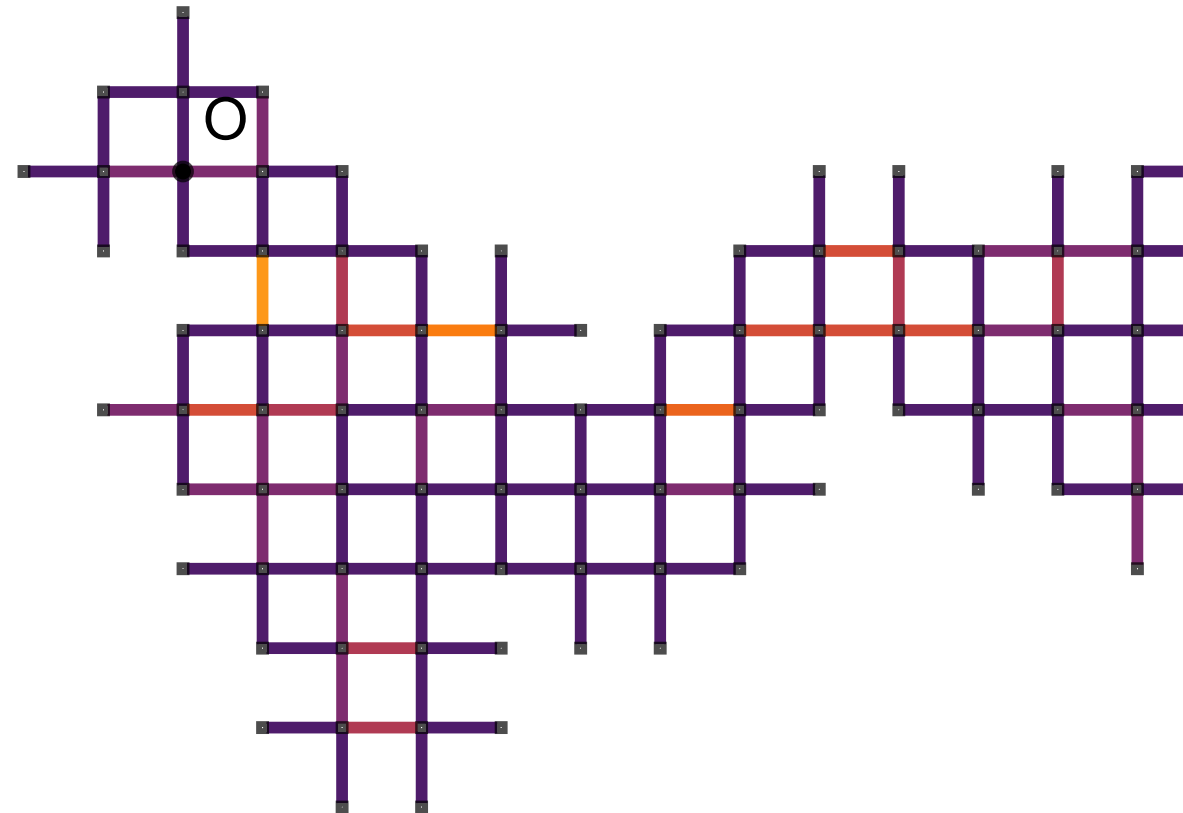
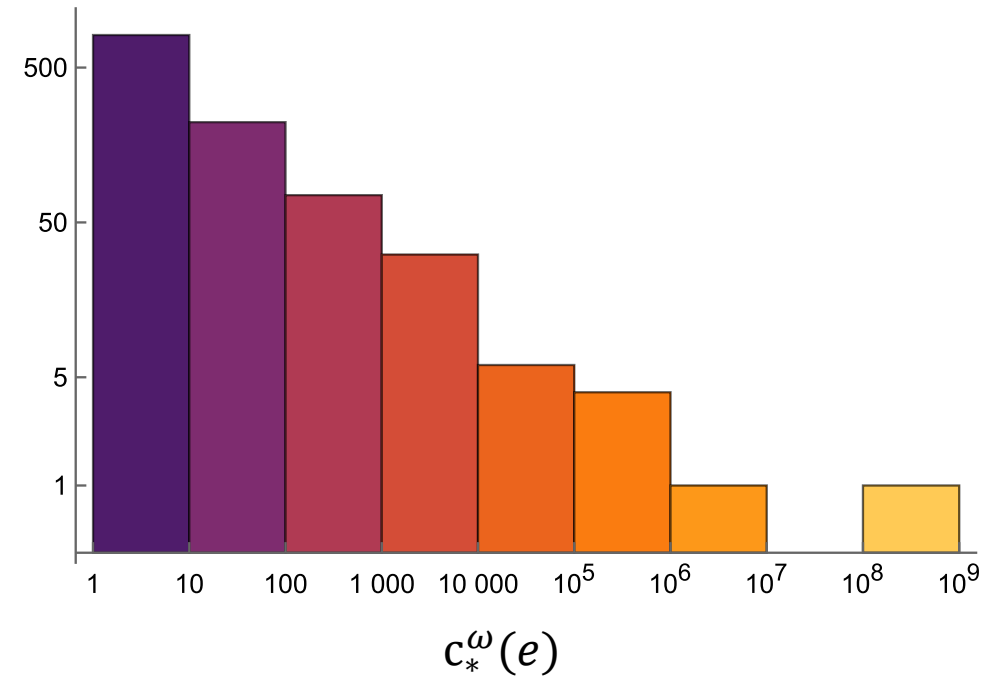
## La marche aléatoire



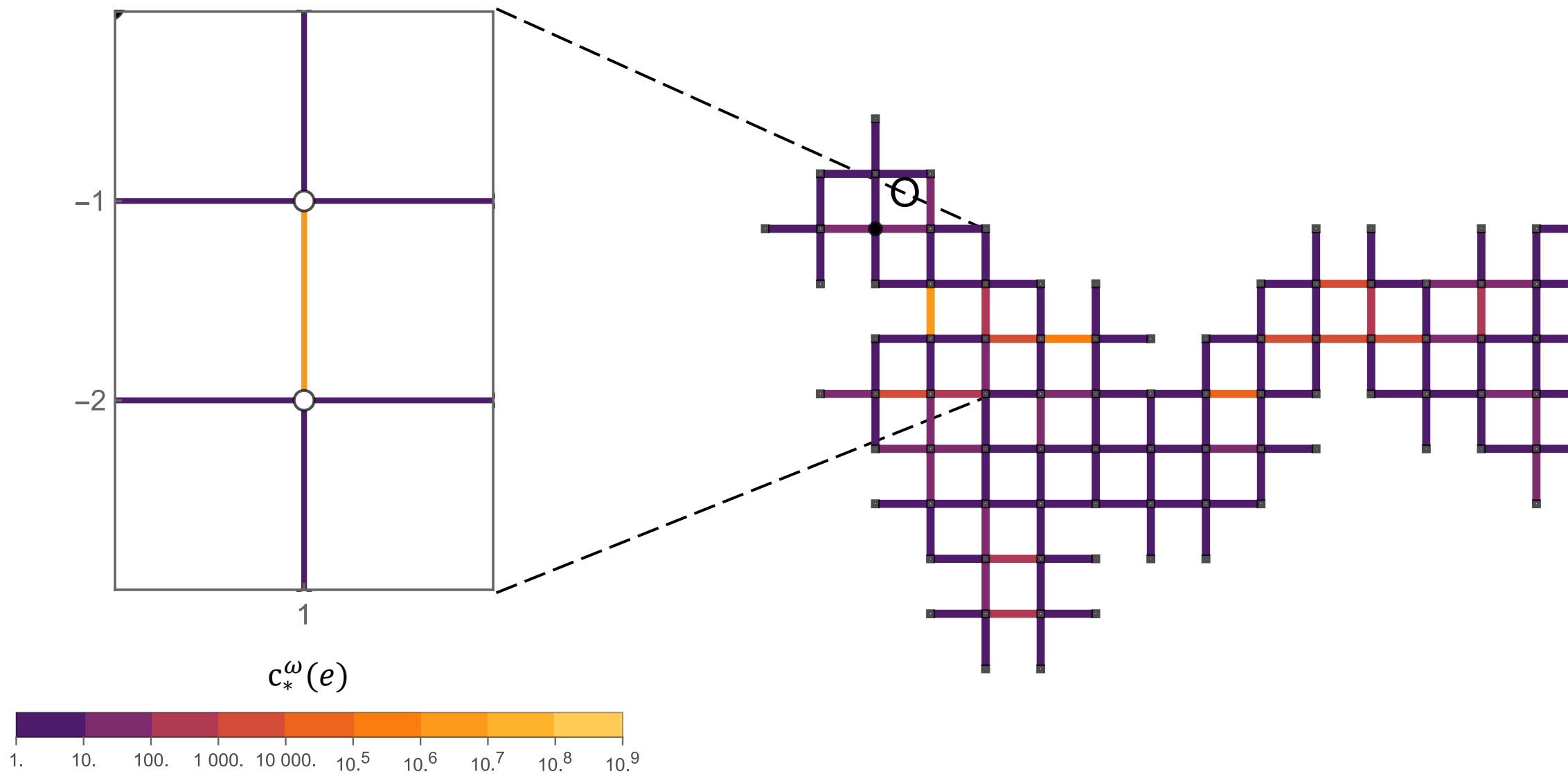
Le graphe découvert par la marche  
aléatoire



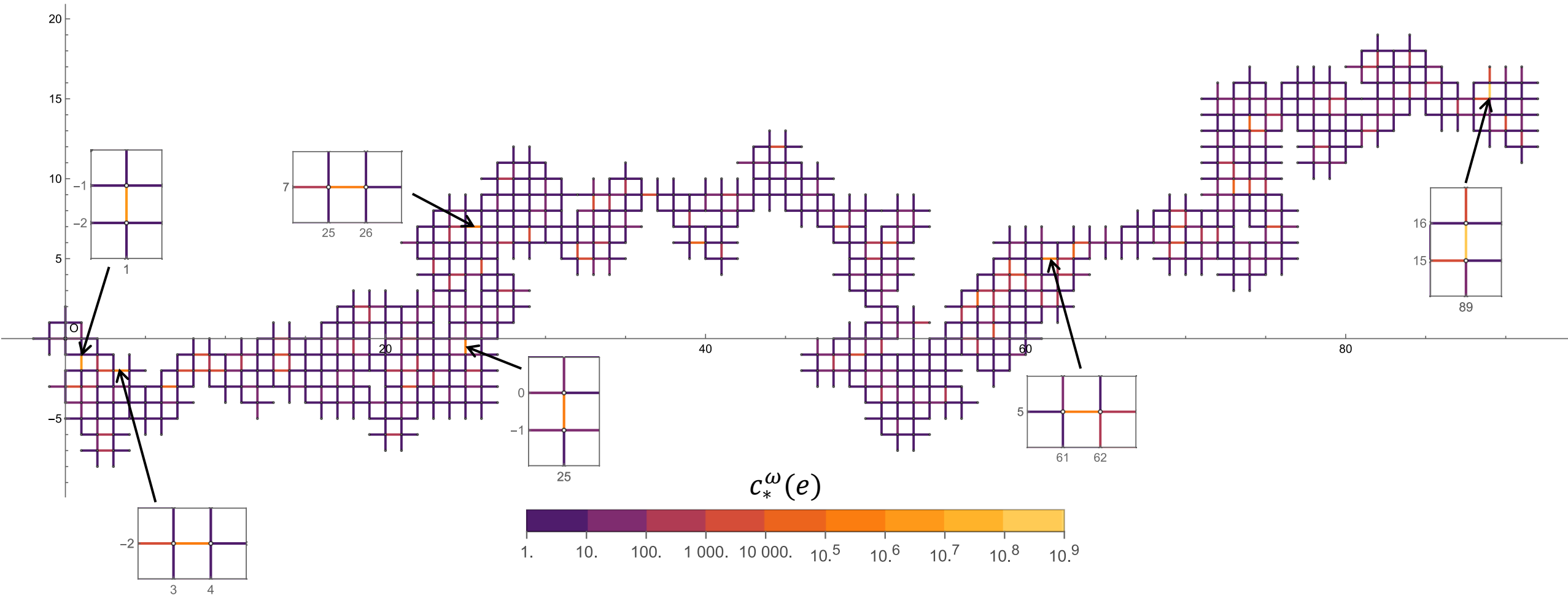
## Fréquences des conductances dans le graphe



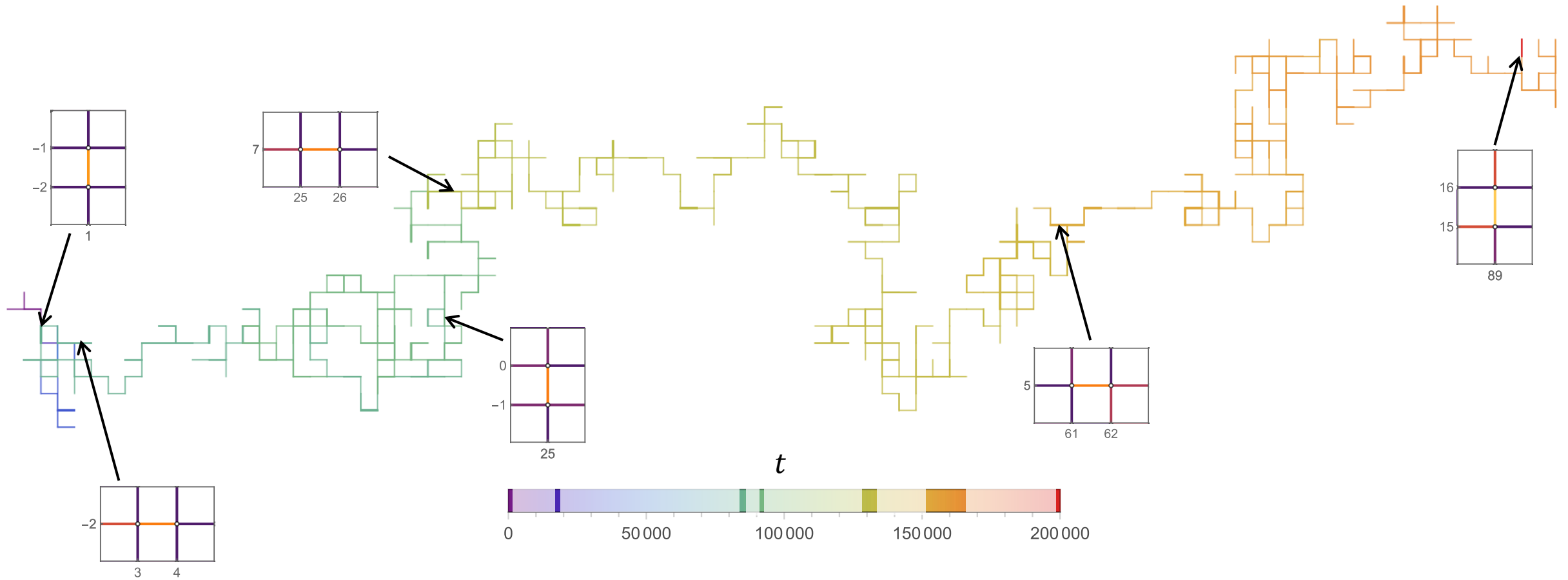
# Un piège



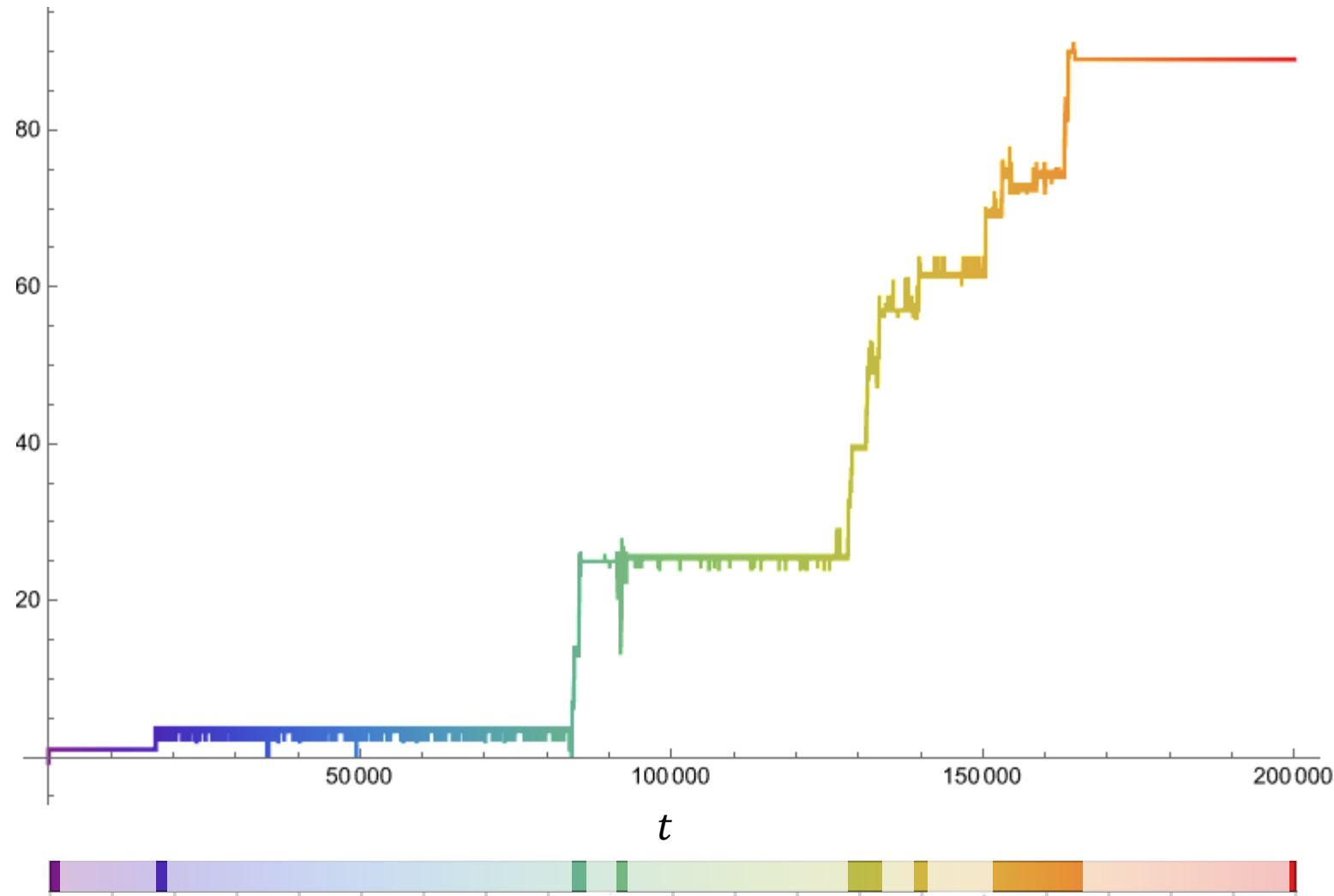
Les grands pièges  $(c_*^\omega(e) > 10^5)$



## La marche aléatoire



La progression dans le sens du  $\beta$ iais ...



La progression dans le sens du biais ...

